

ISSN 0201-758X  
ISSN 0320-6572

ВІСНИК ЛЬВІВСЬКОГО УНІВЕРСИТЕТУ

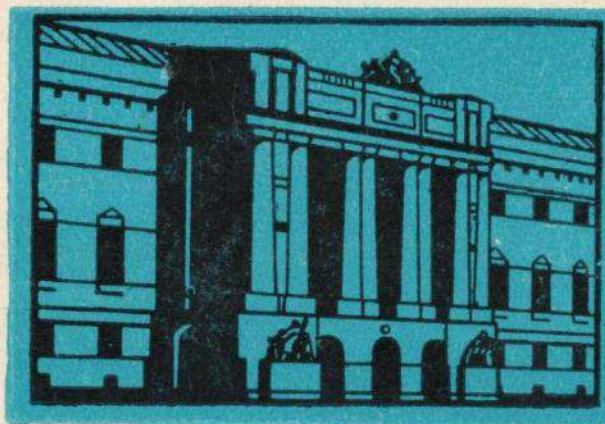
ПРИКЛАДНІ  
ЗАДАЧІ  
МАТЕМАТИКИ  
І МЕХАНІКИ

СЕРІЯ МЕХАНІКО-МАТЕМАТИЧНА

ВИПУСК

19

1982



**МІНІСТЕРСТВО ВИЩОЇ І СЕРЕДНЬОЇ  
СПЕЦІАЛЬНОЇ ОСВІТИ УРСР**

**ВІСНИК  
ЛЬВІВСЬКОГО УНІВЕРСИТЕТУ  
СЕРІЯ  
МЕХАНІКО-МАТЕМАТИЧНА  
ВИПУСК 19**

**ПРИКЛАДНІ ЗАДАЧІ  
МАТЕМАТИКИ  
І МЕХАНІКИ**

**Виходить з 1965 р.**

**ЛЬВІВ  
ВИДАВНИЦТВО ПРИ ЛЬВІВСЬКОМУ  
ДЕРЖАВНОМУ УНІВЕРСИТЕТІ  
ВИДАВНИЧОГО ОБ'ЄДНАННЯ «ВИЩА ШКОЛА»  
1982**

БЕК 22.19

518.

Л 89

УДК 518

Прикладные задачи математики и механики. Вестн. Львов. ун-та. Серия  
мат.-мат. вып. 19. - Львов: Выща школа. Изд-во при Львов. ун-те,  
1982. 84 с. /на укр. яз./.

В Вестнике помещены статьи по численным методам решения уравнений  
математической физики и задач оптимизации, статические и динами-  
ческие задачи механики сплошной среды.

Для научных работников, преподавателей, аспирантов и студен-  
тов старших курсов. Библиогр. списки в конце статей.

Редакційна колегія: проф., д-р техн. наук  
Д.В. Григіцький /відп. редактор/, доц., канд. фіз.-мат.  
наук Д.М. Щербина /відп. секретар/, доц., канд. фіз.-мат.  
наук М.Я. Бартіш, доц., канд. фіз.-мат. наук А.І. Карадаш  
проф., д-р техн. наук Н.П. Федоришман.

Адреса редакційної колегії:

Львів; Університетська, 1, кафедра прикладної математики

Редакція науково-технічної літератури

Зав. редакцією М.П. Парцов

Б20204-024  
М225/04/-82

Г702050000 Замовле

© Видавничче об'єднання  
"Выща школа", 1982

І. В. Лідкевич, А. Т. Дудкевич  
 РІЗНИЦЕВІ АПРОКСИМАЦІЇ ПІДВИЩЕНОГО ПОРЯДКУ  
 ДЛЯ РІВНЯННЯ ПУАССОНА В ПРОСТОРІ

Різницеві схеми підвищеного порядку точності для рівняння Пуассона розглядалися у працях [4, 5] для довільного  $\rho$ , де  $\rho$  - розмірність задачі. Для двомірної області побудована різницева апроексимація рівняння Пуассона для прямокутної нерівномірної сітки з похибкою  $O(h^3)$  [1].

Ми задачу Діріхле для рівняння Пуассона апроексимуємо різницевою схемою четвертого порядку точності на паралелепіпедальних сітках, а систему різницевих рівнянь розв'язуємо методом верхньої релаксації по лініях.

У прямокутному паралелепіпеді  $\bar{G} = \{x = (x_1, x_2, x_3) : 0 \leq x_\alpha \leq l_\alpha, \alpha = 1, 3\}$  з границею  $\Gamma$  шукаємо розв'язок задачі Діріхле для рівняння Пуассона

$$L_U U = \sum_{\alpha=1}^3 L_\alpha U = -f(x), \quad \text{для } x \in G, \quad /1/ \\ U/\Gamma = \varphi(x), \quad /2/$$

де  $L_\alpha U = \partial^2 U / \partial x_\alpha^2$ ,  $\alpha = 1, 2, 3$ ,  $f(x)$  і  $\varphi(x)$  - задані неперервні функції  $\bar{G}$  і  $\Gamma$  відповідно;  $G = \bar{G}/\Gamma$ .

Введемо в  $\bar{G}$  сітку  $\bar{\omega}_h$ , рівномірну по кожному напрямку  $x_\alpha$  з кроком  $h_\alpha$ ,  $\omega_h = \{(ih_1, jh_2, kh_3), i, j, k = \overline{0, N}\}$ ,  $h_\alpha = l_\alpha / N$ ,  $\alpha = 1, 2, 3\}$ , границею  $\bar{\gamma}$  та множиною внутрішніх вузлів  $\omega_h = \bar{\omega}_h / \bar{\gamma}$ .

Розглянемо відповідну різницеву задачу Діріхле

$$\lambda' U = -g(x), \quad x \in \omega_h, \quad /3/$$

$$U/\gamma = \varphi(x), \quad /4/$$

$$\text{де } g(x) = f(x) + \frac{1}{12} \sum_{\alpha=1}^2 h_\alpha^2 \lambda_\alpha f. \quad \lambda_2 f = f \bar{x}_2 x_2.$$

Оператор  $\lambda'$  визначається на двадцятисемиточковому шаблоні, який складається з вузлів  $(x_1 + ih_1, x_2 + jh_2, x_3 + kh_3)$ ,  $i, j, k = -1, 0, 1$  і записується на рівномірній сітці в індексній формі так:

$$\begin{aligned} (\lambda' U)_{i,j,k} = & \frac{1}{60} \left\{ 2(20\alpha - 5\beta - 5\gamma + 4)(U_{i+1,j,k} + U_{i-1,j,k}) + \right. \\ & + 2(20\beta - 5\alpha - 5\gamma + 4)(U_{i,j+1,k} + U_{i,j-1,k}) + 2(20\gamma - 5\alpha - 5\beta + \right. \\ & \left. + 4)(U_{i,j,k+1} + U_{i,j,k-1}) + [5(\beta + \alpha) - 4](U_{i+1,j+1,k} + U_{i-1,j+1,k} + \right. \\ & + U_{i+1,j-1,k} + U_{i-1,j-1,k}) + [5(\alpha + \gamma) - 4](U_{i+1,j,k+1} + U_{i-1,j,k+1} + \right. \\ & + U_{i-1,j,k-1} + U_{i+1,j,k-1}) + [5(\beta + \gamma) - 4](U_{i,j+1,k+1} + U_{i,j+1,k-1} + U_{i,j-1,k+1} + \right. \\ & + U_{i,j-1,k-1}) + 2(U_{i+1,j+1,k+1} + U_{i+1,j+1,k-1} + U_{i-1,j+1,k+1} + \right. \\ & + U_{i-1,j+1,k-1} + U_{i-1,j-1,k+1} + U_{i+1,j-1,k+1} + U_{i+1,j-1,k-1} + \right. \\ & \left. + U_{i-1,j-1,k-1}) - 16[1 + 5(\alpha + \beta + \gamma)]U_{i,j,k} \right\} = g_{i,j,k}. \end{aligned}$$

/5/

$$\text{де } \alpha = \frac{1}{h_1^2}; \quad \beta = \frac{1}{h_2^2}; \quad \gamma = \frac{1}{h_3^2}.$$

На вибраній сітці різницева апроксимація /5/ має порядок  $O(h^5)$ . На кубічній сітці ця апроксимація переходить у відому апроксимацію [3] з похибкою  $O(h^9)$ .

Систему різницевих рівнянь /3/-/4/ розв'язуємо ітераційним методом верхньої релаксації по лініях, згідно з яким проміжкові величини  $U_{i,j,k}^{(n+1/2)}$  визначаємо методом прогонки з рівняння

$$\begin{aligned}
 aU_{i+1,j,k}^{(n+1/2)} + bU_{i,j,k}^{(n+1/2)} + cU_{i-1,j,k}^{(n+1/2)} = & - \left\{ 2(20\alpha - 5\beta - \right. \\
 & \left. - 5\gamma + 4) \left( U_{i,j+1,k}^{(n)} + U_{i,j-1,k}^{(n)} \right) + 2(20\beta - 5\alpha - 5\beta + 4) \left( U_{i,j,k+1}^{(n)} + \right. \right. \\
 & \left. \left. + U_{i,j,k-1}^{(n+1)} \right) + [5(\beta + \alpha) - 4] \left( U_{i+1,j+1,k}^{(n)} + U_{i-1,j+1,k}^{(n)} + U_{i+1,j-1,k}^{(n+1)} + \right. \right. \\
 & \left. \left. + U_{i-1,j-1,k}^{(n+1)} \right) + [5(\alpha + \gamma) - 4] \left( U_{i+1,j,k+1}^{(n)} + U_{i+1,j,k-1}^{(n+1)} + U_{i-1,j,k+1}^{(n)} + \right. \right. \\
 & \left. \left. + U_{i-1,j,k-1}^{(n+1)} \right) + [5(\beta + \gamma) - 4] \left( U_{i,j+1,k+1}^{(n)} + U_{i,j+1,k-1}^{(n+1)} + U_{i,j-1,k+1}^{(n)} + \right. \right. \\
 & \left. \left. + U_{i,j-1,k-1}^{(n+1)} \right) + 2 \left( U_{i+1,j+1,k+1}^{(n)} + U_{i+1,j+1,k-1}^{(n+1)} + U_{i-1,j+1,k+1}^{(n)} + \right. \right. \\
 & \left. \left. + U_{i-1,j+1,k-1}^{(n+1)} + U_{i+1,j-1,k+1}^{(n)} + U_{i+1,j-1,k-1}^{(n+1)} + U_{i-1,j-1,k+1}^{(n)} + \right. \right. \\
 & \left. \left. + U_{i-1,j-1,k-1}^{(n+1)} \right) + 60g \right\}, \quad 161
 \end{aligned}$$

$$\begin{aligned}
 U_{i,j,k}^{(n+1)} = & \omega_{опт} U_{i,j,k}^{(n+1/2)} + (1 - \omega_{опт}) U_{i,j,k}^{(n)}, \\
 \text{де } a = & 2(20\alpha - 5\beta - 5\gamma + 4); \quad b = 16[1 + 5(\alpha + \beta + \gamma)], \\
 \text{а } \omega_{опт} \text{ визначається за відомою методикою [2].}
 \end{aligned}$$

Запропонована різницева схема /5/ придатна для розрахунків просторових електростатичних полів в електронно-оптических системах методом сіток. Її апробація засвідчила, що вона ефективніша порівняно з іншими схемами другого порядку точності.

- Список літератури:
1. Голубцов Б.И., Ильин В.П. О разностной аппроксимации уравнения Пуассона на неравномерных прямоугольных сетках. - Сибирский математический журнал, 1978, 19, № 3.
  2. Дудкевич А.Т., Людкевич И.В. Численное решение трехмерной задачи Дирихле для уравнения Лапласа методом сеток. - Вычислительная и прикладная математика, 1977, вып. 32. 3. Микеладзе Ш.Е. О численном решении дифференциальных уравнений Лапласа и Пуассона. - Известия вузов АН СССР, сер. мат., 1938, № 2.
  4. Николаев Е.С., Самарский А.А. Методы численного решения задачи Дирихле для уравнения Пуассона любого числа измерений. - ДАН СССР, 1972, 206, № 4.
  5. Сулханишвили Г.И. О равномерной сходимости разностной схемы Самарского-Николаева. - Сообщения АН Груз. ССР, 1974, 73, № 3.

Стаття надійшла в редколегію 25.02.81.

УДК 517.944:947

Марія Д.Мартиненко, Михайло Д.Мартиненко  
ПРО ОДНУ ГРАНИЧНУ ЗАДАЧУ ДЛЯ НЕСТАНДАРТНОГО  
ЕЛІПТИЧНОГО РІВНЯННЯ

В області  $D = \{0 \leq x \leq a, 0 \leq y \leq b\}$  шукаємо класичний розв'язок рівняння

$$M(u) = \frac{\partial^2 u}{\partial x^2} - \frac{\partial^4 u}{\partial y^4} = f(x, y), \quad /I/$$

яке задовільняє на межі  $\Gamma$  області  $D$  умовам

$$u|_{\Gamma} = \varphi,$$

$$\left. \frac{\partial u}{\partial y} \right|_{y=0} = \psi_1(x), \quad \left. \frac{\partial u}{\partial y} \right|_{y=b} = \psi_2(x), \quad /2/$$

де  $\mathcal{T}: \{x=0, 0 \leq y \leq b; x=a, 0 \leq y \leq b; y=0, 0 \leq x \leq a; y=b, 0 \leq x \leq a\}$ ,

$\varphi, \psi, \psi_2$  - неперервні функції своїх аргументів. Єдиність розв'язку задачі /I/-/2/ вилучає з інтегральної тотожності

$$\begin{aligned} & \iint_D \left\{ u M[v] + \frac{\partial u}{\partial x} \frac{\partial v}{\partial x} + \frac{\partial^2 u}{\partial y^2} \frac{\partial^2 v}{\partial y^2} \right\} dS = \\ & = \int_{\mathcal{T}} \left\{ u \left[ \frac{\partial v}{\partial x} \cos(\pi x) - \frac{\partial^3 v}{\partial y^3} \cos(\pi y) \right] - \frac{\partial u}{\partial y} \frac{\partial^3 v}{\partial y^3} \cos(\pi y) \right\} dy, \quad /3/ \end{aligned}$$

де  $\pi$  - зовнішня нормаль до  $\mathcal{T}$ . Справді, припускаючи існування двох розв'язків  $u$ , та  $u_2$  задачі /I/-/2/ та позначачи їх різнищо через  $U = u - u_2$ , одержуємо із /3/

$$\iint_D \left[ \left( \frac{\partial U}{\partial x} \right)^2 + \left( \frac{\partial^2 U}{\partial y^2} \right)^2 \right] dS = 0.$$

Звідки  $U = C_1 + C_2 y$  в області  $D$  /  $C_i = \text{const}$ ,  $i = 1, 2$ .

Але

$$\frac{\partial U}{\partial y} \Big|_{y=0} = \frac{\partial U}{\partial y} \Big|_{y=b} = 0.$$

Тому  $C_2 = 0$ ,  $C_1 = 0$  і  $U \equiv 0$  в  $D$ .

Для того, щоб одержати зображення розв'язку задачі /I/-/2/, побудуємо розв'язок такої задачі:

$$\frac{\partial^2 u}{\partial x^2} - \frac{\partial^4 u}{\partial y^4} = \delta(x-x_0, y-y_0), \quad /1'/$$

$$u \Big|_{\mathcal{T}} = 0, \quad \frac{\partial u}{\partial y} \Big|_{y=0} = \frac{\partial u}{\partial y} \Big|_{y=b} = 0. \quad /2'/$$

Позначимо розв'язок задачі /1'/-/2'/ через  $G(x-x_0, y-y_0)$ .

Шукаємо його у вигляді

$$G(x-x_0, y-y_0) = \sum_{k,n=1}^{\infty} a_{kn} X_k(x) Y_n(y), \quad /4/$$

де

$$X_k = \sin \frac{k\pi}{a} x$$

$$Y_n = - \frac{\operatorname{ch} z_n - \cos z_n}{\operatorname{sh} z_n - \sin z_n} \left( \operatorname{sh} \frac{z_n y}{b} - \sin \frac{z_n y}{b} \right) + \operatorname{ch} \frac{z_n y}{b} - \cos \frac{z_n y}{b}, \quad /5/$$

причому  $z_n$  - корені рівняння

$$\operatorname{ch} z \cos z = 1. \quad /6/$$

Очевидно, що при такому виборі  $\zeta_n$  ряд /4/ задовільняє умовам /2'/.

Підставляючи /4/ в /1'/, одержуємо для  $a_{kn}$  наступний вираз

$$a_{kn} = \frac{\sin \frac{k\pi}{a} x_0 \left[ -(ch \zeta_n - \cos \zeta_n) (sh \frac{\zeta_n y_0}{b} - \sin \frac{\zeta_n y_0}{b}) + (ch \frac{\zeta_n y_0}{b} - \cos \frac{\zeta_n y_0}{b}) \times \right.}{ab \left[ (\frac{k\pi}{a})^2 + (\frac{\zeta_n}{b})^2 \right] \left[ -(ch \zeta_n - \cos \zeta_n) (sh \zeta_n + \sin \zeta_n) + \right.} \\ \times \left. (sh \zeta_n - \sin \zeta_n) \right] (sh \zeta_n - \sin \zeta_n) \\ + (ch \zeta_n + \cos \zeta_n) (sh \zeta_n - \sin \zeta_n)]^2.$$

Із інтегральної тотожності

$$\iint_D [uM(v) - vM(u)] dS = \iint_D \left\{ u \left[ \frac{\partial v}{\partial x} \cos(n, x) - \frac{\partial^3 v}{\partial y^3} \cos(n, y) \right] - \right. \\ \left. - v \left[ \frac{\partial u}{\partial x} \cos(n, x) - \frac{\partial^3 u}{\partial y^3} \cos(n, y) \right] - \left( \frac{\partial u}{\partial y} \frac{\partial^2 v}{\partial y^2} - \frac{\partial v}{\partial y} \frac{\partial^2 u}{\partial y^2} \right) \cos(n, y) \right\} dl$$

випливає, що шуканий розв'язок задачі /1/-/2/ можна зобразити у вигляді:

$$u(x_0, y_0) = \iint_D G(x-x_0, y-y_0) f(x, y) dS + \\ + \iint_D \left\{ \varphi(x, y) \left[ \frac{\partial G(x-x_0, y-y_0)}{\partial x} \cos(n, x) - \frac{\partial^3 G(x-x_0, y-y_0)}{\partial y^3} \cos(n, y) \right] dl + \right. \\ \left. + \int_0^a \left[ \varphi(x) \frac{\partial^2 G(x-x_0, y-y_0)}{\partial y^2} \Big|_{y=0} - \varphi(x) \frac{\partial^2 G(x-x_0, y-y_0)}{\partial y^2} \Big|_{y=b} \right] dx \right\} /7/$$

Зовсім аналогічно можна розглядати й інші граничні задачі для рівняння /1/ в області  $D$ . Формула /7/ дає змогу дослідити поведінку розв'язку задачі /1/-/2/ в кутах прямокутника  $D$ .

На закінчення відзначимо, що коректно поставлені задачі для рівняння /1/ у довільній області, що обмежена кривою Ляпунова, поєднані в загальному випадку з неоднаковою кількістю граничних умов на різних ділянках границі.

Список літератури: 1. Бабич В.М., Капилевич М.Б., Михли С.Г. и др. Линейные уравнения математической физики. - М.: Наука, 1964. 2. Владимиров В.С. Уравнения математической физики. - М.: Наука, 1976. 3. Положий Г.Н. Уравнения математической физики. - М.: Высшая школа, 1964.

Стаття надійшла в редколегію 02.10.80

Марія Д.Мартиненко, Михайло Д.Мартиненко,

Л.Ф.Бойко

ЗАДАЧА БЕЗ ПОЧАТКОВИХ УМОВ ДЛЯ РІВНЯННЯ  
ТЕПЛОПРОВІДНОСТІ

Розглядаємо задачу про визначення обмеженого класичного розв'язку рівняння

$$\frac{\partial u}{\partial t} = a^2 \left( \frac{\partial^2 u}{\partial x_1^2} + \frac{\partial^2 u}{\partial x_2^2} + \frac{\partial^2 u}{\partial x_3^2} \right) \quad /1/$$

в області  $\Pi = \{]-\infty, T] \times D\}$ , де  $D$  - область у  $E_3$ , обмежена поверхнею Ляпунова  $S$ , що задовільняє на  $S$  умову Діріхле

$$u|_S = f(x, t), x = (x_1, x_2, x_3); \quad /2/$$

$f$  - неперервна функція. Такі задачі виникають при вивченні процесів поглинання тепла у час, достатньо віддалений від початкового, коли початкові умови практично не впливають на фізичний процес у момент спостереження. Перший строгий аналіз постановки та розв'язання таких задач зробив А.М.Тихонов у 1935 р. [3] для одновимірного рівняння тепlopровідності за допомогою методу інтегральних зображень. Ми аналізуємо один з варіантів цього методу.

Розв'язок сформульованої задачі шукаємо у вигляді

$$u(x, t) = \iiint_{-\infty}^t \int \int \int_a^2 \frac{\partial}{\partial n(y)} \left[ \frac{1}{2a\sqrt{\pi(t-t)}} \right] \exp \left\{ -\frac{|x-y|^2}{4a^2(t-t)} \right\} \mu(y, t) dy S dt, \quad /3/$$

де  $|x-y|^2 = \sum_{i=1}^3 (x_i - y_i)^2$ ;  $\mu(y, t)$  - невідома функція;  $\bar{n}(y)$  - внутрішня нормаль до  $S$  у точці  $y$ . З граничних умов та формул стрибка [2] дістаємо інтегральне рівняння типу Вольтерра другого роду для визначення  $\mu(y, t)$

$$\frac{1}{2} \mu(x, t) + \iiint_{-\infty}^t \int \int \int_a^2 \frac{\partial}{\partial n(y)} \left[ \frac{1}{2a\sqrt{\pi(t-t)}} \right] \exp \left\{ -\frac{|x-y|^2}{4a^2(t-t)} \right\} \mu(y, t) dy S dt = \\ = f(x, t). \quad /4/$$

Отже, розглядувана задача зведена до інтегрального рівняння /4/, з існуванням розв'язку якого вимірюється розв'язаність задачі /I/-/2/.

Ряд послідовних наближень для /4/ збігний, коли

$$\int_{-\infty}^t \iint_S a^2 \left| \frac{\partial}{\partial n(y)} \frac{\exp \left\{ -\frac{|x-y|^2}{4a^2(t-\tau)} \right\}}{\left[ 2a\sqrt{\pi(t-\tau)} \right]^3} \right| d_y S dt < 1. \quad /5/$$

Оскільки

$$\int_{-\infty}^t \left[ \frac{1}{2a\sqrt{\pi(t-\tau)}} \right] \exp \left\{ -\frac{|x-y|^2}{4a^2(t-\tau)} \right\} dt = \frac{1}{4a^2\pi|x-y|},$$

то умова /5/ набуває вигляду

$$\frac{1}{4\pi} \iint_S \left| \frac{\partial}{\partial n(y)} \frac{1}{|x-y|} \right| d_y S < 1,$$

або

$$\frac{1}{4\pi} \iint_S \frac{|\cos \varphi|}{|x-y|^2} d_y S < 1, \quad /6/$$

де  $\varphi$  - кут між вектором  $\vec{x}-\vec{y}$  та  $\vec{n}(y)$ .

З означення поверхні Ліндунова випливає

$$|\cos \varphi| < A|x-y|,$$

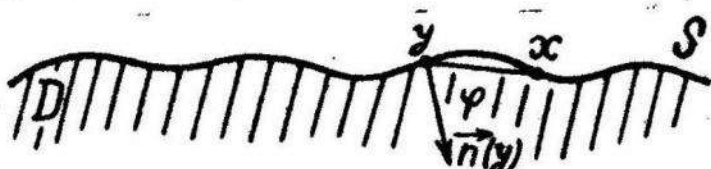
тому рівняння /4/, а з ним і задача /I/-/2/ має розв'язок, коли виконується умова

$$\frac{A}{4\pi} \iint_S \frac{d_y S}{|x-y|^{x-A}} < 1. \quad /7/$$

Константу  $A$  можна записати явно [1].

Умова /7/ виконується, коли функція  $f$  - фінітна,  $S$  - віносій в частину площини  $x_3 = 0$ , тобто  $D$  - панімпростір  $x_3 < 0$ . У цьому випадку  $A = 0$  і задача /I/-/2/ розв'язана для будь-якої області  $S$ . Зауважимо, що в цьому випадку рівняння /4/ має явний розв'язок  $\mu = 2f$ , а тому з формулі /3/ випливає явний розв'язок вихідної задачі /I/-/2/.

Якщо  $\varphi = \frac{F}{2} \pm X$ , де  $X$  мало зміниться, то  $|\cos \varphi| = |\sin X| < \varepsilon$  і умова /6/ також виконується при малому  $X$ . Отже, задача /1/-/2/ має розв'язок у випадку, коли  $D$  - напівнезаділенна область у  $E_3$ , обмежена нескінченною поверхнею з слабо змінною кривинною /див. рисунок/,  $f$  - неперервна функція з компактним носієм  $S$ .



Разом з тим слід відзначити, що умова /6/ чи /7/ досить жорстка, вона не охоплює всіх випадків розв'язності сформульованої задачі без початкових умов.

Список літератури: 1. В лад и м и р о в В.С. Уравнения математической физики. - М.: Наука, 1976. 2. П о л о ж и й Г.Н. Уравнения математической физики. - М.: Высшая школа, 1964. 3. Т и х о н о в А.Н. Теоремы единственности для уравнения теплопроводности. - Математический сборник, 1935, 42, № 2.

Стаття надійшла в редколегію 28.10.80

УДК 518:517.948

М.Я.Бартіш, С.М.Шахно

### ПРО ДЕЯКІ МОДИФІКАЦІЇ МЕТОДУ НЬЮТОНА

### І ЇХ ЗАСТОСУВАННЯ ДО РОЗВ'ЯЗУВАННЯ ЗАДАЧ ГАЗОДИНАМІКИ

у праці [1] досліджено метод Ньютона для розв'язування систем нелінійних рівнянь

$$\mathcal{P}(x) = 0, \quad /1/$$

де  $\mathcal{P}$  - векторна функція векторного аргументу  $x$  за умови, що всі необхідні обчислення виконуються точно. Проте при реалізації на ЕОМ ми операємо числами з обмеженою кількістю розрядів. Тому замість матриці похідних  $\mathcal{P}'(x_n)$  і вектора  $\mathcal{P}(x_n)$  отримуємо дещо змінені  $\mathcal{P}'(x_n) + U_n$  і  $\mathcal{P}(x_n) + V_n$ , де  $\{U_n\}$  - послідов-

ність матриць розміром  $n \times n$ ;  $\tilde{U}_n$  - послідовність векторів розмірності  $n$  таких, що  $\|U_n\|$  і  $\|\tilde{U}_n\|$  - достатньо малі.

Таким чином, фактично реалізовується процес

$$x_{n+1} = x_n - [\mathcal{P}(x_n) + U_n]^{-1} [\mathcal{P}(x_n) + \tilde{U}_n], \quad n=0,1,2,\dots \quad /2/$$

Достатні умови збіжності послідовності наближень  $\{x_n\}$ , отриманих за формуловою /2/ до розв'язку  $x_*$  рівняння /1/, дає наступна теорема.

**Теорема.** Нехай виконуються умови: I/ існує оператор  $\Gamma_0 = [\mathcal{P}(x_0)]^{-1}$  такий, що  $\|\Gamma_0\| \leq B_0$ ;

$$2/ \quad \|\Gamma_0 \mathcal{P}(x_0)\| \leq \eta;$$

$$3/ \text{в області } \Omega_0 = \left\{ x : \|x - x_0\| < \frac{\eta(1 + \tilde{x}_0)}{(1 - x_0)(1 - \ell_0 h_0)} \right\} \quad \|\mathcal{P}''(x)\| \leq M;$$

$$4/ \quad \|U_n\| \leq C\eta, \quad \|\tilde{U}_n\| \leq \tilde{C}\eta^2;$$

$$5/ \quad x_0 = B_0 C\eta < 1, \quad x_0 + h_0 + \tilde{x}_0 h_0 < 1;$$

$$h_0 = B_0 M\eta, \quad \tilde{x}_0 = B_0 \tilde{C}\eta;$$

$$6/ \quad S_0 = \ell_0 h_0 \frac{1 - x_0}{1 - (x_0 + h_0 + \tilde{x}_0 h_0)} < 1,$$

де

$$\ell_0 = \frac{h_0 (1 - \tilde{x}_0)^2 + x_0 (1 + \tilde{x}_0)(1 - x_0) + \tilde{x}_0 (1 - x_0)^2}{[1 - (x_0 + h_0 + \tilde{x}_0 h_0)](1 - x_0)h_0}.$$

Тоді рівняння /1/ має в області  $\Omega_0$  розв'язок  $x_*$ , до якого збігається послідовність  $\{x_n\}$ , отримана за формуловою /2/, причому

$$\|x_n - x_*\| \leq S_0^{n-1} \left[ \frac{1 - (x_0 + h_0 + \tilde{x}_0 h_0)}{1 - x_0} \right]^n \frac{1 + \tilde{x}_0}{(1 - x_0)(1 - \ell_0 h_0)}. \quad /3/$$

Доведення здійснюється за схемою Л.В.Канторовича.

З теореми випливає, що коли похибки невеликі, а саме: послідовності  $\{U_n\}$  і  $\{\tilde{U}_n\}$  задовільняють умову 4/ теореми, то збіжність процесу не порушиться. Зауважимо, що зберігається навіть порядок збіжності. З умови 4/ видно, що компоненти матриці  $\mathcal{P}(x_n)$  можна обчислювати з точністю, на порядок меншою, ніж при обчисленні компонент вектора  $\mathcal{P}(x_n)$ .

Використаємо що ідею при розв'язуванні різницевих рівнянь газової динаміки ітераційним методом Ньютона. Розглядаємо задачу про поршень, який всувається в газ з постійною швидкістю. Для наскрізного розрахунку в різницеву схему вводимо псевдов'язкість.

Як відомо [2], сіткові функції різко змінюються лише близько від фронту ударної хвилі, залишаючись майже постійними на інших точках масової сітки. Тому доцільно, очевидно, обчислювати на кожній ітерації коефіцієнти  $A_i, B_i, C_i$  триточкового рівняння, яке виникає при застосуванні методу Ньютона до різницевої схеми газової динаміки в ізотермічному випадку [2], лише в області різкої зміни сіткових функцій. Кількість точок, в яких необхідно обчислювати всі коефіцієнти, залежить від кроку по часу  $\tau$ .

Ми обчислювали всі коефіцієнти поки не сформувався фронт ударної хвилі і на першій ітерації кожного шару по часу. Далі  $A_i, B_i, C_i$  знаходили лише у точках, близьких до фронту ударної хвилі, центр якої визначали за максимумом псевдов'язкості. Отримано експериментально, що для  $\tau = 0,01$  не потрібно зовсім, для  $\tau = 0,05$  достатньо однієї, для  $\tau = 0,1$  - чотирьох, для  $\tau = 0,2$  - семи точок по обидві сторони від центру ударної хвилі, щоб кількість ітерацій порівняно з обчисленнями по всій сітці не збільшувалася. Щоб уникнути випадку розбіжності процесу Ньютона, використовували варіант методу з регулюванням кроку  $\alpha_k$ .

Для розв'язування цієї задачі застосували також модифікацію методу Ньютона, в якій коефіцієнти  $A_i, B_i, C_i$  обчислювали лише через кілька ітерацій. Отримано, що кількість ітерацій на шарі також не зростає, якщо ці коефіцієнти знаходити через 1-2 ітерації.

Отже, в обох розглянутих вище модифікаціях методу Ньютона для знаходження розв'язку задачі потрібна менша кількість обчислень, ніж у звичайному методі Ньютона.

Список літератури: I. Кантрович Л.В. О методе Ньютона. - Тр. мат. ин-та АН ССРР, 1949, 28. 2. Самарский А.А., Попов Ю.П. Разностные схемы газовой динамики. - М.: Наука, 1975.

Стаття надійшла в редакцію 26.09.80

І.М.Дудзяний, В.М.Цимбал

АСИМПТОТИЧНИЙ РОЗВ'ЯЗОК ЗМІШАНОЇ ЗАДАЧІ  
ДЛЯ ДЕЯКОГО РІВНЯННЯ ТРЕТЬОГО ПОРЯДКУ

Багато задач прикладних дисциплін вимагає розв'язувати рівняння у частинних похідних з малим параметром при старших похідних або, як кажуть, сингулярно збуреним рівнянням [1, 4, 5, 7, 8].

Розроблені асимптотичні методи, одним з яких є метод примежового шару [2, 3].

Методом примежового шару в області  $D = \{(x,t) : 0 < x < l, 0 < t < T\}$  розв'язуємо таку задачу:

$$\begin{aligned} L_\varepsilon u = \varepsilon^3 \left( \frac{\partial u}{\partial t} - \frac{\partial^3 u}{\partial x^3} - a(x,t) \frac{\partial^2 u}{\partial x^2} + b(x,t) \frac{\partial u}{\partial x} \right) + c(x,t)u = f(x,t), \\ u(0,t) = 0, \frac{\partial u(0,t)}{\partial x} = 0, u(l,t) = 0, u(x,0) = 0, \end{aligned} \quad /2/$$

де  $\varepsilon > 0$  – малий параметр.

Умови однозначності розв'язності задачі /1/, /2/ встановлені у праці [9], там же вказуються задачі такого типу з конкретним фізичним змістом.

Надалі вважатимемо, що виконуються умови:

1/  $a(x,t) > 0$ ,  $c(x,t) > 0$  в області  $D$ ;

2/ функції  $a(x,t)$ ,  $b(x,t)$ ,  $c(x,t)$  достатньо гладкі в області  $D$ , для проведення подальших викладок;

3/  $\frac{\partial^N f(0,0)}{\partial t^N \partial x^N} = \frac{\partial^N f(l,0)}{\partial t^N \partial x^N} = 0$ , де  $N$  – точність побудованої піжче асимптотики.

Асимптотичний розклад розв'язку задачі /1/, /2/ будуємо у наступній формі:

$$\begin{aligned} u(x,t,\varepsilon) = \sum_{i=0}^n \varepsilon^i \bar{u}_i(x,t) + \sum_{i=0}^n \varepsilon^i \bar{P}_i(x,t) + \sum_{i=0}^n \varepsilon^i \bar{Q}_i(\xi,t) + \\ + \sum_{i=0}^{n+1} \varepsilon^i \bar{R}_i(\eta,t) + \varepsilon^{n+1} R_n(x,t,\varepsilon), \end{aligned}$$

/3/

де  $\tau = t/\varepsilon$ ,  $\xi = x/\varepsilon$ ,  $\eta = \ell - x/\varepsilon$ . Усі функції, що входять у /3/, визначені нижче.

Рівняння для знаходження регуляризованої частини асимптотики  $\sum_{i=0}^n \varepsilon^i \bar{U}_i(x, t)$  одержуємо застосуванням стандартної процедури методу збурень

$$c(x, t) \bar{U}_i = f_i(x, t) \quad (i = 0, \dots, N), \quad /4/$$

де  $f_0(x, t) = f(x, t)$ ,  $f_i(x, t) = -\left(\frac{\partial \bar{U}_{i-1}}{\partial t} - \frac{\partial^2 \bar{U}_{i-1}}{\partial x^2} - a(x, t) \frac{\partial \bar{U}_{i-1}}{\partial x}\right) + b(x, t) \frac{\partial \bar{U}_{i-1}}{\partial x}$  ( $i = 1, \dots, N$ ). Тут і надалі функція з від'ємним індексом вважається тотожно рівній нулю. Функції  $\bar{U}_i(x, t)$  в розв'язках скінчених рівнянь /4/ і, взагалі кажучи, не задовільняють початковим і граничним умовам /2/. Цій меті слугують  $P_-$ ,  $Q_-$ , і  $R$  функції розкладу /3/.

Опишемо, як дістаємо рівняння для визначення  $\bar{U}_i(x, t)$ . У операторі  $L_\varepsilon$  проведемо регуляризуюче перетворення  $\tau = t/\varepsilon^3$  і розкладемо усі коефіцієнти у скінченні стрічки Тейлора в околі  $t=0$ . Одержані таким чином оператор позначимо через  $M_\varepsilon$ . Зрівнюючи в  $M_\varepsilon \left( \sum_{i=0}^n \varepsilon^i \bar{U}_i(x, t) \right) = 0$  коефіцієнти при одинакових степенях  $\varepsilon$ , маємо рівняння для визначення  $\bar{U}_i(x, t)$  ( $i = 0, \dots, N$ )

$$\frac{\partial \bar{U}_i}{\partial \tau} + c(x, 0) \bar{U}_i = \varphi_i(x, \tau), \quad /5/$$

де  $\varphi_0(x, \tau) = 0$ ,  $\varphi_i(x, \tau)$  ( $i = 1, \dots, N$ ) легко можна явно описати і лінійно виразити через  $\bar{U}_j(x, \tau)$  ( $j < i$ ) та їхні похідні.

Рівняння для визначення  $Q_i(\xi, t)$  ( $i = 0, \dots, N$ ), що покликані ліквідувати нев'язку у виконанні граничних умов в околі границі  $x=0$ , одержуємо процедурою, аналогічною наведений вище для визначення  $\bar{U}_i(x, t)$  (регуляризуюче перетворення  $\xi = x/\varepsilon$ ). У результаті отримуємо

$$\frac{\partial^3 Q_i}{\partial \xi^3} - c(0, t) Q_i = \psi_i(\xi, t), \quad /6/$$

де  $\Psi_0(\xi, t) = 0$ ,  $\Psi_i(\xi, t)$  ( $i = 1, \dots, N$ ) легко можна описати у явному вигляді і лінійно виразити через  $Q_j(\xi, t)$  ( $j < i$ ) та їхні похідні.

Аналогічно функції примежового шару в околі границі  $x = l$   $P_i(\eta, t)$  ( $i = 0, \dots, N$ ) визначають з рівнянь

$$\frac{\partial^3 P_i}{\partial \eta^3} + C(l, t) P_i = X_i(\eta, t), \quad /7/$$

де  $X_0(\eta, t) = 0$ ,  $X_i(\eta, t)$  ( $i = 1, \dots, N$ ) легко можна виписати в явному вигляді і лінійно виразити через  $\beta_j(\eta, t)$  ( $j < i$ ) та їхні похідні.

Умови, при яких слід розв'язувати рівняння /5/, /6/, /7/, зважаючи за допомогою стандартної процедури з використанням /3/ і умов /2/, а також міркувань про те, що ці функції повинні бути функціями типу примежового шару [6].

У результаті одержимо

$$P_i(x, 0) = -\bar{U}_i(x, 0) \quad (i = 0, \dots, N), \quad /8/$$

$$Q_i(0, t) = -\bar{U}_i(0, t), \frac{\partial Q_i(0, t)}{\partial \xi} = -\frac{\partial \bar{U}_{i-1}(0, t)}{\partial x}, Q_i(\xi, t) \rightarrow 0 \quad (i = 0, \dots, N) \quad /9/$$

$$P_i(0, t) = -\bar{U}_i(l, t), P_i(\eta, t) \xrightarrow[\eta \rightarrow \infty]{} 0 \quad (i = 0, \dots, N). \quad /10/$$

Отже, функції  $P_i(x, t)$ ,  $Q_i(\xi, t)$ ,  $R_i(\eta, t)$  – це розв'язки відповідно задач /5/, /8/; /6/; /9/; /7/, /10/. що є задачами для звичайних диференціальних рівнянь з постійними коефіцієнтами. Легко бачити, що усі функції, які входять в /3/, можна визначити рекурентно у такій послідовності:  $\bar{U}_i(x, t)$ ,  $P_i(x, t)$ ,  $Q_i(\xi, t)$ ,  $R_i(\eta, t)$  і т.д. Більш того, функції  $P_i(x, t)$ ,  $Q_i(\xi, t)$ ,  $R_i(\eta, t)$  є функціями звичайного примежового шару в околі відповідно  $t = 0$ ,  $x = 0$ ,  $x = l$ / доведення аналогічне [3]/.

Методом інтегралів енергії [9] одержана оцінка

$$\| R_N(x, t, \varepsilon) \|_{L_2(D)} < C,$$

де константа  $C$  не залежить від  $\varepsilon$ . Що і доводить асимптотичну коректність розкладу [3].

Результат роботи сформулюємо у вигляді теореми.

**Теорема.** При виконанні умов I-3/ розв'язок задачі /1/, /2/ допускає асимптотичний розклад /3/, де  $\bar{U}_i(x, t)$  визначається рекурентно зі скінчених рівнянь /4/; функції звичайних примежових шарів  $P_i(x, t)$ ,  $Q_i(\xi, t)$ ,  $R_i(\eta, t)$  рекурентно визначаються як розв'язки відповідно задач /5/, /8/; /6/, /9/; /7/, /10/.

Список літератури: 1. Ван - Даук М. Методы возмущений в механике жидкости. - М.: Мир, 1967. 2. Васильева А.Б., Бутузов В.Ф. Асимптотические разложения решений сингулярно возмущенных уравнений. - М.: Наука, 1973. 3. Вишник М.И., Листерник Л.А. Регулярное вырождение и пограничный слой для линейных дифференциальных уравнений с малым параметром. - Успехи матем. наук, 1957, № 5. 4. Зино И.Е., Тропп Э.А. Асимптотические методы в задачах теории теплопроводности и термоупругости. Изд-во Ленинград. ун-та, 1978. 5. Кул Дж. Методы возмущений в прикладной математике. - М.: Мир, 1972. 6. Курант Р. Уравнения с частными производными. - М.: Мир, 1964. 7. Найфе А. Методы возмущений. - М.: Мир, 1976. 8. Треногин В.А. Развитие и приложения асимптотического метода Листерника-Вишника. - Успехи матем. наук, 1970, № 4. 9. Kattabriga L. Un problema al contorno per una equazione parabolica di ordine dispari. - Ann. Scuola norm. super. Pisa. Sci. fis. e mat., 1959, № 2.

Стаття надійшла в редколегію 02.12.80

І.Д.Квіт

## ЗВУЖЕНИ ДО КІНЦІВ ІНТЕРКВАНТИЛЬНІ СМУТИ ДОВІРЯ

Нехай

$$x_{(1)}, x_{(2)}, \dots, x_{(j)}, \dots, x_{(n)} \quad /1/$$

упорядкована за величиною вибірка з популяції, що має функцію розподілу  $F(x)$  та густину розподілу імовірностей  $f(x) = F'(x)$ .

Тоді двоіндексна випадкова змінна

$$v_{jn} = F(x_{(j)}), \quad (j=1, \dots, n; n=2,3,\dots), \quad /2/$$

яку називемо інформатором популяції, набуває значення між нулем та одиницею. Диференціал імовірності розподілу  $j$ -ї порядкової статистики  $x_{(j)}$  за поліномним розподілом дорівнює

$$\frac{n!}{(j-1)! 1! (n-j)!} \left[ F(x_{(j)}) \right]^{j-1} f(x_{(j)}) dx_{(j)} \left[ 1 - F(x_{(j)}) \right]^{n-j}.$$

Звідси густина інформатора [2]

$$g(v_{jn}) = \frac{n!}{(j-1)! (n-j)!} v_{jn}^{j-1} (1-v_{jn})^{n-j}, \quad 0 < v_{jn} < 1, \\ (j=1, \dots, n; n=2,3,\dots).$$

Математичне сподівання та мода інформатора /2/ відповідно дорівнюють

$$E(v_{jn}) = \frac{j}{n+1}, \quad M_o(v_{jn}) = \frac{j-1}{n-1}, \quad (j=1, \dots, n; n=2,3,\dots).$$

Квантилем порядку  $q$  інформатора /2/ з густиною /3/ називається число  $L_q(v_{jn})$ , що задовільняє співвідношення

$$\frac{n!}{(j-1)! (n-j)!} \int_0^{L_q(v_{jn})} x^{j-1} (1-x)^{n-j} dx = q, \quad 0 < q < 1, \\ (j=1, \dots, n; n=2,3,\dots). \quad /4/$$

При  $q = 0,5$  співвідношення /4/ визначає медіану інформатора,

$$M_e(v_{jn}) = L_{0,5}(v_{jn}), \quad (j=1, \dots, n; n=2,3,\dots);$$

при  $q = 0$  і  $q = 1$  маємо відповідно  $L_0(v_{jn}) = 0$  і  $L_1(v_{jn}) = 1$ .

Відомо [1], що

$$L_q(v_{jn}) = \frac{j}{j + (n+1-j) F_q(2(n+1-j), 2j)}, \quad /5/$$

де  $F_q(v_1, v_2)$  - процентні точки розподілу Фішера з  $(v_1, v_2)$  ступенями вільності. Значення  $F_q(v_1, v_2)$  табульовано [1] при  $q = 0.5; 0.25; 0.1; 0.05; 0.025; 0.01; 0.005; 0.001$  та різних  $(v_1, v_2)$ . Для одержання значень  $F_q(v_1, v_2)$  при  $q = 0.75; 0.9; 0.95; 0.975; 0.99; 0.995; 0.999$  використовуємо рефлексивне рівняння  $F_q(v_1, v_2) = \frac{1}{F_{1-q}(v_2, v_1)}$ .

Лівий бік співвідношення /4/ виражає ймовірність нерівності  $F(x_{(j)}) \leq L_q(v_{jn})$ . Тому рівність /4/ записується еквівалентно  $P\{F(x_{(j)}) \leq L_q(v_{jn})\} = q, 0 < q < 1, (j=1, \dots, n; n=2, 3, \dots)$ .

Звідси дістаемо похідне співвідношення

$$\cdot P\{L_{q_1}(v_{jn}) < F(x_{(j)}) < L_{1-q_2}(v_{jn})\} = 1 - q_1 - q_2, \\ q_1 > 0, q_2 > 0, 0 < q_1 + q_2 < 1, (j=1, \dots, n; n=2, 3, \dots). \quad /6/$$

Співвідношення /6/ вказує  $(1 - q_1 - q_2)$ . 100%-ні межі допуску для інформатора /2/. Сусідні точки  $(x_{(j)}; L_{q_1}(v_{jn}))$ , з'єднані відрізками, утворюють нижню межу двобічної інтерквантильної смуги довір"я; точки  $(x_{(j)}; L_{1-q_2}(v_{jn}))$  - верхню межу. Оскільки різниця  $L_{1-q_2}(v_{jn}) - L_{q_1}(v_{jn})$  зростом індекса  $j$  спершу зростає, а згодом спадає, то інтерквантильна смуга довір"я звужується до кінців. При  $q_1 = q_2 = q, 0 < q < \frac{1}{2}, (1-2q)$ . 100%-на смуга довір"я - симетрична. При  $q_1 = 0$  маємо однобічну нижню смугу довір"я з верхньою межею через точки  $(x_{(j)}; L_{1-q_2}(v_{jn}))$ .

Зокрема, ламана через точки  $(x_{(j)}; L_{q_5}(v_{jn}))$  представляє графік медіанної емпіричної функції розподілу. При  $q_2 = 0$  дістаемо однобічну верхню смугу довір"я з нижньою межею через точки  $(x_{(j)}; L_{q_1}(v_{jn}))$ . При  $q_1 = 0.5$  нижньою межею смуги довір"я є графік медіанної емпіричної функції розподілу.

У симетричному випадку співвідношення /6/ набуває вигляду

$$\mathcal{P}\{L_q(v_{jn}) < F(x_{ij}) < L_{1-q}(v_{jn})\} = 1-2q, \quad 0 < q < \frac{1}{2}, \quad (j=1, \dots, n; \quad n=2, 3, \dots). \quad /7/$$

Симетрична інтерквантильна смуга довір"я, визначена точками

$(x_{ij}; L_q(v_{jn}))$  та  $(x_{ij}; L_{1-q}(v_{jn}))$ , при  $q = 0,25; 0,1;$   
 $0,01; \dots$  відповідно називається інтерквартильною, інтердесильною,  
інтерцентильною тощо.

Для ілюстрації використання формули /7/ розглянемо числовий приклад. Нехай 54, 79, 97, 114, 130, 146, 164, 186, 220 упорядкована вибірка з абсолютно неперервної популяції. Знайти вузлові точки для меж інтердесильної смуги довір"я, а також вузлові точки для медіанної емпіричної функції розподілу.

За формулами /5/ і відповідною таблицею [ I ] знаходимо значення  $L_{0,1}(v_{jg}), L_{0,9}(v_{jg})$  та  $L_{0,5}(v_{jg})$ . Одержані результати запишемо в таблицю.

j	$x_{ij}$	$L_{0,5}(v_{jg})$	$L_{0,1}(v_{jg})$	$L_{0,9}(v_{jg})$	$L_{0,9}(v_{jg}) - L_{0,1}(v_{jg})$
1	54	0,074	0,012	0,225	0,213
2	79	0,180	0,061	0,368	0,307
3	97	0,286	0,130	0,490	0,360
4	114	0,393	0,211	0,599	0,388
5	130	0,500	0,300	0,700	0,400
6	146	0,607	0,401	0,789	0,388
7	164	0,714	0,510	0,870	0,360
8	186	0,820	0,632	0,939	0,307
9	220	0,926	0,775	0,988	0,213

Сусідні точки  $(x_{ij}; L_{0,5}(v_{jg}))$ , з'єднані відрізками, утворять графік медіанної емпіричної функції розподілу; точки  $(x_{ij}; L_{0,1}(v_{jg}))$ -нижче, а точки  $(x_{ij}; L_{0,9}(v_{jg}))$ -вище меж інтердесильної смуги довір"я. Різниця  $L_{0,9}(v_{jg}) - L_{0,1}(v_{jg})$  симетрична зростає, а згодом спадає; інтердесильна смуга довір"я змушенена до кінців.

Відзначимо, що коли ЕОМ може видавати процентні точки розподілу Фішера при заданих ступенях вільності, то зможе видати графіки медіанної емпіричної функції розподілу та меж інтерквантильної смуги довір"я.

Список літератури: 1. Справочник по специальным функциям. - М.: Наука, 1979. 2. Smirnoff N. Über die Verteilung des allgemeinen Gliedes in der Variationsreihe. „Metron,” 12(1935), 59-81.

Стаття надійшла в редколегію 25.II.80

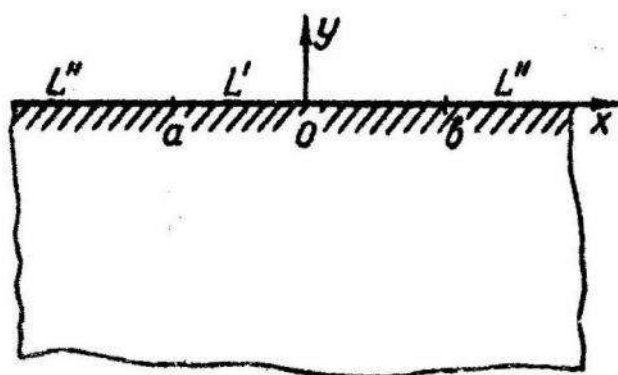
УДК 536.24

Д.В.Гриліцький  
ТЕМПЕРАТУРНЕ ПОЛЕ  
У ПІВЛОНІ ПРИ МІЖНИХ ГРАНІЧНИХ УМОВАХ

Розглянемо нижню півлоні при додушенні, що її бічні грани теплоізольовані.

У цьому випадку для визначення температурного поля в області по заданих умовах на границі можна застосувати метод теорії функцій комплексного змінного.

Введемо позначення: всю границю півлоні позначимо через  $L$ , відрізок  $ab$  границі - через  $L'$ , частину границі поза  $L'$  - через  $L''$ . Так що  $L = L' + L''$  /див. рисунок/.



Відомо, що температура визначається за формулou

$$T(x,y) = \frac{1}{2} [F(z) + \overline{F(z)}], \quad /1/$$

де  $F(z)$  - аналітична функція змінного  $z = x + iy$ .

Задача знаходження температурного поля у півплощині  $T(x,y)$  або, що те саме, функції розподілу температури  $F(z)$  легко розв'язується у випадках, коли на границі  $L$  відома температура  $T(t)$  або нормальна похідна від температури  $\frac{\partial T}{\partial y} = \psi(t)$ .

У першому випадку для визначення функції  $F(z)$  застосовують формулу

$$F(z) = -\frac{1}{\pi i} \int_L \frac{T(t)dt}{t-z}. \quad /2/$$

В другому - знаходимо функцію  $F'(z)$

$$F'(z) = \frac{1}{\pi} \int_L \frac{\psi(t)dt}{t-z} \quad /3/$$

при виконанні умови

$$\int_L \psi(t)dt = 0. \quad /4/$$

Вважаємо, що функції  $T(t)$  і  $\psi(t)$  такі, що інтегали /2/ і /3/ існують.

Наведемо розв'язки задач тепlopровідності для таких п'яти випадків граничних умов:

$$\frac{\partial T}{\partial y} + h(T - T_o) = 0 \quad \text{на } L', \quad /5/$$

$$T = \varphi(t) \quad \text{на } L'';$$

$$\frac{\partial T}{\partial y} + h(T - T_o) = 0 \quad \text{на } L', \quad /6/$$

$$\frac{\partial T}{\partial y} = \psi(t) \quad \text{на } L'';$$

$$\frac{\partial T}{\partial y} + h(T - T_o) = 0 \quad \text{на } L', \quad /7/$$

$$\frac{\partial T}{\partial y} = -kT \quad \text{на } L'';$$

$$T = \psi(x) \quad \text{на } L', \quad /8/$$

$$\frac{\partial T}{\partial y} = \psi(x) \quad \text{на } L'';$$

$$T = \varphi(x) \quad \text{на } L', \quad /9/$$

$$\frac{\partial T}{\partial y} = -KT \quad \text{на } L''.$$

В умовах /5/-/9/  $h$  і  $K$  - стали коефіцієнти;  $T_0$  - відома температура;  $\varphi(t)$  і  $\psi(t)$  - відомі функції.

Крім того вважаємо, що для всіх п'яти випадків виконується умова

$$\int_L \frac{\partial T}{\partial y} dt = 0, \quad /10/$$

також температура у всіх точках границі півплощини має бути неперерваною функцією.

Враховуючи малий обсяг статті, одустимо аналітичні викладки і наведемо остаточні результати.

На основі формул /1/-/3/ та тих співвідношень, які можна з них одержати, знайдено, що:

А. При граничних умовах /5/ температура  $T(t)$  на  $L'$  визначається із сингулярного інтегрального рівняння

$$\pi h T(x) - \int_L \frac{T'(t)dt}{t-x} = f(x), \quad x \in L', \quad /11/$$

де

$$f(x) = \pi h T_0(x) + \int_{L''} \frac{\varphi'(t)dt}{t-x}. \quad /12/$$

Знайдену температуру на  $L'$ , маємо температуру на всій границі  $L$ . Функцію  $F(z)$  обчислюємо за формулою /2/.

Б. Для визначення температури  $T(t)$  на  $L'$  при граничних умовах /6/ доходимо до такого рівняння

$$h \int_L \frac{T(t)dt}{t-x} + \pi T'(x) = f(x), \quad x \in L', \quad /13/$$

де

$$f(x) = h \int_{L'}^x \frac{T_0(t)dt}{t-x} + \int_{L''}^x \frac{\psi(t)dt}{t-x}. \quad /14/$$

Розв'язавши рівняння /13/, дістанемо температуру на  $L'$ , звідки стане відома похідна від температури по нормалі на всій границі півплощини  $L$ . Функція  $\mathcal{F}(z)$  визначиться за формулою /3/.

В. Для знаходження температури на  $L'$  при граничних умовах /7/ дістаемо рівняння

$$\begin{aligned} & \frac{h-\kappa}{\pi} \int_{L'}^x \frac{T dt}{t-x} + \frac{h\kappa}{2} \int_{L'}^x T(t) \operatorname{sign}(x-t) dt + \\ & + T'(x) = f(x), \quad x \in L', \end{aligned} \quad /15/$$

де

$$f(x) = \frac{h}{\pi} \int_{L'}^x \frac{T_0 dt}{t-x} + \frac{\kappa h}{2} \int_{L'}^x T_0 \operatorname{sign}(x-t) dt + a_0; \quad /16/$$

$a_0$  - константа.

Якщо температура на  $L'$  знайдена, то функцію  $\mathcal{F}(z)$  дістається із диференціального рівняння

$$\mathcal{F}'(z) - i\kappa \mathcal{F}(z) = \Phi(z), \quad /17/$$

де

$$\Phi(z) = \frac{\kappa-h}{\pi} \int_{L'}^z \frac{T dt}{t-z} + \frac{h}{\pi} \int_{L'}^z \frac{T_0 dt}{t-z} \quad /18/$$

Г. Для випадку граничних умов /8/ визначається функція

$$\begin{aligned} \mathcal{F}'(z) = & - \frac{i}{\pi^2 x(z)} \int_{L'}^z \frac{x^*(t) \omega(t) dt}{t-z} + \\ & + \frac{1}{\pi x(z)} \int_{L''}^z \psi(t) dt + \frac{1}{\pi} \int_{L''}^z \frac{\psi(t) dt}{t-z}. \end{aligned} \quad /19/$$

у формулі /19/ введені позначення

$$x(z) = \sqrt{(z-a)(z-b)};$$

$$\omega(x) = \pi \psi'(x) - \int_{L'}^x \frac{\psi(t) dt}{t-x}, \quad x \in L'. \quad /20/$$

Д. Задачу тепlopровідності при граничних умовах /9/ можна звести до сингулярного інтегрального рівняння

$$\frac{1}{\pi} \int_L^x \frac{S'(t) dt}{t-x} + \kappa S(x) = f(x), \quad x \in L', \quad /21/$$

де

$$f(x) = \frac{\kappa}{\pi} \int_L^x \frac{\psi(t) dt}{t-x} - \psi'(x); \quad /22/$$

$S(x)$  - значення уявної частини функції  $\mathcal{F}(z)$  на  $L$ .

Якщо функція  $S'(x)$  на  $L'$  знайдена, то для визначення  $\mathcal{F}(z)$  служить диференціальне рівняння /17/ з правою частиною

$$\Phi(z) = \frac{\kappa}{\pi} \int_L^x \frac{\psi(t) dt}{t-z} - \frac{1}{\pi} \int_{L'}^x \frac{S'(t) dt}{t-z}. \quad /23/$$

Для наближеного розв'язання одержаних сингулярних інтегрально-диференціальних рівнянь ефективним є метод ортогональних поліномів. Покажемо це на прикладі рівняння /21/, попередньо звівши його до проміжка  $(-1, 1)$ .

Отже, побудуємо розв'язок такого рівняння

$$\frac{1}{\pi} \int_{-1}^x \frac{S'(t) dt}{t-x} + \kappa S(x) = f(x), \quad x \in (-1, 1). \quad /24/$$

Шукаємо розв'язок у вигляді

$$S'(t) = (1-t^2)^{-\frac{1}{2}} \sum_{n=0}^{\infty} A_n T_n(t). \quad /25/$$

Звідки

$$S(t) = -\sqrt{1-t^2} \sum_{n=1}^{\infty} \frac{1}{n} A_n U_{n-1}(t) + A_0 \arcsin t + A, \quad /26/$$

де  $T_n(t)$  і  $U_n(t)$  - поліноми Чебишева відповідно першого та другого роду;  $A$  - константа.

Підставляючи /25/ і /26/ в /24/ та користуючись спiввiдношеннями ортогональностi для полiномiв Чебишева першого та другого роду, одержуємо

$$\sum_{n=1}^{\infty} A_n U_{n-1}(x) - \kappa \sqrt{1-x^2} \sum_{n=1}^{\infty} \frac{1}{n} A_n U_{n-1}(x) +$$

$$+ \kappa A_0 \arcsin x + \kappa A = f(x), \quad x \in (-1, 1). \quad /27/$$

Помножимо /27/ на  $\sqrt{1-x^2} U_m(x)$  ( $m=0, 1, \dots$ ) і проiнтегруємо по  $x$  в межах вiд  $-1$  до  $1$ . В результатi одержимо безмежну систему лiнiйних алгебраїчних рiвнянь для визначення шуканих коефiцiєнтiв  $A_n$  ( $n=0, \infty$ )

$$\frac{\pi}{2} A_{m+1} - \kappa \sum_{n=1}^{\infty} \frac{1}{n} N_{n,m} A_n = H_m - \kappa B_m, \quad m=0, 1, \dots, \quad /28/$$

де

$$N_{n,m} = \int_{-1}^1 (1-x^2) U_{n-1}(x) U_m(x) dx = \\ = \begin{cases} 0, & m+n \text{ - парне} \\ \frac{1}{(m+n)(m+n+2)} - \frac{1}{(m-n)(m-n+2)}, & m+n \text{ - непарне}, \end{cases}$$

$$H_m = \int_{-1}^1 \sqrt{1-x^2} U_m(x) f(x) dx,$$

$$B_m = \int_{-1}^1 (A_0 \arcsin x + A) \sqrt{1-x^2} U_m(x) dx.$$

При практичних розрахунках обмежується, звичайно, скiнченnoю системoю лiнiйних алгебраїчних рiвнянь.

Стаття надiйшла в редколeгiю 05.01.81

О.М.Горечко

ВЗАЄМОДІЯ СЛАБИХ УДАРНИХ ХВІЛЬ З ТОВСТОСТІННИМ ПРУЖНИМ ЦИЛІНДРОМ,  
ЯКИЙ ЗНАХОДИТЬСЯ В АКУСТИЧНОМУ СЕРЕДОВИЩІ

Відомі методи розв'язування нестационарних задач взаємодії слабих ударних хвиль з деформівними перешкодами [3, 4] ефективно застосовуються, якщо пружний об'єкт описується лінійними рівняннями теорії тонких пружних оболонок [2]. Методом поліномів Лагерра [1] розв'яземо нестационарну задачу взаємодії слабих ударних хвиль з товстостінним пружним циліндром.

I. Розглянемо пружний циліндр безмежної довжини, заповнений ідеальною стисливовою рідиною густини  $\rho_1$ , зі швидкістю поширення звуку  $C_1$ , який знаходиться в просторі ідеальної стисливової рідини з характеристиками  $\rho_2$  і  $C_2$ . Нехай із зовнішнього середовища на початково нерухомий циліндр падає плоска або циліндрична хвиля тиску  $P = \rho c^2 Q(\bar{R}, t)$ , а в заповнювачі знаходиться джерело циліндричних хвиль  $P_i = \rho c^2 Q_i(\bar{R}, t)$ , причому фронти хвиль  $P_i$  ( $i=1,2$ ) паралельні до твірної циліндра. Поведінка товстостінної циліндричної оболонки описується рівняннями Ламе, а рух зовнішнього середовища і заповнювача – хвильовим рівнянням на тиск.

Віднесемо циліндр до циліндричної системи координат  $(R, \varphi, Z)$ , вісь  $Z$  якої збігається з віссю циліндра. У такій постановці задача плоска, тобто всі шукані величини не залежать від змінної  $Z$ . Рівняння Ламе розділимо за допомогою функцій

$$\theta = \frac{1}{\zeta} \frac{\partial}{\partial \zeta} (\zeta u) + \frac{1}{\zeta} \frac{\partial v}{\partial \varphi}; \quad \chi = \frac{1}{2\zeta} \left[ \frac{\partial}{\partial \zeta} (\zeta v) - \frac{\partial u}{\partial \varphi} \right], \quad (I.I)$$

де  $\zeta = R/R_2$  – безрозмірна радіальна координата;  $\vec{u}(u, v, \varphi)$  – вектор зміщень, віднесений до зовнішнього радіуса циліндра  $R_2$ . З допомогою функцій (I.I) у розглядуваному плоскому випадку розв'язу-

вания рівнянь Ламе еквівалентне розв'язуванню хвильових рівнянь

$$\begin{aligned} \frac{1}{\tau} \frac{\partial}{\partial \tau} \left( \tau \frac{\partial \theta}{\partial \tau} \right) + \frac{1}{\tau^2} \frac{\partial^2 \theta}{\partial \varphi^2} &= \frac{\partial^2 \theta}{\partial \tau^2}; \\ \frac{1}{\tau} \frac{\partial}{\partial \tau} \left( \tau \frac{\partial X}{\partial \tau} \right) + \frac{1}{\tau^2} \frac{\partial^2 X}{\partial \varphi^2} &= \frac{1}{b^2} \frac{\partial^2 X}{\partial \tau^2}, \end{aligned} \quad (I.2)$$

записаних у безрозмірних величинах  $\tau = C_L t / R_2$ ,  $b = C_T / C_L$ ,  $C_T$  – швидкості поширення поперечних і поздовжніх хвиль у циліндрі.

Тиск у заповнівачі ( $i = 1$ ) та зовнішньому середовищі ( $i = 2$ ) записуємо у вигляді суми падаючого  $P_i$  та збуреного  $p_i = P_i C_i^2 q_i$  тисків. Збурені безрозмірні тиски  $q_i$  задовільняють хвильові рівняння

$$\frac{1}{\tau} \frac{\partial}{\partial \tau} \left( \tau \frac{\partial q_i}{\partial \tau} \right) + \frac{1}{\tau^2} \frac{\partial^2 q_i}{\partial \varphi^2} = \frac{1}{a_i^2} \frac{\partial^2 q_i}{\partial \tau^2} \quad (i = 1, 2), \quad (I.3)$$

де  $a_i = C_i / C_L$ ,  $C_i$  – швидкості поширення звуку в заповнівачі та зовнішньому середовищі.

Рівняння (I.2), (I.3) необхідно розв'язати при нульових початкових і граничних умовах безвідцінного контакту пружного й акустичного середовища, які в термінах функцій  $\Theta : X$  записуємо у вигляді

$$\begin{aligned} \frac{\partial^2 \Theta}{\partial \tau^2} - 2b^2 \left[ \frac{1}{\tau} \frac{\partial^2 \Theta}{\partial \varphi^2} + \frac{1}{\tau} \frac{\partial \Theta}{\partial \tau} + 2b^2 \frac{\partial^2}{\partial \tau \partial \varphi} \left( \frac{1}{\tau} X \right) \right] + \\ + \mu_i a_i^2 \frac{\partial^2 q_i}{\partial \tau^2} = - \mu_i a_i^2 \frac{\partial^2 Q_i}{\partial \tau^2}, \end{aligned}$$

$$\begin{aligned} 2 \frac{\partial}{\partial \varphi} \left( \frac{\partial \Theta}{\partial \tau} - \frac{1}{\tau} \Theta \right) + 2b^2 \left( \frac{1}{b^2} \frac{\partial^2 X}{\partial \tau^2} - \frac{2}{\tau} \frac{\partial^2 X}{\partial \varphi^2} - 2 \frac{\partial X}{\partial \tau} \right) = 0, \\ \frac{\partial \Theta}{\partial \tau} - \frac{2b^2}{\tau} \frac{\partial X}{\partial \varphi} + a_i^2 \frac{\partial^2 q_i}{\partial \tau^2} = - a_i^2 \frac{\partial^2 Q_i}{\partial \tau^2}, \end{aligned} \quad (I.4)$$

при  $\tau = R_1 / R_2$ ,  $i = 1$  та  $\tau = 1$ ,  $i = 2$ . У співвідношеннях (I.4)  $\mu_i = \rho_i / \rho_0$ ,  $\rho_i$  ( $i = 1, 2$ ) – густини заповнівача і зовнішнього середовища;  $\rho_0$  – густина циліндра;  $R_1$  – внутрішній радіус ци-

ліндра. Всі шукані функції повинні бути обмеженими в областях, де во-  
ни визначені.

2. Згідно з методом поліномів Лагерра [1] у розглядуваному просто-  
му випадку залишемо шукані функції у вигляді рядів

$$\Theta(\tau, \varphi, \tau) = \sum_{m=0}^{\infty} \sum_{n=0}^{\infty} \Theta_{mn}(\tau) L_n(\tau) \cos m\varphi,$$

$$X(\tau, \varphi, \tau) = 2b^2 \sum_{m=1}^{\infty} \sum_{n=0}^{\infty} X_{mn}(\tau) L_n(\tau) \sin m\varphi,$$

$$q_i(\tau, \varphi, \tau) = \sum_{m=0}^{\infty} \sum_{n=0}^{\infty} q_{imn}(\tau) L_n(\tau) \cos m\varphi \quad (i=1,2). \quad (2.1)$$

Тоді, зважаючи на нульові початкові умови задачі, коефіцієнти рядів  
(2.1) знаходяться як розв'язки послідовностей рівнянь Бесселя

$$\frac{1}{\tau} \frac{d}{d\tau} \left( \tau \frac{d\Theta_{mn}}{d\tau} \right) - \left( 1 + \frac{m^2}{\tau^2} \right) \Theta_{mn} = \sum_{j=0}^{n-1} (n+j-j) \Theta_{mj},$$

$$\frac{1}{\tau} \frac{d}{d\tau} \left( \tau \frac{dX_{mn}}{d\tau} \right) - \left( \frac{1}{b^2} + \frac{m^2}{\tau^2} \right) X_{mn} = \frac{1}{b^2} \sum_{j=0}^{n-1} (n+j-j) X_{mj},$$

$$\frac{1}{\tau} \frac{d}{d\tau} \left( \tau \frac{dq_{imn}}{d\tau} \right) - \left( \frac{1}{a_i^2} + \frac{m^2}{\tau^2} \right) q_{imn} = \frac{1}{a_i^2} \sum_{j=0}^{n-1} (n+j-j) q_{imj}, \quad (2.2)$$

обмежені у відповідних областях при таких граничних умовах на поверх-  
нях  $\tau=R_1/R_2$  ( $i=1$ ) і  $\tau=1$  ( $i=2$ ):

$$\Theta_{mn} - 2b^2 \left[ \frac{1}{\tau} \frac{d\Theta_{mn}}{d\tau} - \frac{m^2}{\tau^2} \Theta_{mn} + m \frac{d}{d\tau} \left( \frac{X_{mn}}{\tau} \right) \right] + \mu_i a_i^2 q_{imn} =$$

$$= -\mu_i a_i^2 Q_{imn} - \sum_{j=0}^{n-1} (n+j-j) [\Theta_{mj} + \mu_i a_i^2 (q_{imj} + Q_{imj})],$$

$$\left( \frac{1}{b^2} + 2 \frac{m^2}{\tau^2} \right) X_{mn} - \frac{dX_{mn}}{d\tau} - 2 \frac{d}{d\tau} \left( \frac{\Theta_{mn}}{\tau} \right) = -\frac{1}{b^2} \sum_{j=0}^{n-1} (n+j-j) X_{mj} \quad (2.3)$$

$$\frac{d\Theta_{mn}}{d\tau} - \frac{m}{\tau} \Theta_{mn} + a_i^2 \frac{dq_{imn}}{d\tau} = -a_i^2 \frac{dQ_{imn}}{d\tau}.$$

Розв'язок задачі (2.2), (2.3) записуємо у вигляді

$$\theta_{mn}(\tau) = \sum_{l=0}^n X_{n-l}^1 GI_{ml}(\tau) + X_{n-l}^2 GK_{ml}(\tau),$$

$$X_{mn}(\tau) = \sum_{l=0}^n X_{n-l}^3 GI_{ml}\left(\frac{\tau}{b}\right) + X_{n-l}^4 GK_{ml}\left(\frac{\tau}{b}\right),$$

$$q_{1mn}(\tau) = \sum_{l=0}^n X_{n-l}^5 GI_{ml}\left(\frac{\tau}{a_1}\right); q_{2mn}(\tau) = \sum_{l=0}^n X_{n-l}^6 GK_{ml}\left(\frac{\tau}{a_2}\right). \quad (2.4)$$

де  $GI_{mn}(x)$  і  $GK_{mn}(x)$  – фундаментальні розв'язки систем виду (2.2), означені в [I]. Вектор  $\bar{X}_n$  з компонентами  $X_n^j$  ( $j=1,6$ ) знаходимо як розв'язок системи лінійних алгебраїчних рівнянь

$$A_{mo} \bar{X}_n = \bar{f}_{mn} - \sum_{j=1}^6 A_{mj} \bar{X}_{n-j}, \quad (2.5)$$

де  $\bar{f}_{mn}$  – вектор з компонентами  $f_{mn}^j$  ( $j=1,6$ ), які дорівнюють правим частинам умов (2.3), а коефіцієнти  $a_{mn}^{ij}$  ( $i,j=1,6$ ) матриці  $A_{mn}$  виражаються через функції  $GI_{mn}(x)$  і  $GK_{mn}(x)$  з допомогою підстановки розв'язків (2.4) в умови (2.3). Відзначимо, що основна матриця системи (2.5) є трикутною блочно-тепліцевою матрицею з блоками  $A_{mn}$ . Тому розв'язування системи (2.5) можна звести до послідовного розв'язування систем шостого порядку. Саме в такому вигляді і записана система (2.5).

За знайденими функціями  $\theta$  і  $X$  з допомогою співвідношень (I.I) знаходимо компоненти  $u$  і  $v$  вектора пружного переміщення в циліндри, а отже, і всі інші характеристики напруженно-деформованого стану циліндра.

3. На рис. I показані графіки зміщень у трьох характерних точках зовнішньої поверхні суцільного пружного циліндра під дією плоскої хвилі тиску типу сходинки ( $Q(\tau, \varphi, t) = H(t + \tau a_1 \cos \varphi - a_2)$ ) при таких значеннях безрозмірних параметрів:  $b=0,541$ ;  $a_2 = 0,246$ ;  $M_2 = 0,13$ . Суцільними кривими на рисунках зображені графіки нормальних зміщень, штриховими – тангенціальних в точці  $\varphi = \frac{\pi}{2}$ .

При розрахунках у розкладах по Фур'є та Лагерру враховували по 16 членів.

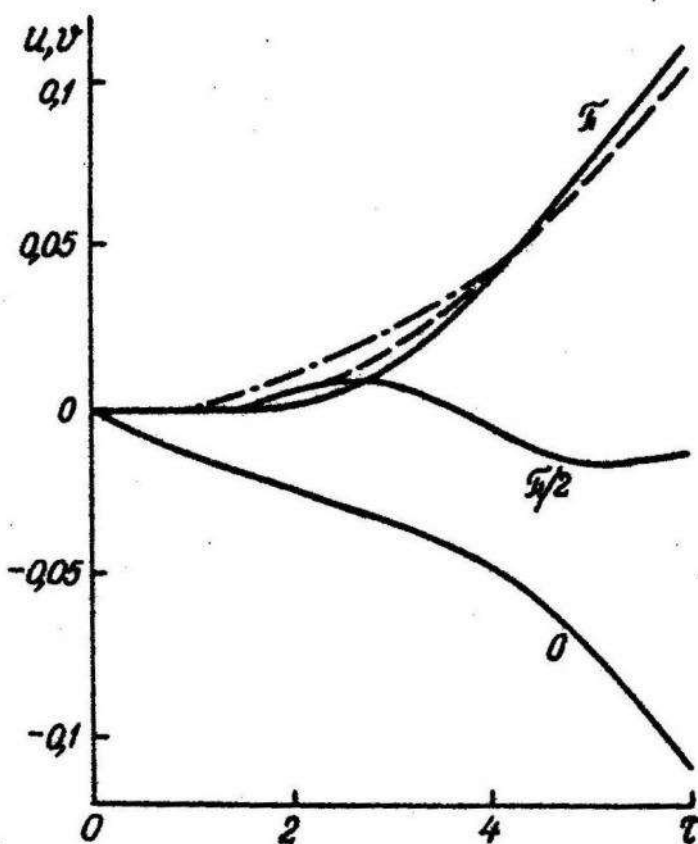


Рис. I.

Як видно з рис. I, початок зростання зміщень збігається з моментами приходу у відповідні точки пружної поздовжньої хвилі по циліндру. Монотонна зміна нормального зміщення  $u$  при  $\varphi = 0, \pi$  і тангенціального зміщення  $v$  при  $\varphi = \pi/2$  вказує на наявність зміщення циліндра як хорсткого цілого. Зміщення центра циліндра показано на рис. I штрих-пунктирною лінією. Цікаво відзначити, що для суцільного пружного циліндра зміщення його як хорсткого цілого все не описується первим членом розкладу нормального зміщення в ряд Фур'є, як це робиться у задачах гідропружності для циліндричних оболонок [4]. На рис. 2 зображені графіки прогинів зовнішньої поверхні суцільного циліндра, тобто графіки величини  $u - u_0 \cos \varphi$ , де  $u_0$  — зміщення центра циліндра, залежно від безрозмірного часу  $T$ .

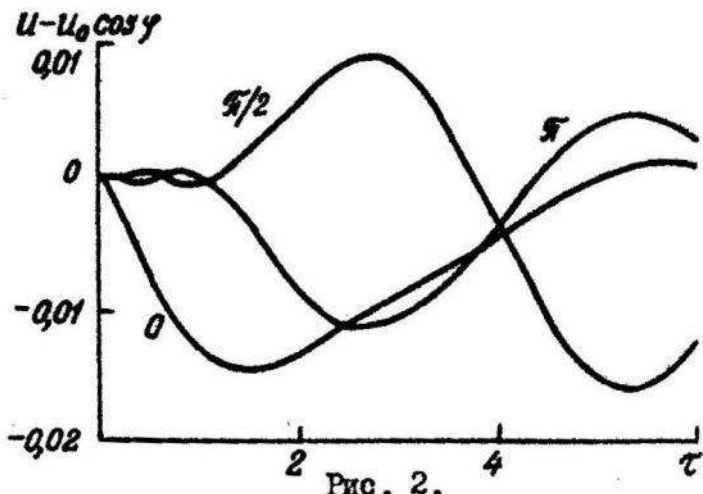


Рис. 2.

Аналіз деформації зовнішньої поверхні циліндра показує, що найбільших значень досягають прогини в точці зустрічі хвилі з циліндром. Суцільний пружний циліндр в перехідному процесі лишається стиснутим вздовж напрямку падіння хвилі тільки до моменту часу, поки акустична хвиля не досягне точки  $\varphi = \pi/2$  на поверхні циліндра, після чого циліндр витягується в цьому напрямку.

Список літератури: 1. Галазюк В.А., Горечко А.М. Про один метод розв'язування динамічних задач теорії пружності в сферичних та циліндричних координатах. - ДАН УРСР. Сер. А, 1980, № 6. 2. Горшков А.Г. Взаимодействие ударных волн с деформируемыми преградами. - Итоги науки и техники. Сер. Мех. деформ. тверд. тела, 1979, № 13. 3. Григорьев Э.И., Горшков А.Г. Нестационарная гидроупругость оболочек. - Л.: Судостроение, 1974. 4. Кубенко В.Д. Нестационарное взаимодействие элементов конструкций со средой. - Киев: Наукова думка, 1979.

Стаття надійшла в редколегію 13.01.81

І.А.Прокопішин, Д.Г.Хлебніков

## ЦИЛІНДРИЧНИЙ ЗГИН ПЛАСТИНИ НАГРІТИМ ШТАМПОМ

Огляд плоских контактних задач термопружності наведено у працях [1, 3]. На основі наближених рівнянь, отриманих операторним методом [2, 4, 5], ми дадимо розв'язок плоскої термоконтактної задачі згину пластини з врахуванням обтиску.

Нехай у вільно оперту по краях  $X = \pm C$  ізотропну пластину товщиною  $2h$  вдавлюється силовою  $P$  центрально прикладений нагрітий гладкий штамп, основа якого описується рівнянням  $y = f(x)$ . Контакт штампа з пластиной відбувається в зоні  $|x| < b$  ( $b < c$ ), де температура поверхні пластини  $y = h$  вважається заданою неперервною і симетричною функцією  $\theta(x)$ ,  $\theta(\pm b) = 0$ , на іншій частині контуру пластини температура дорівнює нулю.

Ця термоконтактна задача зводиться до послідовного розв'язання задачі термопружності для пластини і контактної задачі згину пластини коротким штампом з "основою"  $y = f(x) - W_t(x, h)$ , де  $W_t(x, h)$  — вертикальне переміщення поверхні пластини  $y = h$  викликане температурою.

Стационарне температурне поле  $t(x, y)$  пластини знаходитьться шляхом розв'язання крайової задачі для рівняння Лапласа в прямокутнику  $\{(x, y) / |x| \leq c, |y| \leq h\}$  при умовах

$$t(x, h) = \theta(x), \quad |x| \leq b; \quad t(x, h) = 0, \quad b < |x| \leq c; \quad /1/$$

$$t(x, -h) = 0, \quad |x| \leq c; \quad t(\pm c, y) = 0, \quad |y| \leq h.$$

Розв'язок цієї задачі легко одержати методом Фур'є. Він має вигляд

$$t(x, y) = \sum_{k=1,3,5}^{\infty} \left( \frac{sh \lambda_k y}{sh \lambda_k h} + \frac{ch \lambda_k y}{ch \lambda_k h} \right) d_k \cos \lambda_k x, \quad /2/$$

де  $d_k = \frac{1}{C} \int_0^C \theta(t) \cos \lambda_k t dt, \quad \lambda_k = \frac{k\pi}{2c}.$

Вертикальне переміщення  $W_T(x, h)$ , зумовлене температурним полем, знаходимо, використовуючи метод А.І.Лур'є [2]

$$W_T(x, h) = \alpha(1+\nu) \sum_{k=0,1,2,\dots}^{\infty} \frac{\alpha_k}{\lambda_k} (th\lambda_k h + ch\lambda_k h) \cos \lambda_k x, \quad /3/$$

де  $\alpha$  - коефіцієнт температурного розширення;  $\nu$  - коефіцієнт Пуассона.

З умови контакту при  $|x| \leq b$

$$W(x, h) = f(x) - W_T(x, h) - h\delta \quad /4/$$

/  $\delta$  - безрозмірна осадка штампа/ отримуємо наближене рівняння для визначення контактного тиску [4]

$$\frac{d^4 q}{d\xi^4} - \frac{\sqrt{21}}{4} \frac{d^2 q}{d\xi^2} + q = f_0(\xi), \quad /5/$$

де  $f_0(\xi) = \frac{D}{a_0^4 h^4} \frac{d^4}{d\xi^4} [f(a_0 h \xi) - W_T(a_0 h \xi, h)],$

$$D = \frac{2Eh}{3(1-\nu^2)}, \quad \xi = \frac{x}{a_0 h}, \quad a_0 = \frac{4}{\sqrt{3}} \sqrt[4]{21}$$

Розв'язок рівняння /5/ в області контакту  $|\xi| < \beta$  має вигляд

$$q(\xi) = \frac{D}{h^3} [A_1 ch \lambda \xi \cos \mu \xi + A_2 sh \lambda \xi \sin \mu \xi + q''(\xi)], \quad /6/$$

де

$$\lambda = \sqrt{\frac{1}{2}(1 + \frac{\sqrt{21}}{8})}, \quad \mu = \sqrt{\frac{1}{2}(1 - \frac{\sqrt{21}}{8})},$$

$$q''(\xi) = \frac{8}{\sqrt{43}} \frac{h^3}{D} \int_0^\xi [\lambda ch \lambda (\xi-t) \sin \mu (\xi-t) - \mu sh \lambda (\xi-t) \cos \mu (\xi-t)] dt$$

Після визначення  $q(\xi)$  функції напружень у залиші стиску і згину смуги  $X(\xi)$ ,  $\Psi(\xi)$  знаходяться з наближених рівнянь [4]

$$\frac{d^2 X}{d\xi^2} = g_1(\xi), \quad \frac{d^4 \Psi}{d\xi^4} = g_2(\xi), \quad /7/$$

де

$$g_1(\xi) = \frac{a_0^4 h}{2(1-\nu)} \left(1 - \frac{1}{3a_0^2} \frac{d^2}{d\xi^2}\right) \bar{q}(\xi);$$

$$\bar{q} = \frac{h^3}{D} q - \text{безрозмірний тиск.}$$

Розв'язки рівнянь /7/ з врахуванням симетрії по  $\xi$  записуємо

$$X(\xi) = B_0 h + \int (\xi - t) g(t) dt,$$

$$\Psi(\xi) = \frac{C_0 h}{2(1-\nu)} + \frac{Ch}{2(1-\nu)} \xi^2 + \int \frac{(\xi-t)^3}{6} g(t) dt.$$

/8/

Для визначення невідомих сталих, крім граничних умов на краю пластини й умови рівноваги штампа

$$\int_{-20}^{\beta} \bar{q}(\xi) d\xi = -\frac{\chi}{2a_0} \quad /9/$$

/  $\chi = \frac{Ph}{D}$  — безрозмірне зусилля/, використовуємо рівності, які забезпечують повне виконання умови безвідривного контакту /4/

$$C_0 - \frac{2}{a_0^2} C + \frac{2}{3} A_1 + \delta = \frac{1}{h} f_0(0),$$

$$C + \left[ \frac{7}{30} (\lambda^2 - \mu^2) - \frac{a_0^2}{2} \right] A_1 + \frac{7}{15} \lambda \mu A_2 = \frac{1}{2h} \frac{d^2 f_0}{d\xi^2}(0). \quad /10/$$

Умови вільного опирання пластини при  $X=C$  ( $M(C)=0, W(C+h)=0$ ) мають вигляд

$$\frac{2}{a_0^4} C - \int_0^\beta t \bar{q}(t) dt - \frac{\chi}{2a_0} \chi - \frac{1}{5a_0^2} \bar{q}(0) - \frac{11}{525a_0^4} \frac{d^2 \bar{q}}{d\xi^2}(0) = 0,$$

$$C_0 + \left( \gamma^2 - \frac{2}{a_0^2} \right) C + \int_0^\beta \left[ \frac{a_0^4}{6} (\gamma - t)^3 - \frac{4a_0^2}{5} (\gamma - t) \right] \bar{q}(t) dt + \\ + \left( \frac{94}{525} - \frac{a_0^2}{10} \gamma^2 \right) \bar{q}(0) - \frac{11}{1050} \gamma^2 \frac{d^2 \bar{q}}{d\xi^2}(0) = 0, \quad \gamma = \frac{C}{a_0 h}. \quad /11/$$

Якщо величина зони контакту  $\beta$  наперед невідома, то до-дається умова рівності нулю контактного тиску на краю зони контакту

$$A_1 \operatorname{ch} \lambda \beta \cos \mu \beta + A_2 \operatorname{sh} \lambda \beta \sin \mu \beta + \bar{q}^*(\beta) = 0. \quad /12/$$

Тоді, задаючись величиною  $\beta$ , маємо систему шести рівнянь /9/-/12/ для визначення невідомих  $A_1, A_2, C_0, C, \delta, \alpha$ .

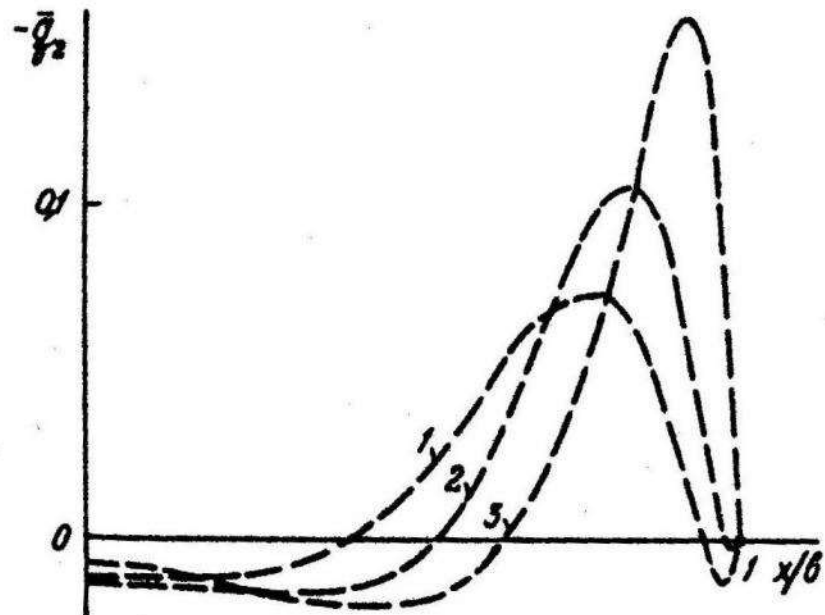


Рис. 1.

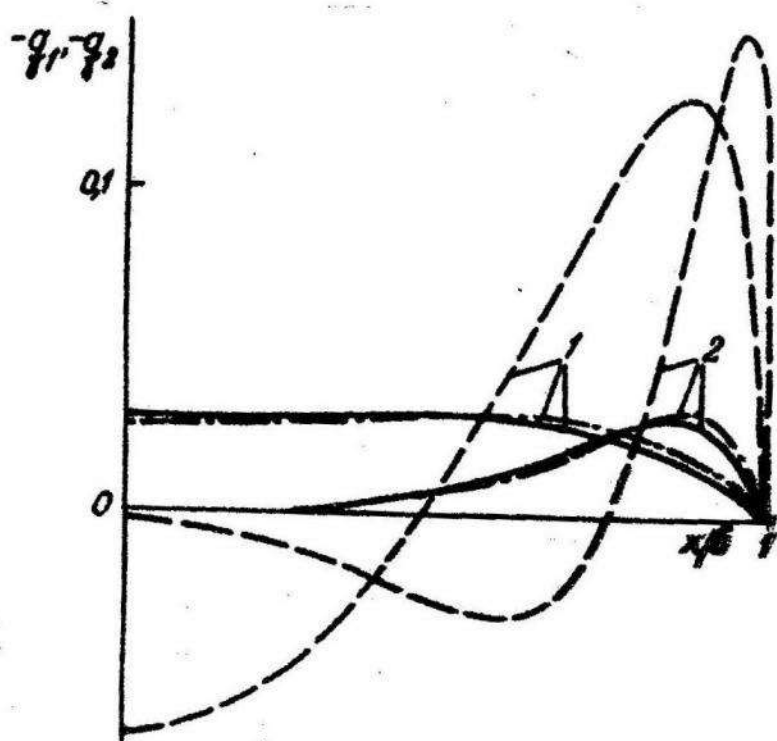


Рис. 2.

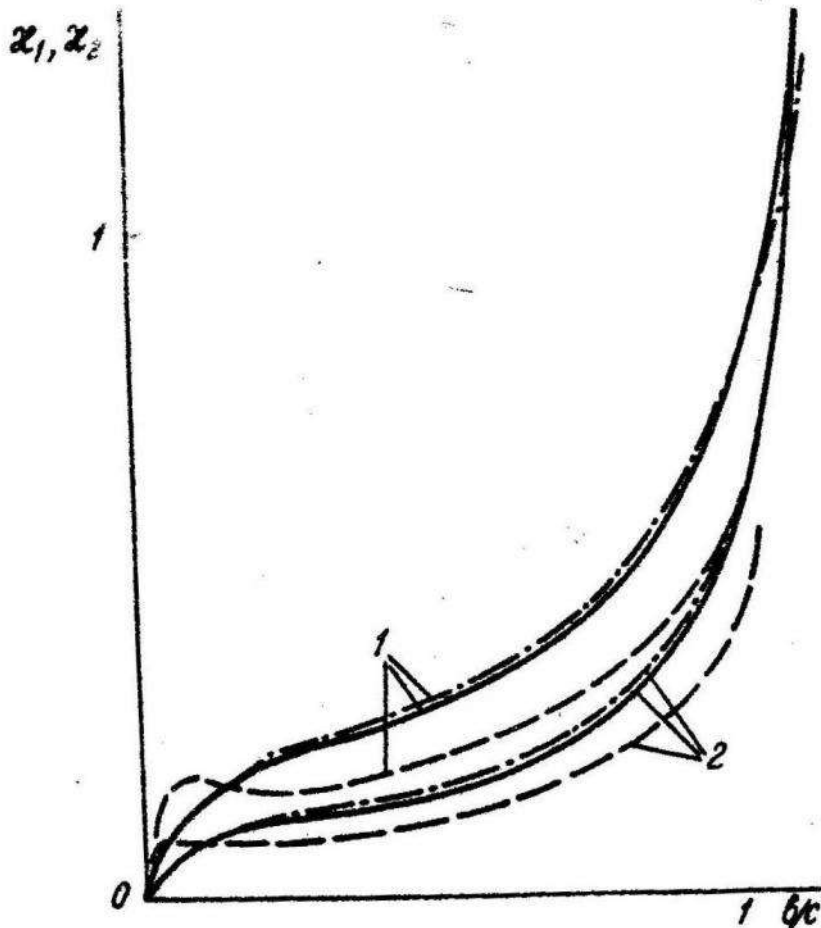


Рис. 3.

На рис. I-3 показані результати розрахунків для параболічного штампа  $f(x) = \frac{x^2}{2R}$ , ( $R$  - радіус кривини), при  $\theta_m(x) = \theta [1 - (\frac{x}{R})^m]$ ,  $m \in N$ ,  $\theta_\infty(x) = \theta = \text{const}$ . У цьому випадку контактний тиск  $\bar{q}$  і зусилля  $\mathfrak{X}$ , як добре видно з розрахункових формул, можна записати у вигляді

$$\bar{q} = h\bar{q}/R + \alpha(1+\nu)\theta\delta_2, \quad \mathfrak{X} = h\mathfrak{X}_2/R + \alpha(1+\nu)\theta\mathfrak{X}_2.$$

На рис. I-3 величини з індексом 1 нанесені суцільними лініями, а величини з індексом 2 - пунктирними. Штрих-пунктирною лінією нанесено точний розв'язок чисто силової контактної задачі [6].

На рис. I показано розподіл температурної компоненти контактного тиску  $\bar{q}_2$  для  $C/h = 10$ ,  $B/h = 5$  і  $m = 8, 12, \infty$  /криві I-3/.

На рис. 2 наведено розподіл компонент контактного тиску  $\bar{q}_1, \bar{q}_2$

при  $c/h=20$ ,  $m=\infty$  для різних величин зони контакту:

$B/h=2$  - криві I,  $B/h=6$  - криві 2.

Залежність компонент зусилля, прикладеного до штампа, від відносної величини зони контакту при  $m=\infty$  і  $c/h = 10, 20$  представлена на рис. 3 /криві I-2/. Вона дає змогу знаходити зону контакту за заданим зовнішнім навантаженням і температурою штампа. У випадку чисто силової контактної задачі ( $\theta(x)=0$ ) одержані криві майже не відрізняються від відповідальних кривих для точного розв'язку [6].

Список літератури: 1. Грильський Д.В., Попович Б.І. Плоскі контактні задачі термопружності. - Львів: Вища школа, 1973. 2. Лурье А.И. Пространственные задачи теории упругости. - М.: Гостехиздат, 1955. 3. Развитие теории контактных задач в СССР. - М.: Наука, 1976. 4. Хлебников Д.Г. О контакте пластин при цилиндрическом изгибе. - В кн.: Статика сооружений. Київ, 1978. 5. Хлебников Д.Г., Парашак А.Н. Контактная задача изгиба трансверсально-изотропной пластинки гладким штампом. - ДАН УССР, 1980, A, № 1. 6. Keer L.M., Silva M.A.G. *Bending of cantilever brought gradually into contact with cylindrical supporting surface*. Int. J. mech. Sci. Pergam. Press, 1970, v.12, N9.

Стаття надійшла в редколегію 24.04.81

УДК 539.681.3.057

І.І.Дияк, Я.Г.Савула, Г.А.Шинкаренко

РОЗРАХУНОК ТЕРМОПРУЖЕНЬ В ОСЕСИМЕТРИЧНИХ ТІЛЯХ  
НА ОСНОВІ МЕТОДУ СКІНЧЕНИХ ЕЛЕМЕНТІВ

Наша стаття присвячена побудові схем методу скінчених елементів /МСЕ/ і відповідного програмного забезпечення розв'язання квазистатичних задач термопружності для тіл обертання під дією силового і температурного полів. При цьому вважаємо, що температура зовнішнього середовища є функцією часу, а силове навантаження - постійне.

Задачу розглядаємо у квазістатичній постановці [1], тобто визначаємо температурне поле в даний момент часу і за відомим розподілом температур знаходимо деформацію та напруження, викликані зовнішнім навантаженням і нерівномірним нагрівом. Задачу нестационарної теплопровідності розв'язуємо з використанням методу Гальбокіна [2], а розв'язування задачі пружної рівноваги знаходимо з умов мінімуму загального функціоналу Лагранжа.

I. Побудуємо скінченнонімірний підпростір допустимих полів зміщень  $U = (u, v)$  і температур  $t$ .

Представимо меридіональний перетин  $\Omega$  тіла як сукупність трикутних елементів, що попарно не перетинаються. Виберемо кусково-лінійну базу  $\varphi_i(\tau, z)$  тестового підпростору  $V_N^h \subset W_2(\Omega)$  таким чином: 1/ кожній функції  $\varphi_i$  поставимо у відповідність вершину  $P_i$ , розбиття так, що  $\varphi_i(P_j) = \delta_{ij}$ , де  $\delta_{ij}$  - символ Кронекера; 2/ всі функції  $\varphi_i$  за виключенням тих, які відповідають вершинам  $P_i(\tau_i, z_i)$  елемента  $\Omega_e$ , перетворюються в нуль всюди на  $\Omega_e$ . Побудований простір  $V_N^h$  має наступну властивість апроксимації [3]: для кожної функції  $\omega \in W_2(\Omega)$  існує  $\omega^h \in V_N^h$  така, що

$$\|\omega - \omega^h\|_0 + h \|\omega - \omega^h\|_1 \leq ch^2 \|\omega\|_2,$$

де  $\|\cdot\|_k$  - норма простору Соболєва  $W_k(\Omega)$ ;  $h$  - параметр дискретизації. Після дискретизації по просторових змінних наближений розв'язок задачі шукаємо у вигляді

$$u = \sum_i u_i(\tau) \varphi_i(\tau, z), \quad /I.1/$$

$$v = \sum_i v_i(\tau) \varphi_i(\tau, z), \quad /I.2/$$

$$t = \sum_i t_i(\tau) \varphi_i(\tau, z). \quad /I.3/$$

2. Варіаційна постановка задачі нестационарного теплообміну при відсутності внутрішніх джерел тепла формується таким чином [2]:

знайти таку функцію  $t(z, \tau) \in W_2^1(\Omega)$ ,  $\tau \geq 0$ , яка задовільняє рівняння

$$(ct_i \varphi_i) + a(t_i \varphi_i) = [\alpha f, \varphi_i], \quad /2.1/$$

для  $\forall \varphi_i \in V$ . Тут  $(\cdot, \cdot)$ ,  $[\cdot, \cdot]$  - скалярні добутки в  $L_2(\Omega)$ ,  $L_2(\Gamma)$ ,

$a(u, v) = \iint_{\Omega} \lambda \left( \frac{\partial u}{\partial z} \frac{\partial v}{\partial z} + \frac{\partial u}{\partial z} \frac{\partial v}{\partial z} \right) dz dz + \int_{\Gamma} u v r dS$ ;  $\Gamma$  - частина границі області  $\Omega$ , через яку здійснюється теплообмін з зовнішнім середовищем;  $C$ ,  $\lambda$ ,  $\alpha$  - відповідно коефіцієнти теплосмисності, тепlopровідності, теплообміну;  $f$  - температура зовнішнього середовища. Підставляючи /1.3/ у рівняння /2.1/, приходимо до системи звичайних диференціальних рівнянь  $N$ -го порядку

$$M \ddot{q}_i(\tau) + K q_i(\tau) = F(\tau), \quad /2.2/$$

де  $M, K$  - постійні, додатно визначені матриці з елементами

$M_{ij} = (C \varphi_i, \varphi_j)$ ,  $K_{ij} = a(\varphi_i, \varphi_j)$ ;  $F(\tau)$  - вектор з компонентами  $F_i(\tau) = [\alpha f, \varphi_i]^T$ ;  $q = (q_1, q_2, \dots, q_N)$ ; явний вигляд коефіцієнтів матриць  $M, K$  і вектора  $F$  наведений у праці [4]. Початкові умови для системи /2.2/ визначаються як:

$$q_i(0) = t_0(z_i, z_i) \quad i=1, 2, \dots, N, \quad /2.3/$$

де  $t_0(z_i)$  - початковий розподіл температури в тілі. Одержана задача Коши інтегрується з допомогою схеми Кранка-Ніколсона. Детальний опис алгоритму розв'язання системи /2.2/, /2.3/, а також приклади розв'язаних задач тепlopровідності наведені у праці [4].

3. Шуканий вектор змішень  $U$  у довільний момент часу  $\tau > 0$  знаходимо з умови мінімуму узагальненого функціонала Лагранжа [1], який має вигляд

$$F(u, v) = C \iint_{\Omega} \left\{ \left[ \left( \frac{\partial u}{\partial z} \frac{\partial u}{\partial z} + \frac{\partial u}{\partial z} \frac{\partial u}{\partial z} \right) + \frac{\alpha}{\tau} \left( \frac{\partial u}{\partial z} + u \frac{\partial u}{\partial z} \right) \right] + \left[ b \frac{\partial u}{\partial z} \frac{\partial v}{\partial z} + \frac{\partial v}{\partial z} \frac{\partial u}{\partial z} \right] + \left[ \frac{\alpha}{\tau} u \frac{\partial v}{\partial z} + a \frac{\partial u}{\partial z} \frac{\partial v}{\partial z} + b \frac{\partial u}{\partial z} \frac{\partial v}{\partial z} \right] + \left[ \frac{\alpha}{\tau} \frac{\partial v}{\partial z} u + a \frac{\partial v}{\partial z} \frac{\partial u}{\partial z} + b \frac{\partial v}{\partial z} \frac{\partial u}{\partial z} \right] - 2 \gamma t \left[ u + \frac{\partial u}{\partial z} + \frac{\partial v}{\partial z} \right] \right\} dz dz - 2 \int_{\Gamma} \left[ u \cos(n, z) + v \sin(n, z) \right] P dz, \quad /3.1/$$

де  $D$  - границя області  $\Omega$ , на якій задане нормальне навантаження інтенсивності  $P$ ;

$$a = \frac{\nu}{1-\nu}; \quad b = \frac{1-2\nu}{2(1-\nu)}; \quad C_1 = \frac{E(1-\nu)}{(1+\nu)(1-2\nu)};$$

$\nu$  - коефіцієнт Пуассона;  $E$  - модуль Юга;  $\gamma = \alpha/(3\lambda + 2G)$ ,  $\lambda, G$  - коефіцієнти Ламе.

Умови мінімуму функціонала /3.1/ після підстановки формул /1.1/-/1.3/ приводять до системи алгебраїчних рівнянь для визначення вузлових значень зміщень

$$Qs = R, \quad /3.2/$$

де  $Q$  - матриця жорсткості;  $R$  - вектор навантаження;

$$S = (u_1, v_1, u_2, v_2, \dots, u_N, v_N).$$

Явний вигляд коефіцієнтів матриці жорсткості  $Q_{ij}$  і вектора навантаження  $R_i$  легко визначити з формули /3.1/. Їх обчислення на кожному елементі після деякого лінійного перетворення координат зводиться до інтегрування на стандартному трикутнику  $\Omega_e = \{x \geq 0, y \geq 0, x+y \leq 1\}$ . Система рівнянь /3.2/ розв'язується з використанням методу Гаусса.

Знайшовши таким чином розподіл температури та зміщень у кожному вузлі сітки дискретизації, визначаємо за відомими формулами напруження [1].

Цей алгоритм реалізований у вигляді комплексу Фортран-програм для ЕСМ БЕСМ-6.

Приклад I. Розв'язана тестова задача визначення теплових напружень у нескінченому циліндрі при конвективному обміні між його поверхнею і зовнішнім середовищем. Початкова температура циліндра  $t_0 = 323^\circ\text{C}$ , температура середовища  $f$  змінюється за законом  $f(\tau) = 823(1 + 0.5473 \cdot e^{-536\tau})$ , де  $\tau = \frac{at}{r^2}$  - безрозмірний час;  $a = 0.141$  - радіус циліндра;

$\alpha = 0,557 \cdot 10^{-7} \frac{M}{C}$  - коефіцієнт температуропровідності, критерій теплової подібності  $B_i = 15$ .

Теплові напруження у суцільному  
нескінченому циліндрі

	$t, c$	0,0	0,2	0,4	0,6	0,8	1,0
		95	90	82	78	54	-8
	I80	71	70	68	60	44	0,6
		71	69	66	59	39	0
$\sigma_z$	I28	II7	99	70	35		I
	540	I03	98	85	63	33	0
		98	90	78	58	32	0
		91	88	74	20	-88	-240
	I80	72	70	58	I3	-65	-240
		71	69	74	28	-51	-239
$\sigma_\theta$	II9	II0	71	9	-68	-152	
	540	I03	90	54	-5	-81	-159
		100	88	52	-10	-82	-160

Результати розв'язування цієї задачі наведені у таблиці. Перше число кожної графи - розв'язок, отриманий з використанням 10 елементів по радіусу циліндра, друге - 20 елементів, третє - точний розв'язок [I]. Як видно, у другому випадку одержано достатньо добре наближення до точного розв'язку. Відносна похибка у цьому випадку не перевищує 5%.

Приклад 2. За наведеною методикою визначені термонапруження в балоні кінескопа ІЗ-ЛН-5.

Температура кінескопа змінювалась внаслідок конвективного теплообміну з зовнішнім середовищем, температура якого змінювалась по закону

$$f(t) = \begin{cases} 40 + 1360t, & \text{якщо } 0 \leq t \leq 0,25, \\ 640 + 1040t, & \text{якщо } 0,25 \leq t \leq 0,5. \end{cases}$$

На внутрішній поверхні і торцях балона задані умови теплоізоляції. Початкова температура балона  $t_0 = 40^\circ\text{C}$ , теплофізичні та механічні характеристики скла

$$E = 6,4 \cdot 10^3 \frac{\text{кг}}{\text{мм}^2}, \quad \nu = 0,22, \quad d_b = 9,4 \cdot 10^{-6} \frac{\text{град}^{-1}}{\text{град}},$$

$$C = 4,864 \cdot 10^{-4} \frac{\text{кал}}{\text{мм}^2 \cdot \text{град}}, \quad \alpha = 4,093 \cdot 10^3 \frac{\text{кал}}{\text{мм} \cdot \text{град}}, \quad \lambda = 1,404 \frac{\text{кал}}{\text{мм}^2 \cdot \text{град}}.$$

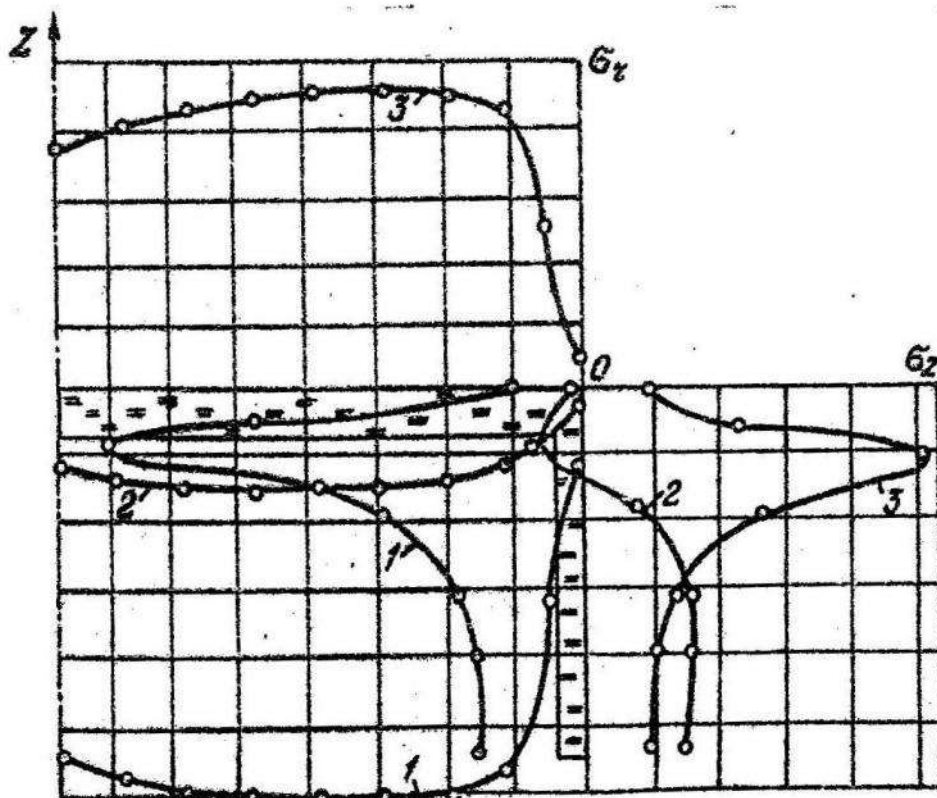


Рис. I.

Характер поведінки у часі розтягуючих теплових напружень  $\sigma_z$ ,  $\sigma_r$  на зовнішній і внутрішній поверхнях балона показаний на рис. I, 2.

Розподіл напружень у момент часу  $T_1 = 0,15$ ,  $T_2 = 0,3$ ,  $\zeta = 0,45$  показаний на рисунках відповідно кривими I-3.

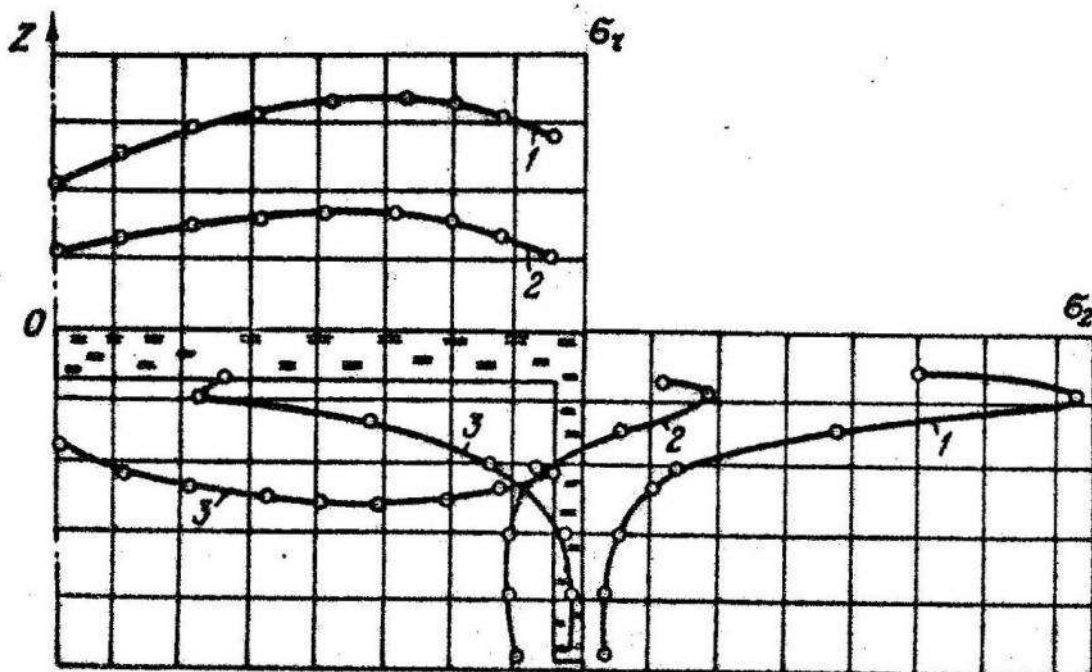


Рис.2.

Список літератури: 1. Коваленко А.Д. Термоупругість. - К.: Віща школа, 1975. 2. Михлін С.Г. Вариационные методы в математической физике. - М.: Наука, 1970. 3. Стренд Г., Фіксе Дж. Теория метода конечных элементов. - М.: Мир, 1977. 4. Шинкаренко Г.А., Григорян С.С., Дияк І.І. Чисельне дослідження нестационарного конвективного теплообміну методом скінчених елементів. - Вісн. Львів. ун-ту, сер. мех.-мат., 1980, вип. I6.

Стаття надійшла в редколегію 10.02.81

УДК 517.958

І.І.Дияк

### РЕАЛІЗАЦІЯ ВИСОКОТОЧНИХ СХЕМ МЕТОДУ СКІНЧЕННИХ ЕЛЕМЕНТІВ ДЛЯ ЗАДАЧ НЕСТАЦІОНАРНОЇ ТЕПЛООБМІННОСТІ

Описано алгоритм розв'язування задачі нестационарної теплоенергієвідносі та двомірних і осесиметричних тіл на основі методу скінчених елементів з використанням високоточних ізопараметричних елементів.

Використаємо схему методу скінчених елементів для задач тепло-проводності, яка описана у праці [3]. На основі цієї схеми задача знаходження температури у довільній точці тіла зводиться до інтегрування задачі Коші виду

$$M\dot{q}(\tau) + Kq(\tau) = F(\tau), \quad /1/$$

$$q(0) = T_0,$$

де  $M, K$  - постійні додатно визначені матриці з елементами  $M_{ij} = (c\gamma\varphi_i, \varphi_j)$ ,  $K_{ij} = \alpha(\varphi_i, \varphi_j)$ ;  $F(\tau)$  - вектор з компонентами  $f_i = [T_c, \varphi_i] + [\delta, \varphi_i]$ ;  $T_0$  - розподіл температури в початковий момент часу;  $q(\tau)$  - вектор вузлових значень температури в точках дискретизації в момент часу  $\tau$ ;  $T_c$  - температура зовнішнього середовища;  $\delta$  - функція внутрішніх джерел тепла;  $\varphi_i$  - координатні функції;  $\alpha$  - оператор [3],  $\dot{q}(\tau) = \frac{dq(\tau)}{d\tau}, (\cdot, \cdot), [\cdot, \cdot]$  - відповідно скалярні добутки в  $L_2(\Omega)$  і  $L_2(\Gamma)$ .

При інтегруванні /1/, скориставшись методом зважених залишків, одержимо систему лінійних алгебраїчних рівнянь

$$(M + \theta \Delta\tau K)q_{i+1} = [M - (1-\theta)\Delta\tau K]q_i + \Delta\tau [(1-\theta)F_i + \theta F_{i+1}] \quad /2/$$

$$q_0 = T_0, \quad i = 0, 1, \dots, \frac{\tau^*}{\Delta\tau},$$

тут  $\Delta\tau$  - крок інтегрування по часу,

$$q = q(i\Delta\tau), \quad F_i = F(i\Delta\tau), \quad \tau \in [0, \tau^*].$$

Якщо  $0 < \theta < \frac{1}{2}$ , то з /2/ одержуємо умовно стійкі схеми, при  $\theta = \frac{1}{2}$  - схему Кранка-Ніколсона, якщо  $\frac{1}{2} < \theta < 1$  - абсолютно стійкі нейтральні схеми.

Для послідовного розв'язування системи виду /2/ використовуємо метод Холецького, який дає змогу в процесі обчислень зберегти стрічкову структуру матриць і значно зменшити кількість арифметичних операцій [3].

На відміну від праці [3], область меридіального перетину  $\Omega$  представляємо у вигляді набору чотирикутників, внутрішності яких взаємно не перетинаються.

Для апроксимації невідомої температури в межах чотирикутного елемента

$$T = \sum_i q_i(\tau) \varphi_i(\tau, z) \quad /3/$$

використовуємо поліноми  $\varphi_i(\tau, z)$  різних порядків білінійний, біквадратичний, бікубічний. Дослідження проводили з елементами середньового типу [1] з чотирма, вісімома та дванадцятьма вузлами інтерполяції.

Елементи матриць системи /1/ обчислювали з використанням ізопараметричної апроксимації координат. Відображаючи кожен елемент розбиття на стандартний  $\Omega_e = \{(\xi, \eta) : |\xi| < 1, |\eta| < 1\}$ , одержуємо вирази для коефіцієнтів матриць

$$\begin{aligned} K_{ij}^e &= \iint_{\Omega_e} \lambda X_i^T X_j \tau d\tau dz + \int_{\Gamma_e} \alpha \psi_i^T \psi_j \tau d\Gamma = \\ &= \iint_{\Omega_e} \lambda Y_i^T (\bar{A}') \bar{A}' Y_j \tau d\xi d\eta + \int_{\Gamma_e} \alpha \psi_i^T \psi_j \sqrt{\tau'^2 + z'^2} \tau dt, \\ M_{ij}^e &= \iint_{\Omega_e} c \tau \psi_i \psi_j \tau d\tau dz = \iint_{\Omega_e} c \tau \psi_i \psi_j \tau d\tau d\xi d\eta, \\ F_i^e &= \int_{\Gamma_e} \alpha T_c \psi_i \tau d\Gamma + \iint_{\Omega_e} \delta \psi_i \tau d\Omega = \\ &= \int_{\Gamma_e} \alpha T_c \psi_i \sqrt{\tau'^2 + z'^2} \tau dt + \iint_{\Omega_e} \delta \psi_i \tau d\tau d\xi d\eta, \end{aligned} \quad /4/$$

просумувавши по всіх елементах  $e$ , в які входять вузли  $i, j$ ,

запишемо

$$K_{ij} = \sum_e K_{ij}^e, \quad M_{ij} = \sum_e M_{ij}^e, \quad F_i = \sum_e F_i^e,$$

де

$$x_i = \left( \frac{\partial \psi_i}{\partial \tau}, \frac{\partial \psi_i}{\partial z} \right)^T; \quad y_i = \left( \frac{\partial \psi_i}{\partial \xi}, \frac{\partial \psi_i}{\partial \eta} \right)^T;$$

$A$  - матриця Якобі переходу від глобальної системи координат  $(\tau, z)$  до локальної  $(\xi, \eta)$ ;  $\Delta = \det A = \frac{\partial \tau}{\partial \xi} \frac{\partial z}{\partial \eta} - \frac{\partial \tau}{\partial \eta} \frac{\partial z}{\partial \xi}$ ;

$\Psi_{i_1}$  - функції з компактним носієм, які використовують для апроксимації елемента дуги кривої. Для чотирикутника з чотирма вузлами інтерполяції вони мають вигляд:

$$\Psi_{i_1} = \frac{1}{2}(1-t), \quad \Psi_{i_2} = \frac{1}{2}(1+t) ;$$

з вісімома вузлами

$$\Psi_{i_1} = \frac{1}{2}(1-t)t, \quad \Psi_{i_2} = (1-t)(1+t), \quad \Psi_{i_3} = \frac{1}{2}(1+t)t;$$

з дванадцятьма вузлами

$$\Psi_{i_1} = -\frac{9}{16}(t+\frac{1}{3})(t-\frac{1}{3})(t-1),$$

$$\Psi_{i_2} = \frac{9}{16}(t+1)(t+\frac{1}{3})(t-\frac{1}{3}),$$

$$\Psi_{i_3} = \frac{27}{16}(t+1)(t-\frac{1}{3})(t-1),$$

$$\Psi_{i_4} = -\frac{27}{16}(t+1)(t+\frac{1}{3})(t-1).$$

Таким чином, обчислення коефіцієнтів матриць системи зводиться до обчислення на стандартному чотирикутнику  $\Omega_0$  або відрізку  $|t| \leq 1$  інтегралів  $/4/$ , які знаходили за допомогою квадратурної формулі Гауса. Для білінійного, біквадратичного та бікубічного заходів апроксимації використовували відповідно формулі Гауса другого, третього й четвертого порядку.

Слід відмітити, що матриця  $M$  і вектор  $F$  аналогічні тим, які одержують при розв'язуванні задачі стаціонарної теплопровідності.

Описаний вище алгоритм для розв'язування задач стаціонарної і нестаціонарної теплопровідності реалізований у вигляді комплексу Фортран-програм для ЕОМ БЭСМ-6. Алгоритм розв'язування аналогічних задач зі застосуванням трикутних елементів і лінійної ітерації невідомих функцій на них описаний у праці [3].

Досвід використання трикутних скінчених елементів показав, що для одержання достатньо точних результатів необхідно: використовувати досить густі сітки скінчених елементів, що приводить до потреби у зовнішніх замкуючих пристроях на магнітних бараба-

нах /МБ/ чи магнітних дисках /МД/; здійснювати серію розрахунків на різних сітках дискретизації; порівняно великий час роботи ЕОМ.

Використання ізопараметричних скінчених елементів має ряд переваг. Наявність криволінійних сторін в елементах дає змогу достатньо точно на досить грубих сітках наблизити криволінійні ділянки досліджуваних областей. Високі порядки апроксимацій сприяють одержанню результатів з необхідною точністю на рідких сітках, використовуючи менший обсяг оперативної пам'яті /ОП/ і менший час роботи ЕОМ.

За допомогою цього комплексу можна досягти необхідної точності наближеного розв'язку за рахунок  $h$  - збіжності /зменшення величини діаметра розбиття/, а також  $\rho$  - збіжності /підвищення точності за рахунок збільшення порядку апроксимуючих функцій/.

ОП ЕОМ при роботі комплексу розподіляється динамічно, тобто програмні модулі завантажуються на одне і те ж місце ОП. Всі матриці системи зберігаються стрічковим способом і, враховуючи їх симетричність, лише наддіагональні члени. Процес розв'язання задачі нестационарної тепlopровідності прививається тоді, коли температурне поле стає стаціонарним або досягається верхня межа інтервалу зміни часу.

Нижче наведені результати деяких чисельних досліджень. Розв'язана задача наведена у праці [3] з використанням чотирикутних ізопараметричних елементів. Якщо з використанням трикутних скінчених елементів для досягнення похибки менше 2% необхідно було 32 елементи, та такої ж точності можна досягти використовуючи вісім чотирикутних елементів з білінійною або чотири елементи з біквадратичною чи три з бікубічною апроксимацією температури. При цьому значно зменшився порядок системи рівнянь, а також скоротився час рахунку на ЕОМ.

У таблиці наведені результати розв'язування задачі про нагрів суцільного циліндра [2]. Температура циліндра в початковий момент

часу  $T_0 = 323 K$ . Температура зовнішнього середовища змінюється за законом

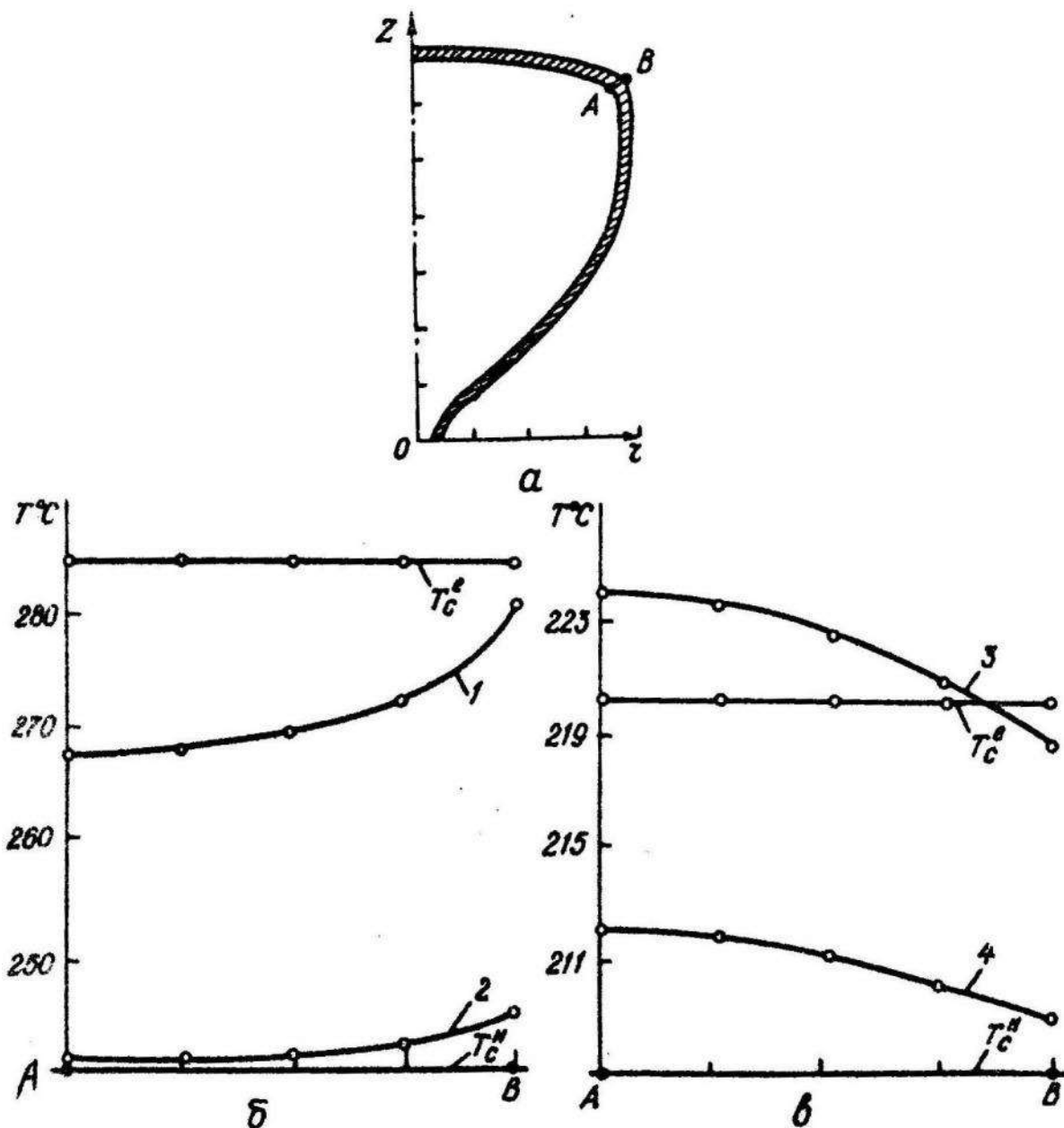
$$T_c = 823 (1 + 0,5473 e^{-\frac{53,67}{T}}).$$

#### Нагрів супільного циліндра

$\tau, c$	0,0	$\tau$	0,5	1
180	328		337	737
	327		351	712
	328		358	708
	316		365	709
	324		355	709
	314		462	682
360	358		449	769
	365		452	770
	373		455	769
	361		452	770
540	583		487	1056
	434		535	788
	438		536	487
	442		537	487
	436		537	487

$$\text{Коефіцієнт температуропровідності } \alpha = \frac{\lambda}{c\gamma} = 0,557 \cdot 10^{-5} \frac{M^2}{c},$$

критерій теплової подібності  $Bi = 15$ , радіус циліндра  $\tau = 0,141$  м. Величина кроку за часом  $\Delta t = 60$  с. При розв'язуванні /2/ верхнє число кожної графі відповідає  $\theta = \frac{1}{3}$ , друге -  $\theta = \frac{1}{2}$  /схема Кранка-Ніколсона/, третє -  $\theta = \frac{2}{3}$ ; четверте -  $\theta = 0,875$ , останнє - значенню точного розв'язку із праці [2]. Як видно із таблиці, для такого великого кроку за часом схема при  $\theta = \frac{1}{3}$  розбіжна. Найкращі наближення дає схема при  $\theta = \frac{2}{3}$ . При кроці за часом  $\Delta t = 1$  с на основі всіх схем одержуємо розв'язок, який відрізняється від точного менше, ніж на 2%.



На рисунку показаний розподіл температури в періоді АВ балона кінескопа 6І ЛКЗЦ /рисунок, а/ в момент часу  $\tau = 1980\text{с}$  /рисунок, б/ і  $\tau = 3600\text{с}$  /рисунок, в/. Коєфіцієнт температурної залежності  $a = 0,802 \frac{\text{ММ}^2}{\text{с}}$ . Температура зовнішнього середовища застосовується за законом:

на екрані балона

$$T_c^e = \begin{cases} 40 + 27\tau / 198, & \text{якщо } 0 \leq \tau \leq 1980\text{с}, \\ 340 - 19(\tau - 1980) / 342, & \text{якщо } 1980\text{с} \leq \tau \leq 5400\text{с}; \end{cases}$$

у нижній його частині

$$T_c^H = \begin{cases} 40 + 22\tau / 198, & \text{якщо } 0 \leq \tau \leq 1980 \text{с}, \\ 260 - 11(\tau - 1980) / 342, & \text{якщо } 1980 \text{с} < \tau \leq 5400 \text{с}. \end{cases}$$

По осі  $\theta$  вздовж меридіонального перетину температура змінювалась за лінійним законом. Хоча товщина балона кінескопа невелика, розподіл температур по товщині має характер складніший від лінійного. Було прораховано два варіанти задачі:  $T_c^e$  і  $T_c^H$  мінялися місцями. Криві 1, 3 - значення температури, якщо  $T_c^e > T_c^H$ , криві 2, 4 - температура, якщо  $T_c^e < T_c^H$ .

Автор вдячний Г.А.Шинкаренку за обговорення результатів роботи.

Список літератури: 1. Зенкевич О. Метод конечных элементов в технике. - М.: Мир, 1975. 2. Коваленко А.Л. Термоупругость. - К.: Выща школа, 1975. 3. Шинкаренко Г.А., Григорян С.С., Дияк І.І. Чисельне дослідження нестационарного конвективного теплообміну методом окінчених елементів. Вісн. Львів. ун-ту, сер. мех.-мат., 1980, вип. 16.

Стаття надійшла в редколегію 21.02.81

УДК 539.3

В.Д.Вовк, Г.А.Шинкаренко

РОЗВ'ЯЗУВАННЯ ОСЕСИМЕТРИЧНИХ ЗАДАЧ ТЕОРІЇ ПРУЖНОСТІ  
МЕТОДОМ СКІНЧЕНИХ ЕЛЕМЕНТІВ

Нехай напруженно-деформований стан тіла обертання, яке віднесено до циліндричної системи координат  $(z, \theta, z)$  не залежить від змінної  $\theta$ . Припустимо, що меридіанний перетин тіла  $\theta = \text{const}$  займає обмежену зв'язну область  $\Omega$  з кусково-гладкою границею  $\partial\Omega$ . Тоді розв'язування задачі теорії пружності зводиться до знаходження вектора зміщень  $S = (u, v)$ , який задовільняє рівняння рівноваги

рн [1]

$$\begin{cases} -\frac{1}{2} \frac{\partial}{\partial r} (\tau \phi_{rr}) + \frac{1}{2} G_{\theta\theta} - \frac{\partial}{\partial z} G_{rz} - F_r = 0, \\ -\frac{1}{2} \frac{\partial}{\partial r} (\tau G_{rz}) - \frac{\partial}{\partial z} G_{zz} - F_z = 0 \end{cases} /1/$$

в області  $\Omega$  і крайові умови

$$u = \hat{u}, \quad v = \hat{v} \quad \text{на } \partial\Omega_1, \quad /2/$$

$$\begin{cases} \phi_{rr} \cos(n, r) + \phi_{rz} \cos(n, z) = f_r \\ G_{rz} \cos(n, r) + G_{zz} \cos(n, z) = f_z \end{cases} \quad \text{на } \partial\Omega_2. \quad /3/$$

Тут  $U = U(r, z)$ ,  $V = V(r, z)$  – компоненти зміщення точки  $(r, z)$  вздовж осей відповідно  $Oz, Oz$ ;  $F = (F_r, F_z)^T$  – заданий вектор масових сил;  $\hat{U}, \hat{V}$  – задані компоненти зміщень на  $\partial\Omega_1$ ;  $f = (f_r, f_z)^T$  – задані поверхневі навантаження на  $\partial\Omega_2$ ;  $n$  – напрям зовнішньої нормалі до  $\partial\Omega$ . Ненульові компоненти тензора напруження, що фігурують у рівняннях /1/-/3/, пов’язані зі складовими зміщень наступними співвідношеннями:

$$\begin{aligned} G_{rr} &= \lambda \operatorname{div} S + 2\mu \frac{\partial u}{\partial r}, \quad G_{\theta\theta} = \lambda \operatorname{div} S + 2\mu \frac{u}{r}, \\ G_{zz} &= \lambda \operatorname{div} S + 2\mu \frac{\partial v}{\partial z}, \quad \phi_{rz} = \mu \left( \frac{\partial u}{\partial z} + \frac{\partial v}{\partial r} \right), \end{aligned} \quad /4/$$

де  $\lambda, \mu$  – коефіцієнти Ляме.

Крайову задачу /1/-/3/ в варіаційній постановці можна сформулювати таким чином: серед усіх векторів таких, що задовольняють умову /2/ і  $u, v \in W_2^1(\Omega)$ , знайти такий, який задоволяє варіаційне рівняння

$$a(S, t) = \langle F, t \rangle + [f, t] \quad \forall t \in H, \quad /5/$$

де  $H$  – енергетичний простір оператора крайової задачі /1/-/3/

$$H = \left\{ t = (p, q)^T : p = 0, q = 0 \text{ на } \partial\Omega_1, p, q \in W_2^1(\Omega) \right\} \quad /6/$$

зі скалярним добутком

$$\begin{aligned} a(S, t) &= \iint_{\Omega} \left[ \left( 2\mu \left( \frac{\partial u}{\partial r} \frac{\partial p}{\partial r} + \frac{\partial u}{\partial z} \frac{\partial p}{\partial z} \right) + \lambda \frac{1}{r} \frac{\partial}{\partial r} (ru) \frac{\partial}{\partial r} (rp) \right) + \right. \\ &\quad \left. + \left( 2\mu \left( \frac{\partial v}{\partial z} \frac{\partial q}{\partial z} + \frac{\partial v}{\partial r} \frac{\partial q}{\partial r} \right) + \lambda \frac{1}{z} \left( \frac{\partial q}{\partial z} \frac{\partial}{\partial z} (vz) + \frac{\partial v}{\partial z} \frac{\partial}{\partial z} (qz) \right) \right) \right] + \end{aligned}$$

$$+ \left[ 2\mu \left( \frac{\partial v}{\partial r} \frac{\partial q}{\partial r} + \frac{\partial v}{\partial z} \frac{\partial q}{\partial z} \right) + \lambda \frac{\partial v}{\partial z} \frac{\partial q}{\partial z} \right] r dr dz; \quad /7/$$

$\langle \cdot, \cdot \rangle$  і  $[\cdot, \cdot]$  - скалярні добутки в  $L_2(\Omega) \times L_2(\Omega) \cap L_2(\partial\Omega) \times L_2(\partial\Omega)$ .

Зобразимо область  $\Omega$  у вигляді об'єднання криволінійних чотирикутників, внутрішності яких попарно не перетинаються, але їх границі можуть мати спільну сторону або вершину. Кожен чотирикутний елемент віднесемо до криволінійної системи координат  $(\alpha, \beta)$  так, що  $|\alpha| \leq 1, |\beta| \leq 1$ . Якщо функція  $g(\alpha, \beta)$  визначена на такому елементі, то апроксимуватимемо її одним з наступних інтерполяційних поліномів  $g_m(\alpha, \beta)$   $m = 1, 2, 3$ :

$$1/ g_1(\alpha, \beta) = \sum_{i,j=t_1}^t \frac{1}{4} (1+i\alpha)(1+j\beta)(\alpha+j\beta-1) g(i, j), \quad /8/$$

якщо інтерполовання здійснюється за значеннями функції у вершинах чотирикутника;

$$2/ g_2(\alpha, \beta) = \sum_{i,j=t_1}^t \left\{ \frac{1}{4} (1+i\alpha)(1+j\beta)(\alpha+j\beta-1) g(i, j) + \right. \\ \left. + \frac{1}{2} (1+K\alpha+n\beta)(1-n\alpha^2-K\beta^2) g(K, n) \right\}, \quad /9/$$

коли інтерполовання здійснюється за значеннями функції у вершинах чотирикутника та серединах його сторін;

$$3/ g_3(\alpha, \beta) = \sum_{i,j=t_1}^t \left\{ \frac{1}{32} (1+i\alpha)(1+j\beta)[9(\alpha^2+\beta^2)-10] g(i, j) + \right. \\ \left. + \frac{9}{32} (1+K\alpha+n\beta)(1-n\alpha^2-K\beta^2)(1+3n\alpha-3K\beta) g(i, j_1) + \right. \\ \left. + \frac{9}{32} (1+K\alpha+n\beta)(1-n\alpha^2-K\beta^2)(1-3n\alpha+3K\beta) g(i_2, j_2) \right\}, \quad /10/$$

якщо вузлами інтерполовання служать вершини і точки поділу сторін елемента на три рівні частини.

У виразах /9/, /10/ прийнято

$$K = \frac{i-j}{2}; n = \frac{i+j}{2}; i_1 = \frac{2i-j}{3}; j_1 = \frac{i+2j}{3}; i_2 = \frac{i-2j}{3}; j_2 = \frac{2i+j}{3}.$$

Наведені поліноми лише формою запису відрізняються від інтерполяцій середньового типу і усічено використовуються як для апрокси-

масій невідомих зміщень, так і основних координат  $\bar{z}, \bar{z}$  у межах кожного елемента [2].

На основі поліномів /8/-/10/ будується скінченно-вимірні простори  $V_m$  кусково-поліноміальних функцій, які володіють наступною властивістю апроксимації: для кожної функції  $v \in W_2(\Omega)$  існує  $V \in V_m$  така, що

$$\sum_{i=0}^m h^i \|v - V\|_i \leq Ch^{m+1} \|v\|_{m+1}. \quad /11/$$

де  $\|\cdot\|_k$  - норма у просторі Соболєва  $W_k(\Omega)$ ,  $C > 0$  ;

$h$  - максимальний з діаметрів серед всіх елементів розбиття;

$m$  - порядок поліному. Відзначимо, що в межах кожного елемента можна наближено записати

$$u = \sum_{i=1}^m u^i \varphi_i(\alpha, \beta) = \varphi \bar{u} \quad v = \sum_{i=1}^m v^i \varphi_i(\alpha, \beta) = \varphi \bar{v}$$

$$z = \sum_{i=1}^m z^i \varphi_i(\alpha, \beta) = \varphi \bar{z} \quad \bar{z} = \sum_{i=1}^m \bar{z}^i \varphi_i(\alpha, \beta) = \varphi \bar{\bar{z}}, \quad /12/$$

де  $u^i, v^i, z^i, \bar{z}^i$  - вузлові значення зміщень і координат;

$\varphi_i = \varphi_i(\alpha, \beta)$  - функції, що визначаються виразами /8/-/10/,  $N=4$ , 8, 12.

Використовуючи рівняння /5/ та апроксимації /12/ на основі методики [3], дістаємо основні співвідношення методу скінчених елементів. Якщо вузлові значення зміщень на елементі представлені вектором  $(\bar{u}, \bar{v}, \bar{z})$ , то матриця жорсткості елемента складається з блоків  $K_{ij} / i, j = 1, 2 /$  розміру  $N \times N$ , кожен з яких визначається виразами

$$K_{11} = \iint_{-1-1}^{1-1} \left[ 2\mu \left( \frac{\partial \varphi}{\partial z} \frac{\partial \varphi}{\partial z} + \frac{1}{z^2} \varphi \varphi + \frac{\partial \varphi}{\partial z} \frac{\partial \varphi}{\partial z} \right) + \lambda \frac{1}{z^2} \frac{\partial}{\partial z} \left( z \varphi \right) \frac{\partial}{\partial z} \left( z \varphi \right) \right] z \alpha dz d\beta,$$

$$K_{12} = \iint_{-1-1}^{1-1} \left[ 2\mu \frac{\partial \varphi}{\partial z} \frac{\partial \varphi}{\partial z} + \lambda \frac{1}{z} \frac{\partial}{\partial z} \left( z \varphi \right) \frac{\partial}{\partial z} \left( z \varphi \right) \right] z \alpha dz d\beta = K_{21}^T,$$

$$K_{22} = \iint_{-1-1}^{1-1} \left[ 2\mu \left( \frac{\partial \varphi}{\partial z} \frac{\partial \varphi}{\partial z} + \frac{\partial \varphi}{\partial z} \frac{\partial \varphi}{\partial z} \right) + \lambda \frac{\partial \varphi}{\partial z} \frac{\partial \varphi}{\partial z} \right] z \alpha dz d\beta, \quad /13/$$

де похідні по основних координатах обчислюються за формулами:

$$\frac{\partial}{\partial r} = \frac{1}{\Delta} \left( \frac{\partial z}{\partial \beta} \frac{\partial}{\partial \alpha} - \frac{\partial z}{\partial \alpha} \frac{\partial}{\partial \beta} \right),$$

$$\frac{\partial}{\partial z} = \frac{1}{\Delta} \left( -\frac{\partial r}{\partial \beta} \frac{\partial}{\partial \alpha} + \frac{\partial r}{\partial \alpha} \frac{\partial}{\partial \beta} \right), \quad \Delta = \frac{\partial r}{\partial \alpha} \frac{\partial z}{\partial \beta} - \frac{\partial r}{\partial \beta} \frac{\partial z}{\partial \alpha}.$$

Компоненти вектора навантаження  $R = (R_1, R_2)^T$ , що відповідають масовим силам, знаходять як

$$R_1 = \iint_{-1-1}^{+1+1} F_r \varphi^T r \Delta da d\beta, \quad R_2 = \iint_{-1-1}^{+1+1} F_z \varphi^T r \Delta da d\beta. \quad /14/$$

Якщо сторона елемента, скажімо  $\beta = I$ , лежить на границі  $\partial \Omega_2$ ,

на яку діє нормальне навантаження інтенсивності  $f$ , тоді

$f_r = f \cos(\pi, r)$ ,  $f_z = f \sin(\pi, r)$  і до компонент  $R_1, R_2$  вектора навантаження необхідно додати інтегали

$$- f \int_{-1}^{+1} \varphi^T \frac{\partial z}{\partial \alpha} r da, \quad f \int_{-1}^{+1} \varphi^T \frac{\partial r}{\partial \alpha} r da. \quad /15/$$

Значення коефіцієнтів матриць жорсткості і векторів навантаження обчислюються за квадратурними формулами Гаусса. При цьому, оскільки вид базисних функцій  $\varphi$  не залежить від геометрії конкретного елемента, один раз і назавжди ці функції разом зі своїми першими похідними табулюються у вузлах квадратурної формули. Відзначимо також, що при інтегруванні у виразах /14/, /15/ доцільно замінити масові сили та поверхневі навантаження інтерполяційними поліномами виду /8/-/10/. Цей прийом дає змогу виконати чисельне інтегрування.

Описаний алгоритм МСЕ реалізований у вигляді комплексу Фортран-програм для ЕОМ, за допомогою якого можна: 1/ автоматично будувати чотирикутні сітки скінчених елементів; 2/ нумерувати вузли таким чином, щоб мінімізувати ширину стрічок матриці системи рівнянь МСЕ; 3/ використовувати апроксимації виду /8/-/10/ і квадратурні формулі Гаусса різних порядків; 4/ розгляувати системи рівнянь МСЕ з використанням зовнішньої пам'яті; 5/ обчислювати головні напруження та їх напрямки у вузлах сітки та вузлах квадратурних формул і т.п.

Наведемо деякі результати чисельних досліджень. Для вияснення характеру збіжності наближених розв'язків залежно від густини сітки та порядку апроксимації на елементі розв'язували задачу про пружну рівновагу жорстко защемленої нетонкої пластини з радіусом  $R=1$  і товщиною  $h = 0,3$  під дією постійного тиску інтенсивності  $P$ . Коефіцієнт Пуассона матеріалу пластини  $\nu = 0,3$ . У таблиці наведено деякі результати розрахунків. У першій графі поміщені розв'язок, одержаний з використанням апроксимації /8/ на сітці з  $8 \times 20$  елементів, другий – розв'язок з апроксимацією /9/ на сітці  $4 \times 10$  елементів, третій та четвертий – розв'язок з апроксимацією /10/ відповідно на сітках  $2 \times 5$  і  $4 \times 10$  елементів. Витрати машинного часу для кожного випадку становлять 70, 50, 30, 150 с.

#### Розрахункові зміщення і напруження в пластині

$(\zeta, \varepsilon)$	$U_x \cdot 10^3 \frac{E}{\rho}$	$U_y \cdot 10^3 \frac{E}{\rho}$	$-\phi_z \times 10^3 / \mu$	$-\phi_\theta \times 10^3 / \rho$	$-\phi_z \times 10^3 / \rho$
0.2, 0.3	736	7943	554	580	153
	739	8017	542	564	106
	735	7938	534	556	96
	739	8030	538	561	100
0.6, 0.3	I470	4083	81	311	139
	I478	4128	95	310	III
	I473	4068	98	292	I04
	I490	4136	97	308	98

Результати, наведені у таблиці, ілюструють поведінку наближених розв'язків у характерних точках навантаженої поверхні з радіальними координатами  $\zeta/R = 0.2, 0.6$ . Відзначимо, що у розглядуваних точках точне значення  $\phi_z / \rho = -1$ . Найбільш точні характеристики розв'язку дістають з використанням апроксимації /10/, але вона вимагає дещо більших затрат машинного часу на реалізацію.

На рис. 1, 2 показано епюру розподілу меридіанних  $\phi_1$  і кільцевих  $\phi_2$  напружень у точках зовнішньої поверхні балона кінескопа 51 лі. Балон навантажено зовнішнім тиском інтенсивності  $P$ .

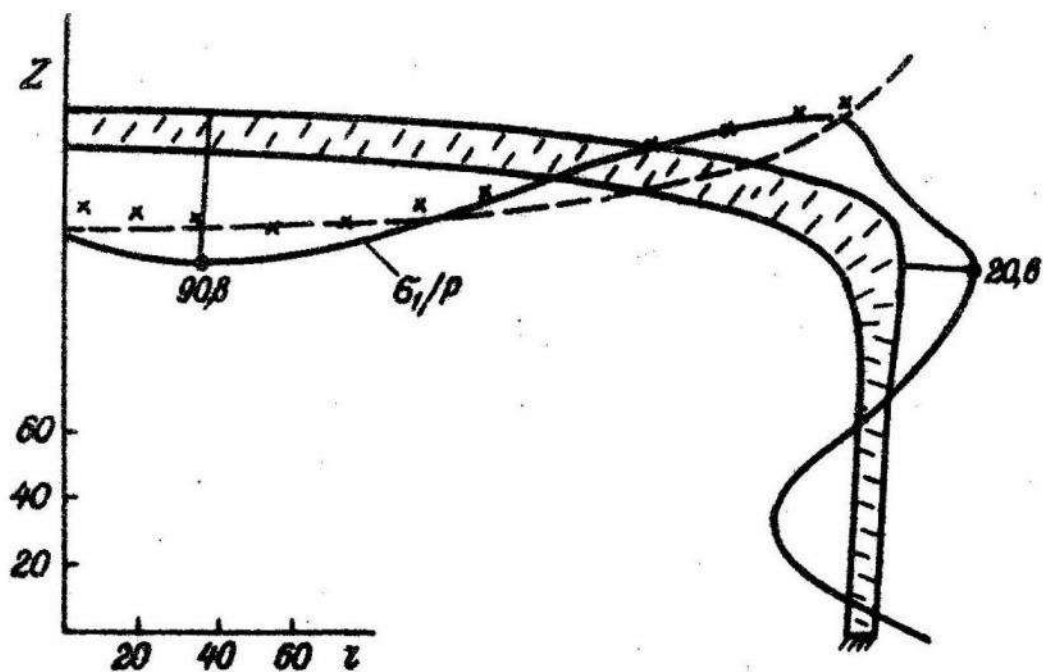


Рис.1.

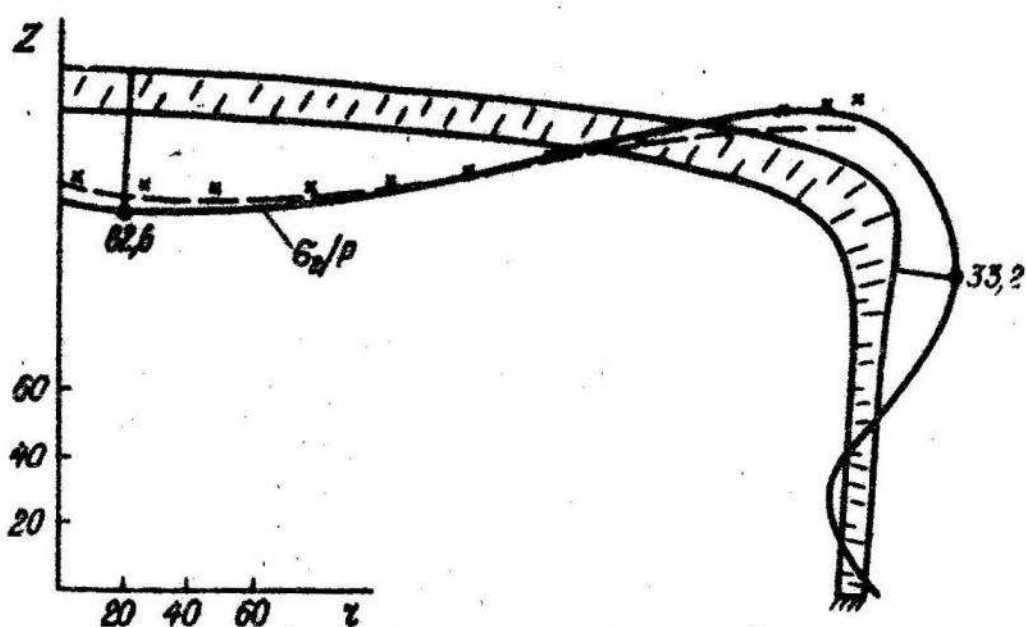


Рис.2.

$\nu = 0,2$ , нижній край оболонки жорстко закріплений. Суцільною лінією показані результати цієї методики, одержані на сітці з двома елементами по товщині і шістнадцятьма по меридіану. Зірочками відзначено дані тензометрування, а пунктирною лінією – результати,

одержані С.С.Григорином з використанням теорії оболонок Кірхгофа-Лява.

Список літератури: 1. Зенкевич О. Метод конечных елементов в технике. - М.: Мир, 1975. 2. Новацкий В. Теория упругости. - М.: Мир, 1975. 3. Шинкаренко Г.А., Марчук М.В. Розрахунок тривимірних температурних полів методом окінчених елементів. - Львів: Вища школа, 1979.

Стаття надійшла в редколегію 21.02.81

УДК 518:517.948

М.Я.Бартіш, Л.Л.Роман

ЗАСТОСУВАННЯ МЕТОДІВ ТИПУ НЬЮТОНА-КАНТОРОВИЧА  
У НЕЛІНІЙНИХ ЗАДАЧАХ МЕХАНІКИ

У праці [2] розглянута задача визначення у циліндричній оболонці з залежностями від температури характеристиками матеріалу осесиметричних температурних полів, що забезпечують максимально незначний рівень температурних напруж. У праці [3] аналізується така ж задача при умові, що характеристики матеріалу не змінюються при нагріванні. Із розв'язок можна одержати як частинний випадок задачі [2] при  $\lambda(x) = 0$ . Для розв'язування задачі застосовують метод, який полягає в апроксимації неїнійної системи диференціальних рівнянь високого порядку неїнійної системою алгебраїчних рівнянь, знаходження розв'язку одержаної системи градієнтними методами. При цьому внаслідок апроксимації виникає неусувне похибка обчислень.

Більш доцільно використовувати зведення неїнійної краївської задачі до неїнійної системи алгебраїчних рівнянь наступним чином.

Введеними новими змінними

$$Z_1 = W_i - \varepsilon_{T_i} d_i T, Z_2 = \frac{dW_i}{dx}, Z_3 = \frac{d^2W_i}{dx^2}, Z_4 = \frac{d}{dx} (E_i \frac{d^2W_i}{dx^2}), Z_5 = T_i, \\ Z_6 = \lambda_i, Z_7 = \frac{d\lambda_i}{dx}, Z_8 = \frac{d^2\lambda_i}{dx^2}, Z_9 = \frac{d^3\lambda_i}{dx^3}$$

/1/

задачу із [2] зведем до краєвої задачі

$$\frac{d\bar{Z}}{dx} = \bar{f}(x, \bar{Z}) \quad /2/$$

$$\bar{g}(\bar{Z}_0, \bar{Z}_v) = \bar{d}, \quad /3/$$

де  $\bar{Z} = (Z_1, Z_2, \dots, Z_v); \bar{d} = 0;$

$$\begin{aligned} \bar{f}(x, \bar{Z}) = & \left( \begin{array}{l} Z_2 - \delta_{T_0} a \left( \frac{d^2 a}{dz_5^2} + a_1 \right) \\ Z_3 \\ \frac{1}{E} \left( Z_4 - \frac{dE}{dz_5} \cdot a \cdot Z_3 \right) \\ -4\rho'' E' Z_1 \\ a \frac{d^2 a}{dz_5^2} \\ Z_7 \\ Z_8 \\ Z_9 \\ -2Z_9 \frac{dE}{dz_5} a + Z_9 \left[ \frac{d^2 E}{dz_5^2} a^2 + b \frac{dE}{dz_5} \right] - 4\rho'' E' Z_6 \end{array} \right) \end{aligned}$$

$$\bar{g}(\bar{Z}_0) = \left( \begin{array}{l} Z_2(0) \\ Z_3(0) \\ Z_4(0) - T_0 \\ Z_7(0) \\ Z_8(0) \\ Z_9(1) \\ Z_5(1) \\ Z_3(1) \\ Z_9(1) \end{array} \right)$$

при відомих виразах для  $a : b$ , які не наводимо внаслідок громіздкості запису.

Задача /2/, /3/ еквівалентна системі нелінійних алгебраїчних рівнянь [4]

$$\bar{q}(\bar{Z}_0) = 0 \quad /4/$$

при

$$\bar{q}(\bar{Z}) = \left( \begin{array}{l} Z_4(Z_1^0, Z_2^0, \dots, Z_9^0, 1) \\ Z_5(Z_1^0, Z_2^0, \dots, Z_9^0, 1) \\ Z_8(Z_1^0, Z_2^0, \dots, Z_9^0, 1) \\ Z_9(Z_1^0, Z_2^0, \dots, Z_9^0, 1) \end{array} \right)$$

і задачі Коші

$$\frac{d\bar{z}}{dx} = \bar{f}(x, \bar{z}), \quad \bar{z}(0) = \bar{z}_0, \quad /5/$$

де  $\bar{z}_0 = (z_1^0, z_2^0, \dots, z_g^0)$  – розв'язок системи /4/, для знаходження якого можна використати різницевий аналог одного з методів типу Ньютона-Канторовича. Враховуючи, що при використанні методу Ньютона-Канторовича для розв'язування краївих задач велика кількість обчислень витрачається на обчислення значень функції  $\bar{q}(\bar{z})$  і матриці Якобі з різницевого аналогу, доцільно використовувати рекурсивні методи [1] з оптимальним вибором параметра рекурсії. Для розв'язування системи /4/ застосовували обчислювальну схему [1] і, як показала практика, оптимальною є глибина рекурсії  $P_0 = 3$ .

Слід також відзначити, що при розв'язуванні задачі Коші необхідно використовувати методи, які дають розв'язок у точці  $X = I$  з достатньою точністю, наприклад метод Рунге-Кутта, Адамса, Мілна та ін.

Числові дослідження виконані для циліндричної оболонки з параметрами  $R = 10, h/R = 1/20, V = 0,3$ , виготовленої з матеріалу IX18H9T. Температурні залежності функцій  $E$  і  $\alpha$ , брали лінійні

$$E_i(T_i) = 1 - 0.25T_i,$$

$$\alpha_i(T_i) = 1 + 0.47T_i$$

і квадратичні

$$E_i(T_i) = 1 - 0.25T_i - T_i(T_i - 0.95),$$

$$\alpha_i(T_i) = 1 + 0.47T_i + T_i(T_i - 0.97).$$

Обчислення проводили на ЕМС СС – 1022.

Екстремальні температурні поля та напруження по довжині оболонки для лінійної залежності характеристик матеріалу зображені на рис. I, при цьому температура віднесена до значення  $T_e$ , а напруги до значення  $E_e T_e$ .

Основні напруги  $\sigma_z$  на внутрішній поверхні рівні за значенням  $\sigma_z$  і протилежні за знаком, тому на рис. I не показані.

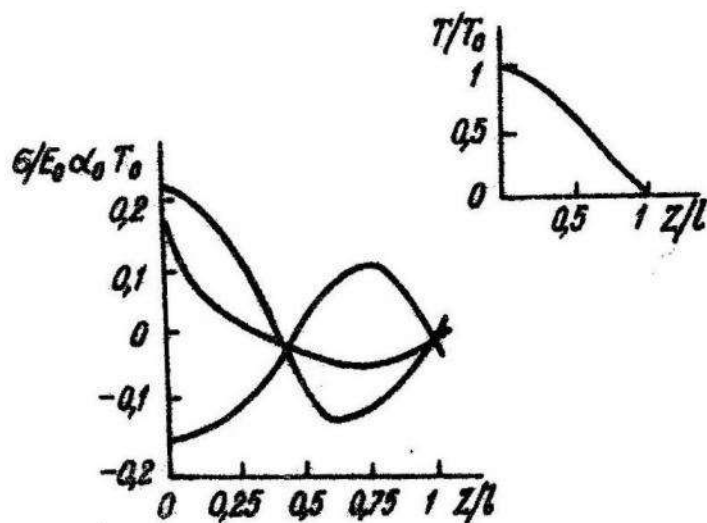


Рис. 1.

Вплив температурної залежності характеристик матеріалу на оптимальні температурні поля і напруги зображенено на рис. 2, 3. Суцільна лінія відповідає лінійній залежності температурних характеристик, штрихунктирина – квадратичній апроксимації; постійними характеристиками  $E_0 = 0,75$ ,  $\alpha_0 = 1,12$  – пунктирна.

Задача [3] обчислена для вказаних числових даних при лінійній залежності характеристик  $E(T)$ ,  $\alpha(T)$  і  $K = 0,5$ .

Вплив температурної залежності характеристик матеріалу на оптимальні температурні поля для вільної оболонки зображенено на рис. 4. Крива 1 відповідає оптимальному розподілу температур, крива 2 – розподілу температур для постійних характеристик.

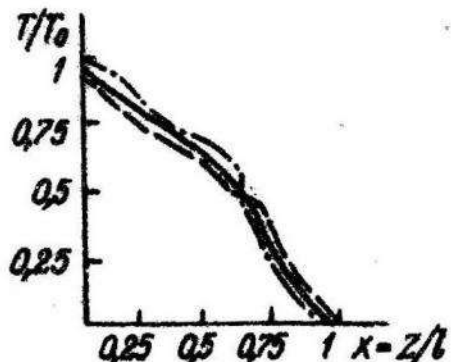


Рис. 2.

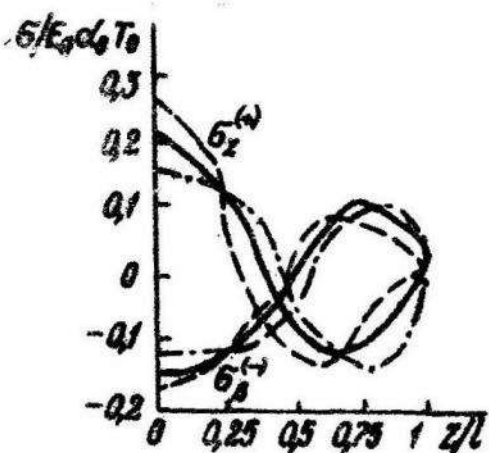


Рис. 3.

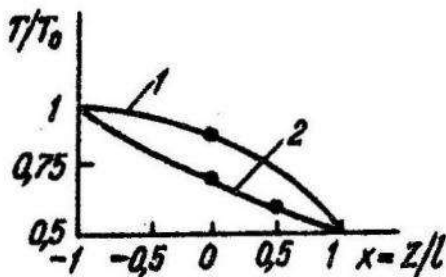


Рис.Ч.

Список літератури: 1. Б а р т и ш М.Я., Щ е р б и н а Ю.Н. Итерационные формулы, получаемые с помощью рекурсии. - В кн.: Мат. сб. К., 1976. 2. Б у р а к Я.И., О г і р к о И.В. Оптимальний нагрів циліндрическої оболочки з залежними від температури характеристиками матеріала. - Мат. методи та физ.-мех. поля, 1977, вип. 5. З. О г і р к о И.В. Исследование оболочек с учетом изменения свойств материала от температуры. Стройт. техника и расчет сооружений, 1977, вып. 9. 4. Ш а м а н с к и й В.Е. Методы численного решения краевых задач на ЭВМ. - К.: Наукова думка, 1966, ч.2.

Стаття надійшла в редколегію 06.12.80  
УДК 539.3:518

І.В.Огірко, Л.Л.Роман

### ІТЕРАЦІЙНИЙ РОЗВ'ЯЗОК НЕЛІНІЙНОЇ ЗАДАЧІ ПРО МІНІМАЛЬНИЙ ПРОГИН ПОЛОГОЇ ОБОЛОНКИ

Розглянемо гнутику коротко защемлену пологу оболонку, прямокутну в плані  $1/2a \times 2b/1$ , віднесену до криволінійних координат  $x, y$ , які відлічують по лініях головних кривин. На оболонку (рис. I) в області  $\Omega_1 \{ |x| \leq a, |y| \leq b \}$  діє температурне поле  $t(x, y)$ , а по краю області  $\Omega_2 \{ a \leq |x| \leq a, b \leq |y| \leq b \}$  силове навантаження інтенсивності  $q(x, y)$ . Причому силове на-

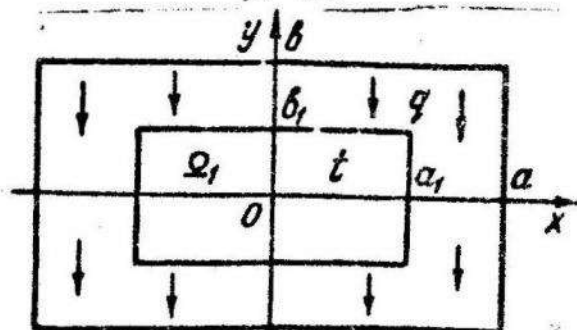


Рис.І.

вантаження задане, а рівень температури можна міняти в межах

$$0 \leq t(x, y) \leq t_3 \quad /1/$$

при заданих умовах в центрі та на краю

$$t(0,0) = t_3, \quad t(x, \pm b_1) = 0, \quad t(\pm a_1, y) = 0, \quad /2/$$

а також умовах гладкості

$$t_x(0,0) = 0, \quad t_y(0,0) = 0, \quad t_x(x \pm b_1) = 0, \quad t_y(\pm a_1, y) = 0, \quad /3/$$

/нижні індекси  $x, y$  - означають диференціювання;  $t_3$  - задана температура/.

Необхідно так розподілити функцію температури  $t(x, y)$  в рамках /1/-/3/, щоб прогин  $W$  оболонки був мінімальний при обмеженні на рівень максимального напруження  $\sigma_x, \sigma_y, \sigma_{xy}$

$$\max_{|x| \leq a, |y| \leq b} \{ \sigma_x^{\pm}, \sigma_y^{\pm}, \sigma_{xy}^{\pm} \} \leq K[\sigma] \quad /4/$$

як на верхній знак  $+/$ , так і на нижній  $-/-$  поверхні оболонки  $[\sigma]$  - допустиме напруження для даного матеріалу;  $K$  - коефіцієнт/.

За критерій оптимальності приймемо функцію

$$\min \left\{ \max_{|x| \leq a, |y| \leq b} |W(x, y)| \right\}. \quad /5/$$

Нелінійними обмеженнями - рівностями у задачі виступають рівняння термопружності гнучкої оболонки [1], які відносно переміщень  $W, U, V$  мають вигляд:

$$\begin{aligned} & \frac{h}{12} \nabla^4 W - 2\mu_1 \alpha \delta \nabla W + U_x (\mathcal{K}_1 + \nabla_3 W) + 2\mu_1 U_y W_{yy} + 2\mu_1 V_x W_{xy} + \\ & + V_y (\mathcal{K}_2 + \nabla_3 W) + [-\mathcal{K}_1 W + 0.5 (W_x^2 + V W_y^2)] (\mathcal{K}_1 + W_{xx}) + [-\mathcal{K}_2 W + \\ & + 0.5 (W_y^2 + V W_x^2)] (\mathcal{K}_2 + W_{yy}) + 2\mu_1 W_x W_y W_{xy} = \alpha t (\mathcal{K}_1 + \mathcal{K}_2), \end{aligned}$$

/6/

$$\nabla_3 U + \mu_1 V_{xy} - \mathcal{K}_1 W_x + \mu_1 W_{xy} W_y + W_x \nabla_3 W = 0,$$

$$\nabla_2 V + \mu_2 U_{xy} - K_2 W_y + \mu_2 W_x W_{xy} + W_y \nabla_2 W = 0, \quad /8/$$

де  $\nabla^4 = \frac{\partial^4}{\partial x^4} + 2 \frac{\partial^4}{\partial x^2 \partial y^2} + \frac{\partial^4}{\partial y^4}; \quad \nabla^2 = \frac{\partial^2}{\partial x^2} + \frac{\partial^2}{\partial y^2};$

$$\nabla_1 = \frac{\partial^2}{\partial x^2} + \mu_1 \frac{\partial^2}{\partial y^2}; \quad \nabla_2 = \mu_2 \frac{\partial^2}{\partial x^2} + \frac{\partial^2}{\partial y^2}; \quad \nabla_3 = \frac{\partial^2}{\partial x^2} + \nu \frac{\partial^2}{\partial y^2};$$

$$\nabla_4 = \nu \frac{\partial^2}{\partial x^2} + \frac{\partial^2}{\partial y^2}; \quad K_1 = K_1 + \nu K_2, \quad K_2 = \nu K_1 + K_2, \quad \mu_1 = 0.5(1-\nu), \quad \mu_2 = 0.5(1+\nu);$$

$h$  - товщина оболонки;  $K_1, K_2$  - кривини оболонки по осіах  $x, y$ ;  
 $E$  - модуль пружності;  $\alpha$  - коефіцієнт температурного лінійного розширення;  $\nu$  - коефіцієнт Пуассона.

Границні умови

$$W=0, U=0, V=0, \quad \text{при } x=\pm a, y=\pm b, \quad /9/$$

$$W_y \Big|_{y=\pm b} = 0, \quad W_x \Big|_{x=\pm a} = 0.$$

Розв'язок екстремальної задачі /5/ при обмеженнях /1/-/4/, /6/-/9/ здійснюється згідно з методикою [2] чисельно на ЕОМ в три етапи:

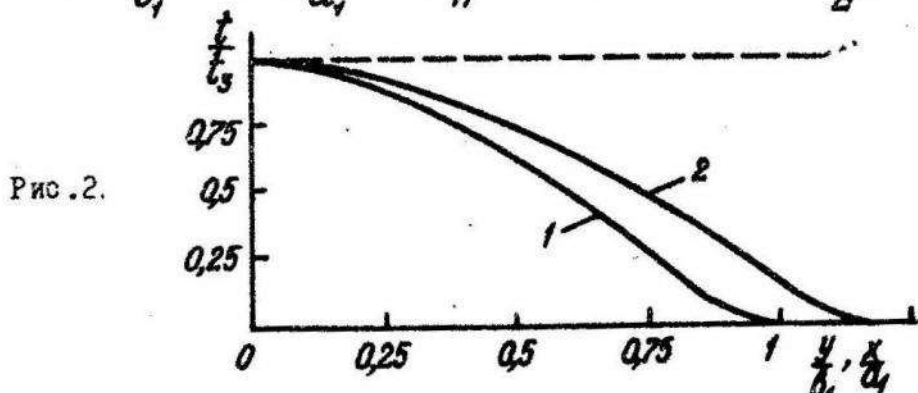
a/ будують дискретний аналог задачі /1/-/9/ методом сіток з підвищеною точністю, при цьому на поверхні оболонки вводять вузли  $(i, j)$ , де  $i = 0, n$ ;  $j = 0, m$ ;

b/ формують підпрограму для знаходження значень функцій  $W$ ,  $U$ ,  $V$  у вузлах  $(i, j)$  з краєвої задачі /6/-/9/ ітераційним методом верхньої релаксації;

v/ оптимальні значення розподілу температури  $t_{ij}$  в області  $\Omega$ , шукають ітераційно з кроком  $\delta_y$  методом локальних варіацій.

Для оцінки точності розв'язку здійснювали перевірку задачі на ЕОМ при різних сітках розбиття області  $\Omega$  оболонки.

Як приклад показані результати для сталевої /матеріал I X 18 H 9 T/ пологої сферичної  $K_1 = K_2 = 1/R$  оболонки з параметрами  $\frac{a}{b} = 1,2; \frac{a_1}{b_1} = 1,2; \frac{a}{a_1} = 2; \frac{R}{h} = 100; K = 0,5; \frac{q}{G} = 10$ .



На рис. 2 показані графіки розподілу температури у перетинах  $X = 0$  /лінія 1/ і  $Y = 0$  /лінія 2/ оболонки.

Список літератури: 1. Безухов Н.П., Бажанов В.Л., Гольденблат И.И. и др. Расчет на прочность, устойчивость и колебание в условиях высоких температур. М.: Машиностроение, 1968. 2. Огирко И.В. Оптимизация термоапрессий и деформаций в гибких оболочках с учетом температурной зависимости характеристик материала на основе применения итерационных методов: Автореф. дис. ... канд. физ.-мат. наук. - Львов, 1978.

Стаття надійшла в редколегію 04.08.81

УДК 624.07:534.1

Б.І.Гайвась, В.М.Фарат

ДОСЛІДЖЕННЯ КОЛІВАНЬ І СТІЙКОСТІ КОНІЧНОГО СТЕРЖНЯ

ЗІ ЗОСЕРЕДЖЕНИМИ МАСАМИ, ЩО ЗНАХОДЯТЬСЯ

НА УЗАГАЛЬНЕНІЙ ВІНКЛЕРОВІЙ ОСНОВІ

У праці [1] вказано спосіб побудови характеристичного ряду крайової задачі, що описує поперечні коливання стиснутих пружних стержнів змінної жорсткості з зосередженими масами та сингулярностями у пружній основі.

Застосуємо цей спосіб до дослідження коливань і стійкості конічного конічного стержня з зосередженими масами на сингулярній

основі при сумісній дії консервативної і слідкучої сил на вільному кінці  $x = 0$ , вважаючи, що кінець  $x = l$  пружно закріплений. Включення у розподілений параметри зосереджені в точках  $x \in \overline{0, l}$ .

Приймаючи позначення праці [1] маємо

$$f(x) = (a + bx)^4, \quad g(x) = (a + bx)^2, \quad /1/$$

де 1/  $a = 1 - d$ ,  $b = d$  для стержня, зображеного на рис. 1; 2/  $a = 1$ ,  $b = -d$  для стержня, зображеного на рис. 2;  $d = \frac{l}{h}$  – параметр конуності;  $l$  – довжина зрізаного конуса;  $h$  – довжина повного конуса.

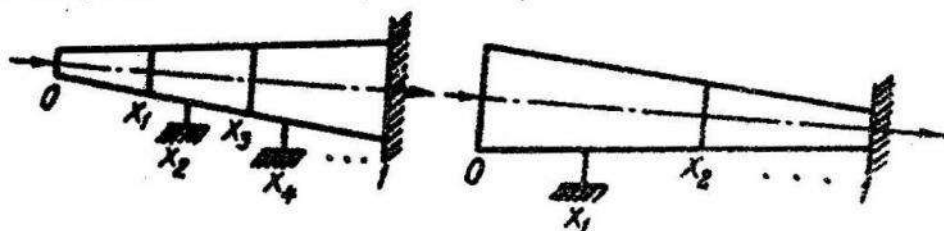


Рис. 1.

Рис. 2.

Фундаментальна система розв'язків рівняння /9/ праці [1] відома і має вигляд

$$\varphi_1(x) = (a + bx) \left[ \frac{a-b}{\sqrt{\rho}} \sin \frac{\sqrt{\rho}x}{a(a+bx)} + \frac{1}{a} \cos \frac{\sqrt{\rho}x}{a(a+bx)} \right],$$

$$\varphi_2(x) = (a + bx) \left[ -\frac{b}{\sqrt{\rho}} \sin \frac{\sqrt{\rho}x}{a(a+bx)} + \frac{1}{a} \cos \frac{\sqrt{\rho}x}{a(a+bx)} \right], \quad /2/$$

$$G(x, \xi) = \frac{(a + bx)(a + b\xi)}{\sqrt{\rho}} \sin \frac{\sqrt{\rho}(x-\xi)}{(a + bx)(a + b\xi)},$$

$$\psi(x, \xi) = -(a + bx)(a + b\xi)\eta(\theta).$$

$$\eta(\theta) = \frac{1}{\rho} \sin \sqrt{\rho}\theta - \theta, \quad /3/$$

$$\theta = \frac{x - \xi}{(a + bx)(a + b\xi)}.$$

Введемо позначення

$$\Omega_i = \frac{1 - x_i}{(a + bx_i)(a + b)}, \quad \chi_m = \frac{1 - a\theta_m(a + b)}{1 + b\theta_m(a + b)},$$

$$\Omega_{ij} = \frac{x_i - x_j}{(a + bx_i)(a + bx_j)}, \quad \Omega_{ii} = \frac{x_i}{(a + bx_i)a},$$

$$\chi_{im} = \frac{x_i - a(a + bx_i)\theta_m}{1 + b(a + bx_i)\theta_m}.$$

/4/

Використовуючи рекурентні спiввiдношення /19/ [1] приходимо пiсля деяких перетворень до розрахункових формул, необхiдних для обчислення коефiцiєнтiв  $A_{irk}$  характеристичного ряду:

$$A_{irk}^m = (-1)^m \frac{(a + bx_i)^{\delta m}}{p^m} \int_0^{\Omega_{im}} \cdots \int_0^{\Omega_{m-1}} \varphi_{i, m, l}(\theta) \Phi_{ko}''(\chi_{im}) d\theta_m \cdots d\theta_i + \\ + \sum_{j=1}^{i-1} \left\{ (-1)^m \frac{(a + bx_i)^{\delta m}}{p^m} \int_0^{\Omega_{m-1}} \cdots \int_0^{\Omega_{m-1}} \varphi_{i, m-1, j}(\theta) \Phi_{koj}''(\chi_{im}) d\theta_m \cdots d\theta_i + \right. \\ + \sum_{\mu=1}^{m-1} (-1)^{m-\mu} \frac{(a + bx_i)^{\delta(m-\mu)}}{p^{m+\mu-\mu}} \int_0^{\Omega_{m-1-\mu}} \cdots \int_0^{\Omega_{m-1-\mu}} \varphi_{i, m+\mu}(\theta) \sum_{q=1}^{\mu} \int_0^{\Omega_{m-1-\mu}} \varphi_{j, q-1, k}(\theta) \right. \\ \left. \left. + \eta_{qj}^0 A_{jq-1, k}^m \right] (-1)^{q-1} \psi_{\xi}^{(q-1)}(x_{im-\mu}, x_j) d\theta_{m-\mu} \cdots d\theta_i + \right. \\ \left. + \frac{1}{p} \sum_{q=1}^2 \left[ \eta_{qj}^0 A_{jq-1, k}^{m-1} + \eta_{qj}^0 A_{jq-1, k}^m \right] (-1)^{q-1} \left[ \psi_{\xi}^{(q-1)}(x, x_j) \right]_{x/x=x_j}^{(q)} \right\},$$

$$\Phi_{km}^{(q)}(1) = (-1)^m \frac{(a + b)^{\delta m}}{p^m} \int_0^{\Omega_{m-1}} \cdots \int_0^{\Omega_{m-1}} \varphi_{i, m-1}(\theta) \Phi_{ko}''(\chi_m) d\theta_i \cdots d\theta_m +$$

$$+ \sum_{i=1}^n \left\{ (-1)^m \frac{(a + b)^{\delta m}}{p^m} \int_0^{\Omega_{m-1}} \cdots \int_0^{\Omega_{m-1}} \varphi_{i, m-1}(\theta) \Phi_{koi}''(\chi_m) d\theta_i \cdots d\theta_m + \right.$$

$$\begin{aligned}
& + \sum_{\mu=1}^{m-1} (-1)^{m-\mu} \frac{(a+b)^{\sigma(m-\mu)}}{\rho^{m+1-\mu}} \int \dots \int_{\theta_{m-\mu-1}}^{\theta_m} \varphi_{\nu}^{(m-1-\mu)}(\theta_i) \sum_{q=1}^{\infty} \left[ \eta_{q_i}^i A_{iq-1k}^{m-1} + \right. \\
& \left. + \eta_{q_i}^i A_{iq-1k}^{m-1} \right] (-1)^{q-1} \psi_{\xi}^{(q-1)}(x_{m-\mu}, x_i) d\theta_{m-\mu} \dots d\theta_1 + \\
& + \frac{1}{\rho} \sum_{q=1}^{\infty} \left[ \eta_{q_i}^i A_{iq-1k}^{m-1} + \eta_{q_i}^i A_{iq-1k}^{m-1} \right] (-1)^{q-1} \left[ \psi_{\xi}^{(q-1)}(x, x_i) \right]_{x/x=1}^{(n)} \}, \quad (5)
\end{aligned}$$

де

$$\varphi_{\nu}^i(\theta_i, x) = \frac{f_i(\theta_i, x) \prod_{j=1}^i \Gamma(\theta_{m-j} - \theta_i)}{\left[ 1 + (a + bx) b \theta_{i+1} \right]^i \prod_{j=1}^i \left[ 1 + b(a + bx) \theta_j \right]^6};$$

$$\varphi_{\nu}^i(\theta_i) = \varphi_{\nu}^i(\theta_i, x_i); \quad \varphi_{\nu}^i(\theta_i) = \varphi_{\nu}^i(\theta_i, 1);$$

(6)

$$f_0(\theta_i, x) = \eta(\theta_i);$$

$$f_1(\theta_i, x) = \frac{1}{(a + bx)^2} \{ \eta'(\theta_i) + b(a + bx) \eta(\theta_i) \};$$

$$f_2(\theta_i, x) = \frac{\rho}{(a + bx)^4} [\eta(\theta_i) + \theta_i].$$

З використанням цих формул характеристичне рівняння для козельного стержня набуває вигляду

$$\sum_{m=0}^{\infty} A_m \omega^m = 0, \quad A_m = b_{mk} + \delta_m d_{mk}. \quad (7)$$

Коєфіцієнти  $b_{mk}$  .  $d_{mk}$  визначаються через  $\Phi_{mk}^{(m)}(1)$  з допомогою спiввiдношень /29/ [1].

Для жорсткозашемленого кiнця  $X = I$  /для випадку I, зображеного на рис. I/ шляхом граничного переходу з характеристичного ряду /7/ отримуємо характеристичний полiном

$$A_0 + A_1 \Omega^2 + A_2 \Omega^4 = 0,$$

де  $A_0 = 1 + \gamma d_1 \left[ \eta' \left( \frac{1}{d_1} \right) + \alpha \eta \left( \frac{1}{d_1} \right) \right]$ ;

$$A_1 = \eta \left[ \left\{ f(x_{i-1}) - \gamma d_1 \left[ (d_i + \alpha x_i) \eta(\xi_{n_i}) - \eta \left( \frac{1}{d_1} \right) \right] \right\} \times \right. \\ \left. \times \frac{\Psi''(x_i, \xi)}{\rho} \Big|_{\substack{x=x_i \\ \xi=\xi_i}} + \frac{\gamma (1, x_i)}{\rho} \left\{ 1 + \gamma d_1 \left[ \eta' \left( \frac{1}{d_1} \right) + \alpha \eta \left( \frac{1}{d_1} \right) \right] \right\} \right] - \\ \eta_{21} \left\{ 1 + \gamma d_1 \left[ \frac{\eta'(\xi_n)}{d_1 + \alpha x_i} + \alpha \eta(\xi_n) \right] \right\} \Psi''(x_i, \xi) \Big|_{\substack{x=x_i \\ \xi=\xi_i}} ; \\ A_2 = \eta_n \eta_{21} \left\{ 1 + \alpha \gamma \left[ \frac{1}{d_1 + \alpha x_i} \eta'(\xi_n) + \alpha \eta(\xi_n) \right] \right\} \left[ \Psi'' \Psi - \frac{\psi' \psi'}{\xi} \right] \Big|_{\substack{x=x_i \\ \xi=\xi_i}} ; \\ \alpha = 1 - d; \gamma = 1 - \gamma; \eta_n = \frac{M_1 l}{EJ}; \eta_{21} = \frac{I_1 l}{EJ}, \\ \text{який у випадку } \alpha = 0 \text{ /циліндричний стержень/ збігається з результатом праці [2].}$$

$\eta'_{21} = 0$

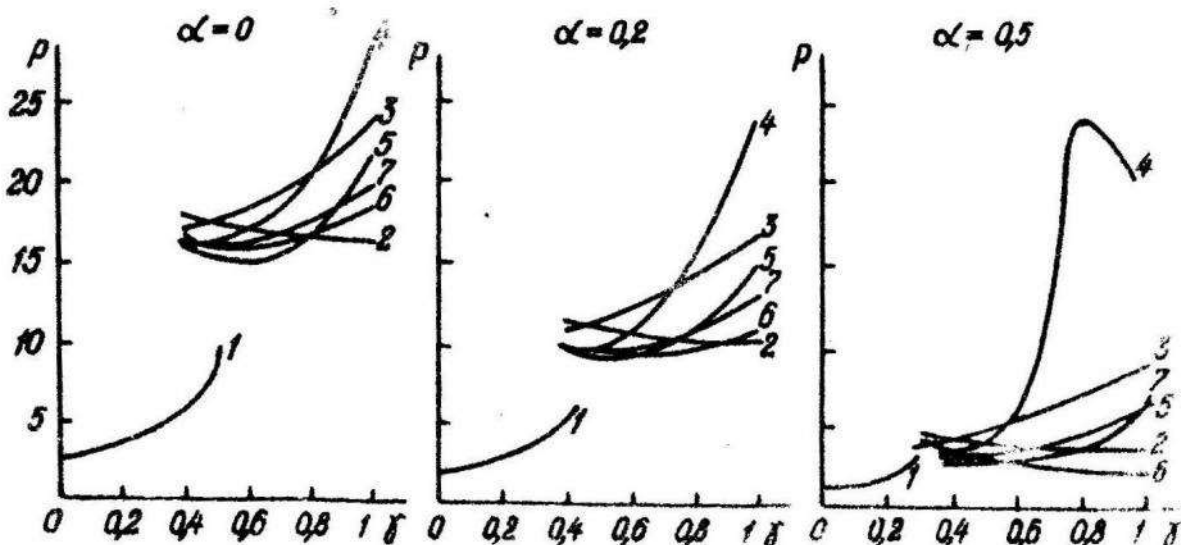


Рис. 3.

Рис. 4.

Рис. 5.

Як видно з рис. 3-5 статична втрата стійкості /крива I/ не залежить від зосередженої маси, а лише від параметрів конусності  $d$  і неконсервативності  $\gamma$ .

Для циліндричного стержня ( $d=0$ ) статична втрата стійкості може настути тільки при параметрі неконсервативності  $\gamma \leq 0,5$ , для конічного ( $d=0,2$ ) при  $\gamma \leq 0,42$ , при  $d=0,5$  - при  $\gamma \leq 0,3$ . Криві 2-7 відповідають флатеру. Флтерні криві залежать як від параметрів конусності, неконсервативності, так і від точки розміщення маси. Точці прикладення маси  $X_1 = 0; 0,2; 0,4; 0,6; 0,8$ ; і відповідають криві 2-7.

Список літератури: І. Гайва съ Б.И. К исследованию малых колебаний и устойчивости многопараметрических стержневых систем. - Рукопись деп. ВИНИТИ 1980, № 2743-80. 2. Леонов М.Я. Основы механики упругого тела.-Фрунзе, Изд-во АН Кирг. ССР, 1963.

Стаття надійшла в редколегію 16.04.81

УДК 533.6.013.42

О.В.Блажієвська, Г.І.Ткачук

ДОСЛІДЖЕННЯ ВЗАЄМОДІЇ ОБОЛОНКИ ОБЕРТАННЯ  
З ОТОЧУЮЧОЮ РІДINOЮ ПРИ НАЯВНОСТІ ВНУТРІШньОГО  
ДЖЕРЕЛА ХВИЛЬ

Розглянемо тонку пружну оболонку обертання, заповнену й оточеною рідкими середовищами, густини та швидкості звуку в яких рівні відповідно  $\rho_1, C_1$  та  $\rho_2, C_2$ . Серединна поверхня оболонки утворена обертанням дуги кола навколо хорди. Нехай у внутрішньому середовищі на осі симетрії розміщене джерело збурень, що генерує акустичну хвилю, тиск у якій змінюється за законом

$$\rho = \frac{\rho_0}{c} g(\tau - t) [H(\tau - t) - H(\tau - t - \tau_0)], \quad /1/$$

де  $\rho_0$  - постійна, яка має розмірність тиску;  $t$  - безмірна /віднесена до півдовжнії  $R$  хорди/ відстань від джерела;  $g$  - функція,

яка визначає профіль хвилі;  $\tau = c_i t R^i$ ,  $t$  - час, який відлічується з моменту включення джерела;  $\tau_0 = c_i t_0 R^i$ ,  $t_0$  - тривалість збурючого імпульсу;  $H$  - одинична функція Хевісайда.

Падаючий імпульс зумовлює нестационарний рух оболонки й акустичних середовищ. Необхідно визначити збурення поля тиску в оточуючому оболонку середовищі.

Припустимо, що рідини нев'язкі та баротропні, а їх рух - безвихровий. В акустичному наближенні такий рух рідин описується хвильовими рівняннями [2]

$$\Delta \rho_i = \frac{c_i}{c_i^2} \frac{\partial^2 \rho_i}{\partial \tau^2}, \quad (i=1,2), \quad /2/$$

де  $\rho_1$ ,  $\rho_2$  - збурення тиску відповідно у внутрішньому та зовнішньому середовищах;  $\Delta$  - оператор Лапласа у безрозмірних координатах.

Для описання руху оболонки використаємо лінійні рівняння теорії типу Тимошенка [3]. Враховуючи осьову симетрію задачі, одержуємо що рух оболонки визначається трьома величинами  $u_j$ , де  $u_1 = \bar{u}_1 R^i$ ,  $u_2 = \gamma$ ,  $u_3 = \bar{u}_3 R^i$ ,  $\bar{u}_1$ ,  $\bar{u}_3$  - тангенціальне та нормальнє зміщення точок серединної поверхні;  $\gamma$  - кут повороту нормалі у площині меридіана.

Оберемо бісферичну систему координат  $d_1$ ,  $d_2$ ,  $d_3$ , координатної поверхні  $d_3 = \text{const} \equiv d_{30} \leq \frac{\pi}{2}$  якої є серединна поверхня оболонки.

Рівняння руху оболонки мають вигляд:

$$L_{kj} u_j = q^* \delta_{kj}, \quad (k=1,2,3), \quad /3/$$

де

$$L_{11} = \frac{1}{A_1^2} \frac{\partial^2}{\partial \alpha_1^2} - sh \alpha_1 - \alpha_1^2 \sin^2 \alpha_{30} - \nu \left[ \frac{1}{A_1} ch \alpha_1 - sh \alpha_1 \right] -$$

$$- \frac{1}{\beta^2} \left[ 1 + \alpha_1^2 \left( \frac{ch \alpha_1}{A_1} - sh \alpha_1 \right) \right] \frac{\partial^2}{\partial \tau^2};$$

$$L_{12} = L_{21} = \alpha_1^2 \sin \alpha_{30} - \frac{\alpha_1^2}{\beta^2} \left[ 2 \sin \alpha_{30} + \frac{1}{A_1} \cos \alpha_{30} \right] \frac{\partial^2}{\partial \tau^2};$$

$$L_{13} = \frac{1}{A_1} \left[ \sin \alpha_{30} (1 + \nu + \alpha_1^2) + \frac{1}{A_1} \cos \alpha_{30} \right] \frac{\partial^2}{\partial \alpha_1^2} + \frac{1}{\beta} sh \alpha_1 \cos \alpha_{30};$$

$$L_{22} = \alpha^2 \left[ \frac{1}{A_1} \frac{\partial^2}{\partial d_1^2} - sh^2 d_1 - \nu \left( \frac{1}{A_1} ch d_1 - sh^2 d_1 \right) - \frac{1}{\beta^2} \frac{\partial^2}{\partial t^2} \right] - \alpha^2;$$

$$L_{23} = - \frac{\alpha^2}{A_1} \frac{\partial}{\partial d_1}; \quad L_{32} = - \frac{\alpha^2}{sin d_{30}} \left( \frac{1}{A_1} \frac{\partial}{\partial d_1} - sh d_1 \right);$$

$$L_{31} = \frac{1}{A_1} \left[ 1 + \nu + \alpha^2 + \frac{\nu}{A_2} ctg d_{30} \right] \frac{\partial}{\partial d_1} - sh d_1 \left[ 1 + \nu + \alpha^2 + \frac{1}{A_2} ctg d_{30} \right];$$

$$L_{33} = \frac{1}{A_1} \frac{1}{sin d_{30}} \left[ - \alpha^2 \frac{\partial^2}{\partial d_1^2} + cos^2 d_{30} \right] + 2(1+\nu)(sin d_{30} + \frac{1}{A_2} cos d_{30}) + \\ + \frac{1}{\beta^2 sin d_{30}} \left[ 1 + \alpha^2 \left( \frac{1}{A_1} ch d_1 - sh^2 d_1 \right) \right] \frac{\partial^2}{\partial t^2};$$

$$A_1 = (ch d_1 + cos d_{30}); \quad A_2 = A_1 sin d_{30}; \quad \alpha^2 = \frac{(2h)^2}{R^2};$$

$$\alpha^2 = \frac{1}{2} K' (1-\nu); \quad \beta^2 = E \rho^2 C_1^2 (1-\nu)^2; \quad q^* = \frac{1}{2} (\rho + \rho_i - \rho_o) R (1-\nu) (E h sin d_{30});$$

$K'$  =  $\frac{5}{6}$  - коефіцієнт зсуву;  $\nu$ ,  $E$ ,  $\rho$  - відповідно коефіцієнт Пуассона, модуль Юнга і густина матеріалу оболонки;  $2h$  - товщина оболонки;  $\delta_{K3}$  - символ Кронекера.

Задача полягає в знаходженні розв'язків системи рівнянь /2/ та /3/ при початкових

$$\rho_i = \frac{\partial U_i}{\partial t} = U_j = \frac{\partial U_i}{\partial d_j} = 0 \quad \text{при } t=0, \quad /4/$$

граничних

$$\frac{1}{A_1} \frac{\partial \rho_i}{\partial d_3} \Big|_{d_3=d_{30}} = - \rho C_1^2 \frac{\partial^2 U_i}{\partial t^2}; \quad \frac{1}{A_1} \frac{\partial}{\partial d_3} (\rho + \rho_i) \Big|_{d_3=d_{30}} = - \rho C_1^2 \frac{\partial^2 U_i}{\partial t^2} \quad /5/$$

та умовах випромінювання у безмежно віддаленій точці.

При розв'язуванні поставленої задачі скористаємося інтегральним перетворенням Лапласа по безрозмірному часу  $t$ . Нехай  $f(d_1, d_3, S)$  - перетворення Лапласа функції  $f(d_1, d_3, t)$ . Функції  $\rho_i^*$  та  $U_i^*$  задовольняють рівняння та граничні умови, які отримують з /2/, /3/, /5/ заміною  $\frac{\partial^2}{\partial t^2}$  на  $S^2$ .

Розглянемо так звану прифронтову асимптотику розв'язку задачі, коли параметр перетворення Лапласа  $S \rightarrow \infty$ .

Представимо шукані функції у вигляді:

$$\begin{aligned} \mathcal{P}_i^L(d_1, d_3, s) &= \rho_i g^L(s) \exp[-s\ell_0^L(d_1)] \mathcal{P}_i^L(d_1, d_3, s), \\ \mathcal{U}_j^L(d_1, s) &= \rho_i \tilde{\rho}_i^{-1} C_i^2 g^L(s) \exp[-s\ell_0^L(d_1)] \mathcal{U}_j^L(d_3, s), \end{aligned} \quad /6/$$

де  $\ell_0^L(d_1) = \ell(d_3, d_{30})$ .

Для визначення функції  $\mathcal{P}_i^L(d_1, d_3, s)$  отримуємо диференціальні рівняння з малим параметром  $\varepsilon = \frac{s}{g}$  при старших похідних. Розв'язок цих рівнянь шукаємо методом Вішіка та Листерника [I]. Використовуючи перше розщеплення оператора, одержуємо розв'язок, який тутожне дорівнює нулеві. Для визначення функцій типу примежового шару вводимо змінну  $\gamma = \frac{1}{\varepsilon} (d_3 - d_{30})$ . Нехай

$$\mathcal{P}_i^L(d_1, \gamma, \varepsilon) = \sum_{n=0}^{\infty} \mathcal{P}_{in}^L(d_1, \gamma) \varepsilon^n; \quad \mathcal{U}_j^L(d_1, \varepsilon) = \sum_{n=1}^{\infty} \mathcal{U}_{jn}^L(d_1) \varepsilon^n. \quad /7/$$

На основі другого розщеплення оператора  $\ell_0^L$  отримуємо для визначення функцій  $\mathcal{P}_{in}^L (n \geq 0)$  звичайні диференціальні рівняння з постійними коефіцієнтами, в яких  $d_1$  — параметр. Зокрема, для визначення  $\mathcal{P}_{i0}^L(d_1, \gamma)$  маємо рівняння

$$\frac{1}{A_1^2} \frac{\partial^2 \mathcal{P}_{i0}^L}{\partial \gamma^2} - \left[ \frac{C_1^2}{C_i^2} - \frac{1}{A_1^2} \left( \frac{\partial \ell_0^L}{\partial d_1} \right)^2 \right] \mathcal{P}_{i0}^L = 0 \quad /8/$$

та граничні умови

$$\frac{1}{A_1} \frac{\partial \mathcal{P}_{i0}^L}{\partial \gamma} \Big|_{\gamma=0} = \frac{1}{A_1} \frac{1}{\ell_0^L} \frac{\partial \ell^L}{\partial d_3} \Big|_{d_3=d_{30}} - \mathcal{U}_{31}^L,$$

$$\frac{1}{A_1} \frac{\partial \mathcal{P}_{i0}^L}{\partial \gamma} \Big|_{\gamma=0} = - \frac{\rho}{\rho_i} \mathcal{U}_{31}^L; \quad \lim_{\gamma \rightarrow \infty} \mathcal{P}_{i0}^L = 0. \quad /9/$$

Нехай джерело збурень знаходиться на осі обертання і віддалене від початку координат на  $BR$  ( $0 \leq B < 1$ ). Добре наділо, що при

$C_1 \geq C_2$  маємо

$$K_i^2 = A_1^2 \left[ \frac{C_1^2}{C_i^2} - \frac{1}{A_1^2} \left( \frac{\partial \ell_0^L}{\partial d_1} \right)^2 \right] > 0.$$

Розв'язки рівнянь /8/ типу функцій примежового шару, які задовольняють умови /9/, мають вигляд

$$\mathcal{P}_{i0}^L = \mathcal{B}_{i0}(d_1) \exp[-(1-i) |K_i| \gamma], \quad /10/$$

$$\text{де } \mathcal{B}_{i0}(d_1) = \frac{\rho}{\beta} \frac{A_1}{|K_i|} \mathcal{U}_{31}^L; \quad \mathcal{B}_{i0}(d_1) = \frac{1}{\beta} - \left| \frac{K_2}{K_1} \right| \frac{\rho}{\beta} \mathcal{B}_{20}(d_3).$$

Рівняння руху оболонки /3/ розглядаємо як узагальнені граничні умови для рівнянь /2/. Після підстановки у рівняння /3/ співвідношень /6/, /7/, /10/ та першого розщеплення цих рівнянь за методом Бініка та Лостерника отримуємо

$$\begin{aligned} U_M^{\prime \prime}(d_1) &= 0 \Rightarrow B_{20}(d_1) = 0; \quad B_{10}(d_1) = \frac{1}{\beta_0}; \\ U_{32}^{\prime \prime}(d_1) &= \frac{R}{h} \frac{\rho}{\rho} \frac{1}{\beta_0} \left[ 1 + \alpha^2 (1 + \alpha d_1 \cos d_{30}) - \alpha^2 \left( \frac{C_1^2}{C_2^2} - \frac{K_2^2}{A_1^2} \right) \right]^{-1}. \end{aligned} \quad /11/$$

Таким чином,

$$P_{20}^{\prime \prime} = 0; \quad P_{10}^{\prime \prime} = \frac{\rho}{\rho} \frac{A_1}{|K_2|} U_{32}^{\prime \prime}(d_1) \exp[-IK_2/y]. \quad /12/$$

Формула /12/ визначає одночленне асимптотичне наближення трансформанти Лапласа від шуканого тиску в оточуючому оболонку середовищі у змінних  $(d_1, y)$ . У вихідних змінних  $d_1, d_3$  розв'язок визначений лише у вузькій смугі поблизу поверхні оболонки. Тому на основі /12/ визначаємо  $P_2^{\prime \prime}$  на поверхні оболонки, а значення  $P_2^{\prime \prime}$  в усіх інших точках середовища знаходимо з допомогою інтегралу Кірхгофа

$$P_2^{\prime \prime}(d_1, d_3, s) = \frac{1}{4\pi} \iint \int \frac{P_2^{\prime \prime}}{2} \frac{\partial}{\partial n} \left( \frac{1}{L} \exp[-s \frac{G}{L}] - \frac{1}{L} \exp[s \frac{G}{L}] \frac{\partial P_2^{\prime \prime}}{\partial n} \right) A(d_1) A(d_2) d_1 d_2 d_{30}, \quad /13/$$

де  $G$  - поверхня оболонки;  $n$  - II зовнішня безрозмірна нормаль;  $L$  - безрозмірна відстань від точки спостереження  $(d_1, 0, d_3)$  до біжучої точки на поверхні інтегрування  $(d_{10}, d_{20}, d_{30})$ . Оскільки шукаємо асимптотичний розв'язок, то інтеграл /13/ обчислюємо методом Лапласа [4].

В одночленному асимптотичному наближенні інтеграл /13/ визначається наступною формулою:

$$P_2^{\prime \prime}(d_1, d_3, s) = \frac{1}{s} P_2 g^{\prime \prime}(s) \exp[s(\frac{G}{C_2} L + \beta)], \quad /14/$$

де  $L_* = L / |d_{10} - \beta, d_{20} = 0|$ ;  $\beta_* = \beta_0(\beta)$ ;

$$F(d_1, d_3) = \frac{1}{2} \frac{h}{R} \frac{\rho}{\rho} U_{32}^{\prime \prime}(\beta) \frac{1}{L_*} A_1(\beta) A_2(\beta) \left[ 1 - \frac{C_1}{C_2} \frac{1}{|K_2|} \frac{\partial L_*}{\partial d_{30}} \right]_x$$

$$\left[ \left\{ \frac{\partial^2}{\partial d_{10}^2} \left( \frac{C_1}{C_2} L + \beta \right) \frac{C_1}{C_2} \frac{\partial^2 L}{\partial d_{20}^2} \right\}_{d_{10} = \beta, d_{20} = 0} \right]^{-\frac{1}{2}}$$

Координата  $\beta$  критичної точки є коренем рівняння

$$\left\{ \frac{\partial}{\partial \alpha_{10}} \left[ \frac{C_1}{C_2} L + \ell_0 \right] \right\}_{\alpha_{10} = \beta, \alpha_{20} = 0} = 0.$$

На основі теореми обернення перетворення Лапласа знаходимо

$$\frac{\rho_2}{\rho_*} = \frac{R}{h} \frac{\rho}{\rho_*} F(\alpha_1, \alpha_2) H(t_1) \int_0^{\xi} g(x) [H(\xi) - H(\xi - x)] dx; \quad \xi = t - \frac{C_1}{C_2} L + \ell_0. \quad /15/$$

У частковому випадку сферичної оболонки, коли  $\alpha_{20}' = \frac{\pi}{2}$ , та при умові  $C_1 = C_2$  одержуємо

$$\frac{\rho_2}{\rho_*} = \frac{R}{h} \frac{\rho}{\rho_*} \frac{1}{L + \ell_0} \frac{1}{\cos \psi} [1 + a^2 - x^2 \beta^2 \sin^2 \psi] \int_0^{\xi} g(x) [H(\xi) - H(\xi - x)] dx. \quad /16/$$

Тут  $\psi$  визначається з рівняння

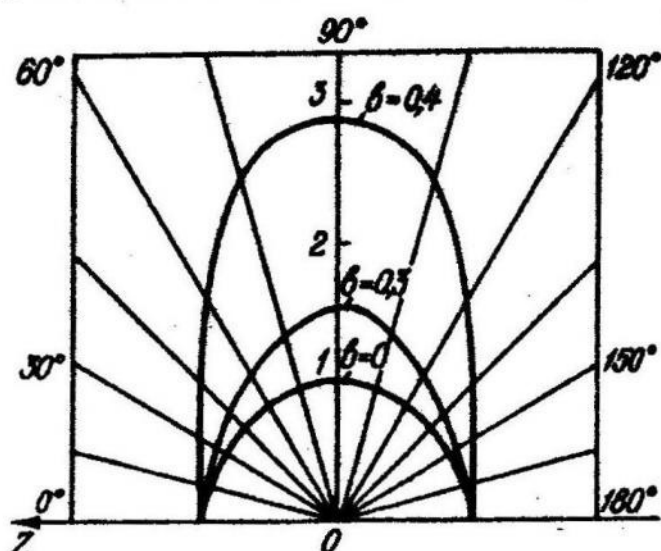
$$\sin \psi = b r \sin \theta (L + \ell_0);$$

$\bar{r}, \theta$  - сферичні координати з початком у центрі сфери,

$$L + \ell_0 = \sqrt{r^2 + b^2 - 2br \cos \theta}.$$

Відзначимо, що при певних значеннях  $b$ ,  $x\beta$  функція  $U_{22}$  приймає безмежні значення. У цьому випадку до одержаного тут розв'язку /11/ слід додати функцію внутрішнього промежового шару. Побудова цієї функції вимагає додаткового аналізу.

Рис. I.



Як випливає зі співвідношення /15/, побудований тут розв'язок визначає тиск у хвилі, яка приходить у точку спостереження в момент  $t = \frac{C_1}{C_2} L + \ell_0$ . При  $C_1 = C_2$  час приходу хвилі у точку спостереження рівний відстані до джерела збурень. Врахування функції I внут-

рішнього примежового шару дас додатковий доданок у формулі для  $\rho$ , який можна інтерпретувати як тиск у периферійній хвилі.

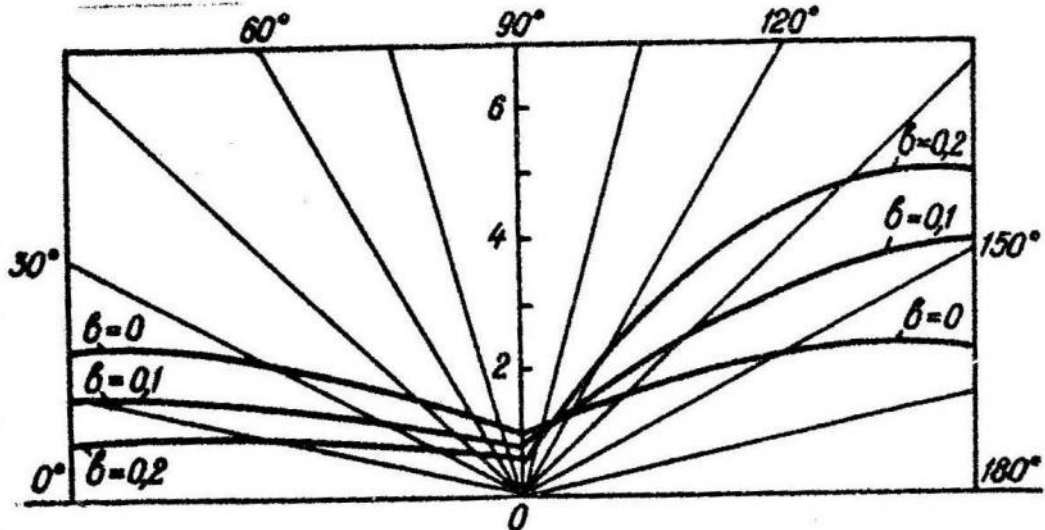


Рис.2.

Ми визначаємо лише тиск у заломленій хвилі. На рис. I, 2 зображена функція  $F(d_1, d_3)(L + l_*)$  відповідно для сферичної ( $d_1 = \frac{\pi}{2}$ ) і веретеноподібної оболонки ( $d_3 = \frac{\pi}{3}$ ) при  $C_1 = C_2$ ,  $\chi\beta = 1,97$  та декількох значеннях параметра  $\beta$ . Точка спостереження знаходиться на сфері, центр якої збігається з джерелом, а радіус дорівнює  $10R$ .

Список літератури: 1. Винник М.И., Листерник Л.А. Регулярное вырождение и граничный слой для линейных дифференциальных уравнений с малым параметром. Усп. мат. наук, 1957, 12, № 2. Метасавэр Я.А., Векслер Н.Д., Стулов А.С. Дифракция акустических импульсов на упругих телах. - М.: Наука, 1979. 3. Пелех Б.Л. Обобщенная теория оболочек. - Львов: Выща школа, 1978. 4. Федорюк М.В. Метод перевала. - М.: Наука, 1977.

Стаття надійшла в редакцію 07.04.81

## З М І С Т

Людкевич Й.В., Дудкевич А.Т. Різницеві апроксимації підвищеного порядку для рівняння Пуассона в просторі.....	3
Мартиненко Марія Д., Мартиненко Михайло Д. Про одну граничну задачу для нестандартного еліптичного рівняння.....	6
Мартиненко Марія Д., Мартиненко Михайло Д., Бойко Л.Ф. Задача без початкових умов для рівняння тепlopровідності.....	9
Бартіш М.Я., Шахно С.М. Про деякі модифікації методу Ньютона і їх застосування до розв'язування задач газодинаміки.....	II
Дудзяний І.М., Цимбал В.М. Асимптотичний розв'язок змішаної задачі для деякого рівняння третього порядку.....	14
Квіт І.Д. Звужені до кінців інтерквантильні суми довір'я.....	18
Гриліцький Д.В. Температурне поле у півплощині при мішаних граничних умовах.....	21
Горечко О.М. Взаємодія слабих ударних хвиль з товстостійним пружним циліндром, який знаходиться в акустичному середовищі.....	27
Прокопішин І.А., Хлебіков Д.Г. Циліндричний згин пластини нагрітим штампом.....	33
Дияк І.І., Савула Я.Г., Шинкаренко Г.А. Розрахунок термонапружень в осесиметричних тілах на основі методу скінчених елементів.....	38
Дияк І.І. Реалізація високоточних схем методу скінчених елементів для задач нестационарної тепlopровідності.....	44
Вовк В.Д., Шинкаренко Г.А. Розв'язування осесиметричних задач теорії пружності методом скінчених елементів.....	51
Бартіш М.Я., Роман Л.Л. Застосування методів типу Ньютона - Канторовича у нелінійних задачах механіки.....	54

Огірко І.В., Роман Л.Л. Ітераційний розв'язок наелінійної задачі про мінімальний прогин плаского оболонки.....	62
Гайвась Б.І., Фарат В.М. Дослідження коливань і стійкості конічного стержня зі зосередженими масами, що знаходяться на узагальненій вінклеровій основі.....	65
Блаховська О.В., Ткачук Г.І. Дослідження взаємодії оболонки обертання з оточуючою рідиною при наявності внутрішнього джерела хвиль.....	70

УДК 518:517.944/947

Разностные аппроксимации повышенного порядка для уравнения Пуассона в пространстве. Людкевич И.В., Людкевич А.Т. - Вестн. Львов.ун-та, сер. мех.-мат., вып. I9. Прикладные задачи математики и механики. - Львов: Выща школа. Изд-во при Львов.ун-те, 1982, с. 3-6 /на укр. яз./.

Задача Дирихле для уравнения Пуассона аппроксимируется разностной схемой четвертого порядка точности на параллелепипедоидальных сетках, которая на кубической сетке переходит в известную аппроксимацию с погрешностью  $O(h^4)$ . Система разностных уравнений решается итерационным методом верхней релаксации по линиям. Библиогр.: 5 назв.

УДК 517.944:947

Об одной граничной задаче для нестандартного эллиптического уравнения. Мартыненко Мария Д., Мартыненко Михайло Д. - Вестн. Львов.ун-та, сер. мех.-мат., вып. I9. Прикладные задачи математики и механики. - Львов: Выща школа. Изд-во при Львов.ун-те, 1982, с. 6-8 /на укр. яз./.

Для нестандартного эллиптического уравнения вида  $\frac{\partial u}{\partial x} - \frac{\partial u}{\partial y} = f(x,y)$  приведена корректно-разрешимая граничная задача. Библиогр.: 3 назв.

УДК 517.944:947

Задача без начальных условий для уравнения теплопроводности. Мартыненко Мария Д., Мартыненко Михайло Д., Бойко Л.Ф. - Вестн. Львов.ун-та, сер. мех.-мат., вып. I9. Прикладные задачи математики и механики. - Львов: Выща школа. Изд-во при Львов.ун-те, 1982, с. 9-II /на укр.яз./.

Выведено условие разрешимости задачи без начальных условий для уравнения теплопроводности. Проанализированы случаи его выполнимости. Библиогр.: 3 назв.

УДК 518:517.948

О некоторых модификациях метода Ньютона и их применении к решению задач газодинамики. Б а р т и ш М.Я., Ш а х н о С.М. - Вестн. Львов.ун-та, сер. мех.-мат., вып. I9. Прикладные задачи математики и механики. - Львов: Вища школа. Изд-во при Львов.ун-те, 1982, с. II-ІЗ /на укр. яз./.

Исследуется метод Ньютона для решения систем нелинейных уравнений в случае возмущения оператора системы и его производной. Формулируется теорема сходимости. Полученные результаты применяются к решению разностных уравнений газовой динамики. Библиогр.: 2 назв.

УДК 517.946

Асимптотическое решение смешанной задачи для некоторого уравнения третьего порядка. Д у д з я н и й И.М., Ц и м б а л В.Н. - Вестн. Львов.ун-та, сер. мех.-мат., вып. I9. Прикладные задачи математики и механики. Львов: Вища школа. Изд-во при Львов.ун-те, 1982, с. I4-I7 /на укр. яз./.

Методом погранслоя построено асимптотическое разложение решения смешанной задачи для некоторого уравнения в частных производных третьего порядка. Рассмотрен случай вырождения уравнения в алгебраическое. Библиогр.: 9 назв.

УДК 519.21

Суженные к концам интерквантильные полосы доверия. К в и т И.Д. - Вестн. Львов.ун-та, сер. мех.-мат., вып. I9. Прикладные задачи математики и механики. Львов: Вища школа. Изд-во при Львов.ун-те, 1982, с. I8-2I /на укр. яз./.

На основании упорядоченной выборки из абсолютно непрерывной популяции дан метод построения медианной эмпирической функции распределения, а также суженных к концам интерквантильных полос доверия. Библиогр.: 2 назв.

УДК 536.24

Температурное поле в полуплоскости при смешанных граничных условиях. Г р и л и ц к и й Д.В. - Вестн. Львов.ун-та, сер. мех.-мат., вып. I9. Прикладные задачи математики и механики. Львов: Вища школа. Изд-во при Львов.ун-те, 1982, с. 2I-26 /на укр. яз./.

Определение температурного поля в полуплоскости при пяти видах смешанных граничных условий в случае термоизолации боковых граней сведено к сингулярным интегро-дифференциальным уравнениям. Приближенное решение полученных уравнений можно построить методом ортогональных многочленов. Ил. 1.

УДК 539.3

Взаимодействие слабых ударных волн с толстостенным упругим цилиндром, находящимся в акустической среде. Горечко А.Н. - Вестн. Львов. ун-та, сер. мех.-мат., вып. I9. Прикладные задачи математики и механики. Львов: Выща школа. Изд-во при Львов. ун-те, 1982, с. 27-32 / на укр. яз./.

Методом полиномов Чебышева-Лагерра решена нестационарная задача взаимодействия слабой ударной волны с толстостенным упругим цилиндром бесконечной длины, контактирующим по внутренней и внешней поверхностям с идеальными сжимаемыми жидкостями. Численные расчеты выполнены для случая падения на сплошной упругий цилиндр плоской ступенчатой волны давления. Исследуются смещения внешней поверхности цилиндра. Ил. 2. Библиогр.: 4 назв.

УДК 539.3

Цилиндрический изгиб пластины нагретым штампом. П р о к о - п и ш и н И.А., Х л е б н и к о в Д.Г. - Вестн. Львов. ун-та, сер. мех.-мат., вып. I9. Прикладные задачи математики и механики. Львов: Выща школа. Изд-во при Львов. ун-те, 1982, с. 33-38 /на укр. яз./.

Термоупругая задача об изгибе пластины нагретым штампом сведена к последовательному решению плоской задачи термоупругости для пластины и задачи изгиба пластины штампом, с измененной формой поверхности. Точное решение задачи стационарной термоупругости дано в форме тригонометрических рядов. Задача изгиба пластины жестким штампом решается на основе приближенных уравнений, полученных операторным методом с удержанием членов до четвертого порядка включительно относительно толщины пластины. Это позволяет учитывать деформации сдвига и поперечное обжатие пластины. Числовые результаты приведены в виде графиков. Ил. 3. Библиогр.: 6 назв.

УДК 539.681.3.067

Расчет температурных напряжений в осесимметрических телах на основе метода конечных элементов. Ди я к И.И., С а в у л а Я.Г., Ш и н - каренко Г.А. - Вестн. Львов. ун-та, сер. мех.-мат., вып. I9. Прикладные задачи математики и механики. Львов: Выща школа. Изд-во при Львов. ун-те, 1982, с. 38-44 /на укр. яз./.

Рассматривается применение метода конечных элементов для двумерных задач гравитационной термоупругости. Поле температур находится на основании процесса Галеркина, а смещения - из условий минимума обобщенного функционала Лагранжа. Некомпактные функции аппроксимируются линейными полиномами на треугольниках. Табл. 1. Ил. 2.

Библиогр.: 4 назв.

УДК 517.958

Реализация высокоточных схем метода конечных элементов для задач нестационарной теплопроводности. Да як И.И.. - Вестн. Львов. ун-та, сер. мех.-мат., вып. I9. Прикладные задачи математики и механики. Львов: Выща школа. Изд-во при Львов. ун-те, 1982, с. 44-51 /на укр.яз./.

Описан алгоритм решения двухмерных задач нестационарной и стационарной теплопроводностей методом конечных элементов с применением четырехугольных изопараметрических элементов. Температура аппроксимируется полиномами различных порядков. Приводятся результаты численных исследований. Табл. 1. Ил. 1. Библиогр.: 3 назв.

УДК 539.3

Решение осесимметричных задач теории упругости методом конечных элементов. Вовк В.Д., Шинкаренко Г.А. - Вестн. Львов. ун-та, сер. мех.-мат., вып. I9. Прикладные задачи математики и механики. Львов: Выща школа. Изд-во при Львов. ун-те, 1982, с. 51-58 /на укр. яз./.

Рассмотрены вычислительные аспекты решения осесимметричных задач теории упругости методом конечных элементов с применением билинейных, биквадратических и бикубических аппроксимаций на криволинейных четырехугольных элементах. На основании изопараметрического преобразования координат построен эффективный алгоритм построения системы разрешающих уравнений. Отмечаются особенности программной реализации данного алгоритма. Приведены результаты численных исследований. Табл. 1. Ил. 2. Библиогр.: 3 назв.

УДК 518:517.948

Применение методов типа Ньютона-Канторовича в нелинейных задачах механики. Бартиш М.Я., Роман Л.Л. - Вестн. Львов. ун-та, сер. мех.-мат., вып. I9. Прикладные задачи математики і механики. Львов: Выща школа. Изд-во при Львов. ун-те, 1982, с. 58-62 /на укр.яз./.

Предлагаются итерационные методы типа Ньютона-Канторовича для решения нелинейных задач механики. Рассматривается определение в цилиндрической оболочке с зависящими от температуры характеристиками материала, осесимметричных температурных полей, которые в пределах заданных условий нагрева обеспечивают максимально-низкий уровень температурных напряжений при произвольной зависимости от температуры характеристик материала  $\xi_j$ ,  $\alpha_j$ . Ил. 4. Библиогр.: 4 назв.

УДК 539.3:518

Итерационное решение нелинейной задачи о минимальном прогибе пологой оболочки. О г и р к о И.В., Р о м а н Л.Л. - Вестн. Львов. ун-та, сер. мех.-мат., вып. I9. Прикладные задачи математики и механики. Львов: Выща школа. Изд-во при Львов. ун-те, 1982, с. 62-65 /на укр. яз./.

Численно определяется распределение температуры в гибкой пологой оболочке, обеспечивающее минимальный прогиб и требуемые ограничения на напряжения. Применяются итерационные методы верхней релаксации и локальных вариаций. Приведен пример расчета. Ил. 2.

Библиогр.: 2 назв.

УДК 624.07:534.1

Исследование колебаний и устойчивости конического стержня с сосредоточенными массами, находящегося на обобщенном винклеровском основании. Г а й в а с ь Б.И., Ф а р а т В.М. - Вестн. Львов. ун-та, сер. мех.-мат., вып. I9. Прикладные задачи математики и механики. Львов: Выща школа. Изд-во при Львов. ун-те, 1982, с. 65-70 /на укр. яз./.

Построен характеристический ряд краевой задачи, описывающей колебания и устойчивость конического стержня с включениями в массы и параметры упругого основания. Численно исследовано влияние параметров конусности, неконсервативности и точки размещения сосредоточенной массы на критическое значение параметра нагрузки. Ил. 5.

Библиогр.: 2 назв.

УДК 533.6.013.42

Исследование взаимодействия оболочки вращения с окружающей жидкостью при наличии внутреннего источника волн. Б л а ж и е в - с к а я О.В., Т к а ч у к Г.И. - Вестн. Львов. ун-та, сер.мех.-мат. вып. I9. Прикладные задачи математики и механики. Львов: Выща школа. Изд-во при Львов. ун-те, 1982, с. 70-76 /на укр. яз./.

Предложен алгоритм определения прифронтовой асимптотики поля давления в акустической среде, окружающей упругую оболочку, образованную вращением дуги окружности вокруг хорды. Падающая на оболочку слабая ударная волна генерируется источником, находящимся в заполнившей оболочку среде. Получены простые зависимости давления от геометрических и физических параметров системы. Ил. 2. Библиогр.: 4 назв.

Вестник Львовского университета  
Выпуск 19

Серия механико-математическая  
ПРИКЛАДНЫЕ ЗАДАЧИ МАТЕМАТИКИ  
и МЕХАНИКИ

/На украинском языке/

Львов

Издательство при Львовском государственном университете  
издательского объединения "Вища школа"

Редактор В.В.Войтович

Художній редактор В.Д.Цейтін

Технічний редактор С.В.Копотюк

Коректор Т.Т.Козак

Інформ. бланк № 7459

Підп. до друку 15.03.82. БГ 02486 . Формат 60x84 I/16.

Папір друк. № 3. Офс. друк. Умовн. друк. арк. 4,88

Обл.-вид. арк. 4,39 Тираж 600 прим. Вид. № 968.

Зам. 3270 . Ціна 55 . Замовне.

Видавництво при Львівському державному університеті  
видавничого об'єднання "Вища школа", 290000, Львів,  
вул. Університетська, I.

Львівська обласна книжкова друкарня, 290000, Львів,  
вул. Стефаника, II.

**55 коп.**



**Вісн. Львів. ун-ту. Сер. мех.-мат., 1982, вип. 19, 1—84.**